

FIGURES

9 février 2010

Chapitre 1

Tolérances et états de surface

Méthode d'usinage		Profondeur de rugosité R_t (μm)																				
Groupe	Désignation	0,1	0,18	0,25	0,4	0,6	1	1,8	2,5	4	6,3	10	18	25	40	63	100	180	250	400	630	1000
Fonderie	Fonderie au sable																					
	Fonderie en coquille																					
	Fonderie fine																					
Forgeage	Forge libre																					
	Estampage																					
	Forge de précision																					
Laminage	Laminage à chaud																					
	Laminage à froid																					
Emboutissage	Compression																					
	Matriçage																					
Galetage	Galetage																					
	Roulage																					
Rabotage	Dégrossissage																					
	Ébauche																					
	Finition																					
Tournage (extérieur et intérieur)	Tournage dégrossissage																					
	Tournage d'ébauche																					
	Tournage de finition																					
	Tournage de précision avec carbure																					
	Tournage de haute précision avec diamant																					
Chambrage	Chambrage																					
Alésage par alésoir	Alésage normal																					
	Alésage de précision																					
	Alésage de haute précision																					
Fraisage	Fraisage d'ébauche																					
	Fraisage de finition																					
	Fraisage de précision																					
	Fraisage de haute précision																					
Brochage	Brochage normal																					
	Brochage de précision																					
Rectification	Rectification d'ébauche																					
	Rectification normale																					
	Rectification de précision																					
	Rectification de haute précision																					
Honing	Honing																					
	Honing de précision																					
	Honing de haute précision																					
Rodage	Rodage d'ébauche																					
	Rodage de finition																					
	Rodage de haute précision																					
	Rodage de très haute précision																					

d'après document : CETIM

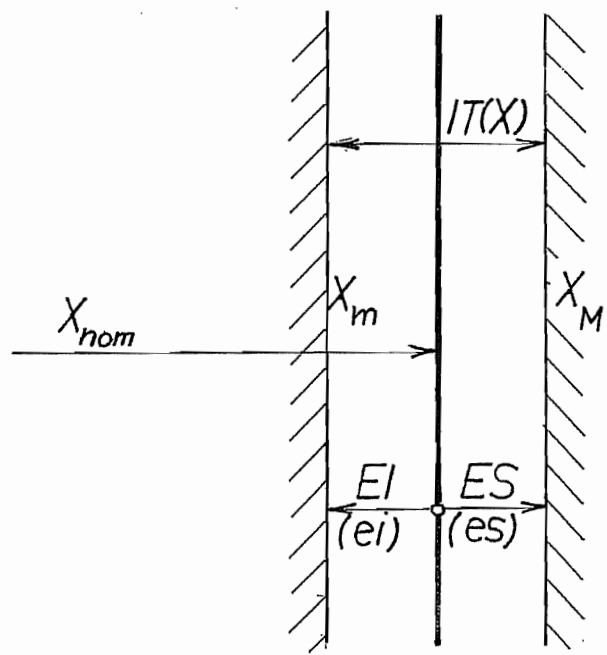


FIG. 2

ÉCARTS DES AJUSTEMENTS LES PLUS COURAMMENT UTILISÉS (NF R 91-011)																		1			
Alésages		H6			H7			H8						H9			H11				
Arbres		h5	js5	k5	g6	h6	m6	p6	e8	f7	h7	s7	u7	x7	e9	h8	d11				
Écart en micromètres ($1 \mu\text{m} = 0,001 \text{ mm}$)	≤ 3	+ 6 - 0	+ 2 - 4	+ 4 - 2	+ 10 0	- 2 - 8	+ 8 - 6	+ 12 + 2	+ 14 0	- 14 - 28	- 6 - 16	0 + 10	+ 24 + 14	+ 28 + 18	+ 30 + 20	+ 25 0	- 14 - 39	0 - 14	+ 60 0	- 20 - 80	
	$> 3 \text{ à } 6$	+ 8 0	0 - 5	- 2,5 + 1	+ 6 + 12	- 4 0	0 - 12	+ 20 + 4	+ 18 0	- 20 38	- 10 22	0 + 19	+ 31 + 23	+ 35 + 28	+ 40 + 34	+ 30 0	- 20 - 50	0 - 18	+ 75 0	- 30 - 105	
	$> 6 \text{ à } 10$	+ 9 0	0 - 6	+ 3 - 3	+ 7 + 15	- 5 0	+ 14 - 14	+ 24 + 15	+ 22 0	- 25 47	- 13 28	0 - 15	+ 38 + 15	+ 43 + 28	+ 49 + 34	+ 36 0	- 25 - 61	0 - 22	+ 90 0	- 40 - 130	
	$> 10 \text{ à } 14$	+ 11 0	0 - 8	+ 4 - 4	+ 9 + 18	- 6 0	+ 18 - 17	+ 29 + 7	+ 27 0	- 32 59	- 16 34	0 - 18	+ 46 + 28	+ 51 + 33	+ 58 + 40	+ 43 0	- 32 - 75	0 - 27	+ 110 0	- 50 - 160	
	$> 14 \text{ à } 18$	+ 11 0	0 - 8	+ 4 - 4	+ 9 + 1	+ 18 0	- 6 - 17	+ 29 + 11	+ 27 0	- 32 59	- 16 34	0 - 18	+ 46 + 28	+ 51 + 33	+ 58 + 40	+ 43 0	- 32 - 75	0 - 27	+ 110 0	- 50 - 160	
	$> 18 \text{ à } 24$	+ 13 0	0 - 9	+ 4,5 - 4,5	+ 11 + 2	+ 21 0	- 7 - 20	+ 21 + 8	+ 33 0	- 40 73	- 20 41	0 - 21	+ 56 + 35	+ 62 + 41	+ 75 + 54	+ 52 0	- 40 - 92	0 - 33	+ 130 0	- 65 - 195	
	$> 24 \text{ à } 30$	+ 13 0	0 - 9	+ 4,5 - 4,5	+ 11 + 2	+ 21 0	- 7 - 20	+ 21 + 8	+ 33 0	- 40 73	- 20 41	0 - 21	+ 56 + 35	+ 62 + 48	+ 75 + 64	+ 52 0	- 40 - 92	0 - 33	+ 130 0	- 65 - 195	
	$> 30 \text{ à } 40$	+ 16 0	0 - 11	+ 5,5 - 5,5	+ 13 + 2	+ 25 0	- 9 - 25	+ 25 + 9	+ 39 0	- 39 89	- 25 50	0 - 25	+ 68 + 43	+ 85 + 60	+ 105 + 80	+ 60 0	- 50 - 112	0 - 39	+ 160 0	- 80 - 240	
	$> 40 \text{ à } 50$	+ 16 0	0 - 11	+ 5,5 - 5,5	+ 13 + 2	+ 25 0	- 9 - 25	+ 25 + 9	+ 39 0	- 50 89	- 25 50	0 - 25	+ 68 + 43	+ 95 + 70	+ 122 + 97	+ 62 0	- 50 - 112	0 - 39	+ 160 0	- 80 - 240	
	$> 50 \text{ à } 65$	+ 19 0	0 - 13	+ 6,5 - 6,5	+ 15 + 2	+ 30 0	- 10 - 29	+ 30 + 19	+ 51 + 11	+ 46 0	- 60 106	- 30 60	0 - 30	+ 83 + 53	+ 117 + 87	+ 152 + 122	+ 74 0	- 60 - 134	0 - 46	+ 190 0	- 100 - 290
	$> 65 \text{ à } 80$	+ 19 0	0 - 13	+ 6,5 - 6,5	+ 15 + 2	+ 30 0	- 10 - 29	+ 30 + 19	+ 51 + 11	+ 46 0	- 60 106	- 30 60	0 - 30	+ 89 + 59	+ 132 + 102	+ 176 + 146	+ 74 0	- 60 - 134	0 - 46	+ 190 0	- 100 - 290
	$> 80 \text{ à } 100$	+ 22 0	0 - 15	+ 7,5 - 7,5	+ 18 + 3	+ 35 0	- 12 - 34	+ 35 + 22	+ 59 + 37	+ 54 0	- 72 126	- 36 71	0 - 35	+ 106 + 71	+ 159 + 124	+ 213 + 178	+ 87 0	- 72 - 159	0 - 54	+ 220 0	- 120 - 340
	$> 100 \text{ à } 120$	+ 22 0	0 - 15	+ 7,5 - 7,5	+ 18 + 3	+ 35 0	- 12 - 34	+ 35 + 22	+ 59 + 37	+ 54 0	- 72 126	- 36 71	0 - 35	+ 114 + 35	+ 179 + 79	+ 245 + 144	+ 87 0	- 72 - 159	0 - 54	+ 220 0	- 120 - 340
	$> 120 \text{ à } 140$	+ 25 0	0 - 18	+ 9 - 9	+ 21 + 3	+ 40 0	- 14 - 39	+ 40 - 25	+ 68 + 15	+ 63 + 43	- 85 - 40	- 43 - 40	+ 132 + 92	+ 210 + 170	+ 288 + 248	+ 100 0	- 85 - 185	0 - 63	+ 250 0	- 145 - 395	
	$> 140 \text{ à } 160$	+ 25 0	0 - 18	+ 9 - 9	+ 21 + 3	+ 40 0	- 14 - 39	+ 40 - 25	+ 68 + 15	+ 63 + 43	- 85 - 40	- 43 - 40	+ 140 + 108	+ 230 + 108	+ 320 + 240	+ 100 0	- 85 - 185	0 - 63	+ 250 0	- 145 - 395	
	$> 160 \text{ à } 180$	+ 25 0	0 - 18	+ 9 - 9	+ 21 + 3	+ 40 0	- 14 - 39	+ 40 - 25	+ 68 + 15	+ 63 + 43	- 85 - 40	- 43 - 40	+ 148 + 108	+ 250 + 108	+ 350 + 210	+ 100 0	- 85 - 185	0 - 63	+ 250 0	- 145 - 395	
	$> 180 \text{ à } 200$	+ 29 0	0 - 20	+ 10 - 10	+ 24 + 4	+ 46 0	- 15 - 44	+ 46 - 29	+ 79 + 17	+ 72 + 50	- 100 - 96	- 50 - 46	+ 168 + 122	+ 282 + 236	+ 396 + 350	+ 115 0	- 100 - 215	0 - 72	0 - 460	+ 290 0	- 170 - 460
	$> 200 \text{ à } 225$	+ 29 0	0 - 20	+ 10 - 10	+ 24 + 4	+ 46 0	- 15 - 44	+ 46 - 29	+ 79 + 17	+ 72 + 50	- 100 - 96	- 50 - 46	+ 176 + 130	+ 304 + 258	+ 431 + 385	+ 115 0	- 100 - 215	0 - 72	0 - 460	+ 290 0	- 170 - 460
	$> 225 \text{ à } 250$	+ 29 0	0 - 20	+ 10 - 10	+ 24 + 4	+ 46 0	- 15 - 44	+ 46 - 29	+ 79 + 17	+ 72 + 50	- 100 - 96	- 50 - 46	+ 186 + 140	+ 330 + 284	+ 471 + 425	+ 115 0	- 100 - 215	0 - 72	0 - 460	+ 290 0	- 170 - 460
	$> 250 \text{ à } 280$	+ 32 0	0 - 23	+ 11,5 - 11,5	+ 27 + 4	+ 52 0	- 17 - 49	+ 52 - 32	+ 88 + 20	+ 81 + 56	- 110 - 191	- 56 - 108	+ 210 + 158	+ 367 + 315	+ 527 + 475	+ 130 0	- 110 - 240	0 - 81	0 - 510	+ 320 0	- 190 - 510
	$> 280 \text{ à } 315$	+ 32 0	0 - 23	+ 11,5 - 11,5	+ 27 + 4	+ 52 0	- 17 - 49	+ 52 - 32	+ 88 + 20	+ 81 + 56	- 110 - 191	- 56 - 108	+ 222 + 170	+ 402 + 350	+ 577 + 525	+ 130 0	- 110 - 240	0 - 81	0 - 510	+ 320 0	- 190 - 510
	$> 315 \text{ à } 355$	+ 36 0	0 - 25	+ 12,5 - 12,5	+ 29 + 4	+ 57 0	- 18 - 54	+ 57 - 36	+ 98 + 21	+ 89 + 62	- 125 - 214	- 62 - 119	+ 247 + 190	+ 447 + 390	+ 647 + 590	+ 140 0	- 125 - 265	0 - 89	0 - 570	+ 360 0	- 210 - 570
	$> 355 \text{ à } 400$	+ 36 0	0 - 25	+ 12,5 - 12,5	+ 29 + 4	+ 57 0	- 18 - 54	+ 57 - 36	+ 98 + 21	+ 89 + 62	- 125 - 214	- 62 - 119	+ 265 + 208	+ 492 + 435	+ 717 + 660	+ 140 0	- 125 - 265	0 - 89	0 - 570	+ 360 0	- 210 - 570
	$> 400 \text{ à } 450$	+ 40 0	0 - 27	+ 13,5 - 13,5	+ 32 + 5	+ 63 0	- 20 - 60	+ 63 - 40	+ 108 + 23	+ 97 + 68	- 135 - 232	- 68 - 131	+ 295 + 232	+ 553 + 490	+ 803 + 740	+ 155 0	- 135 - 290	0 - 97	0 - 630	+ 400 0	- 230 - 630
	$> 450 \text{ à } 500$	+ 40 0	0 - 27	+ 13,5 - 13,5	+ 32 + 5	+ 63 0	- 20 - 60	+ 63 - 40	+ 108 + 23	+ 97 + 68	- 135 - 232	- 68 - 131	+ 315 + 252	+ 603 + 540	+ 883 + 820	+ 155 0	- 135 - 290	0 - 97	0 - 630	+ 400 0	- 230 - 630

1. COTES AVEC INDICATION DE TOLÉRANCE.

Le dessin comporte des cotes avec indication de tolérance : se reporter au tableau figure 1. Le tableau donne les écarts des ajustements les plus couramment utilisés.

2. COTES SANS INDICATION DE TOLÉRANCE.

La tolérance est reportée dans un nota général suivant les directives ci-après de NF E 02-350 :

1^{er} cas : tolérance JS/js
exemple : JS14/js14

2^e cas : tolérance extraite des tableaux de la norme (fig. 2).

DIMENSIONS LINÉAIRES (mm)							
Dimensions nominales		0,5 à 3	de 3 à 6	de 6 à 30	de 30 à 120	de 120 à 315	de 315 à 1000
Écarts (mm)	Série fine	$\pm 0,05$	$\pm 0,05$	$\pm 0,1$	$\pm 0,15$	$\pm 0,2$	-
	Série moy.	$\pm 0,1$	$\pm 0,1$	$\pm 0,2$	$\pm 0,3$	$\pm 0,5$	$\pm 0,8$
	Série grossière	-	$\pm 0,2$	$\pm 0,5$	$\pm 0,8$	$\pm 1,2$	± 2
DIMENSIONS ANGULAIRES							
Longueur du plus petit côté de l'angle (mm)				Jusqu'à 10	de 10 à 50	de 50 à 120	de 120 à 400
Écarts	en degrés et minutes			$\pm 10'$	$\pm 30'$	$\pm 20'$	$\pm 10'$
	en pourcentage			$\pm 1,8$	$\pm 0,9$	$\pm 0,6$	$\pm 0,3$

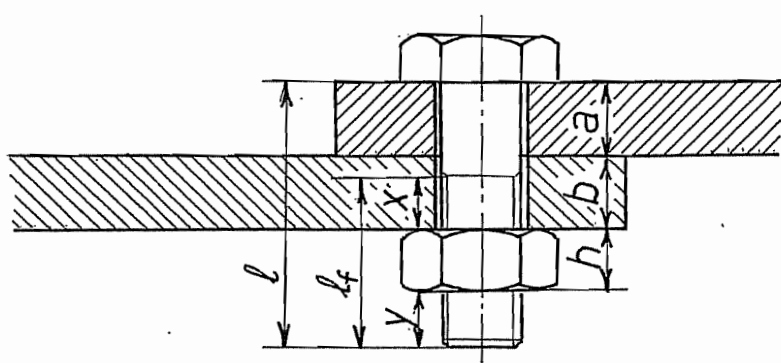


FIG. 4

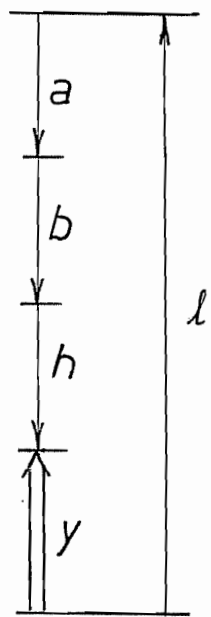


FIG. 5

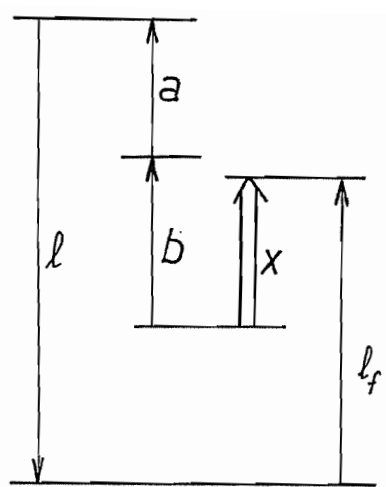


FIG. 6

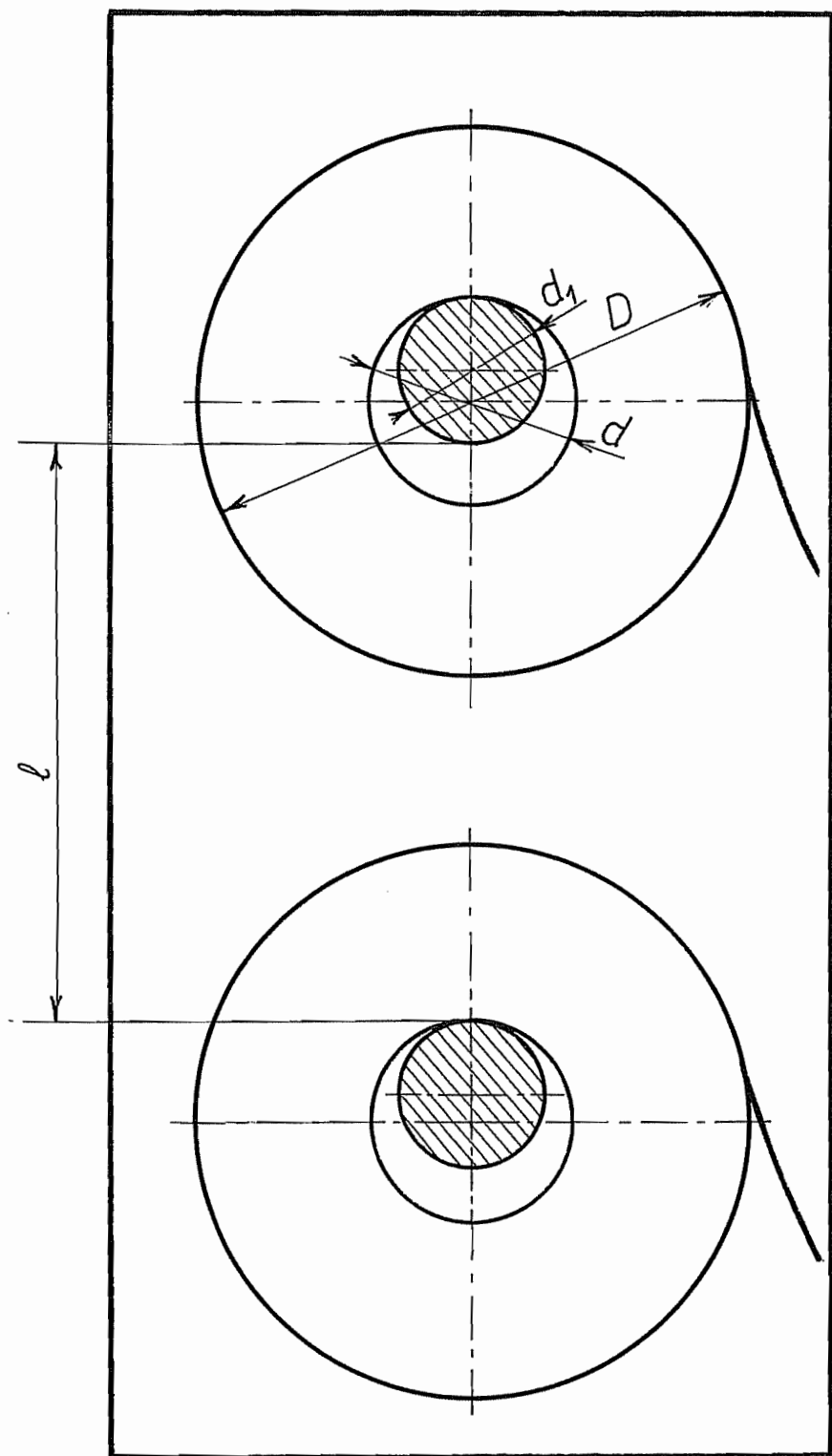


FIG. 7

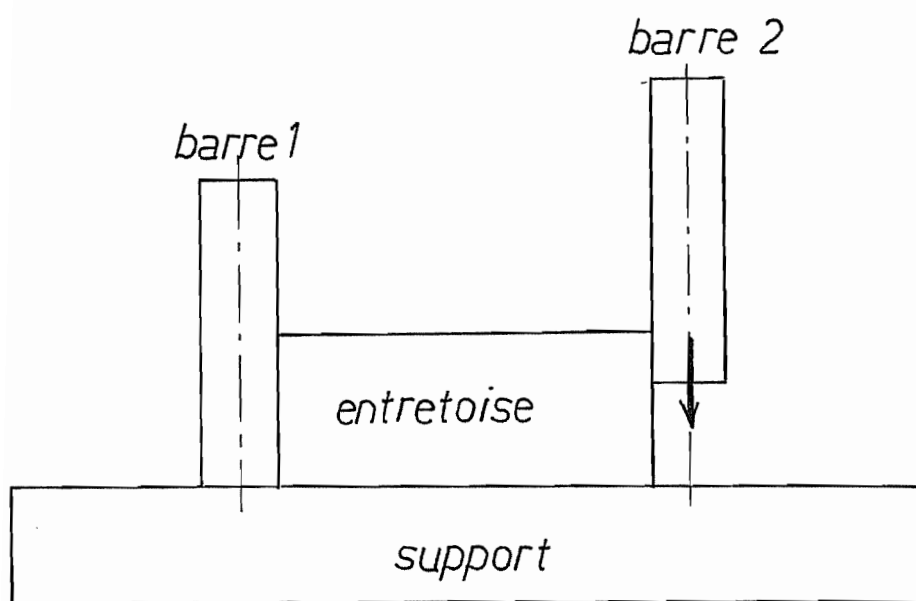


FIG. 8

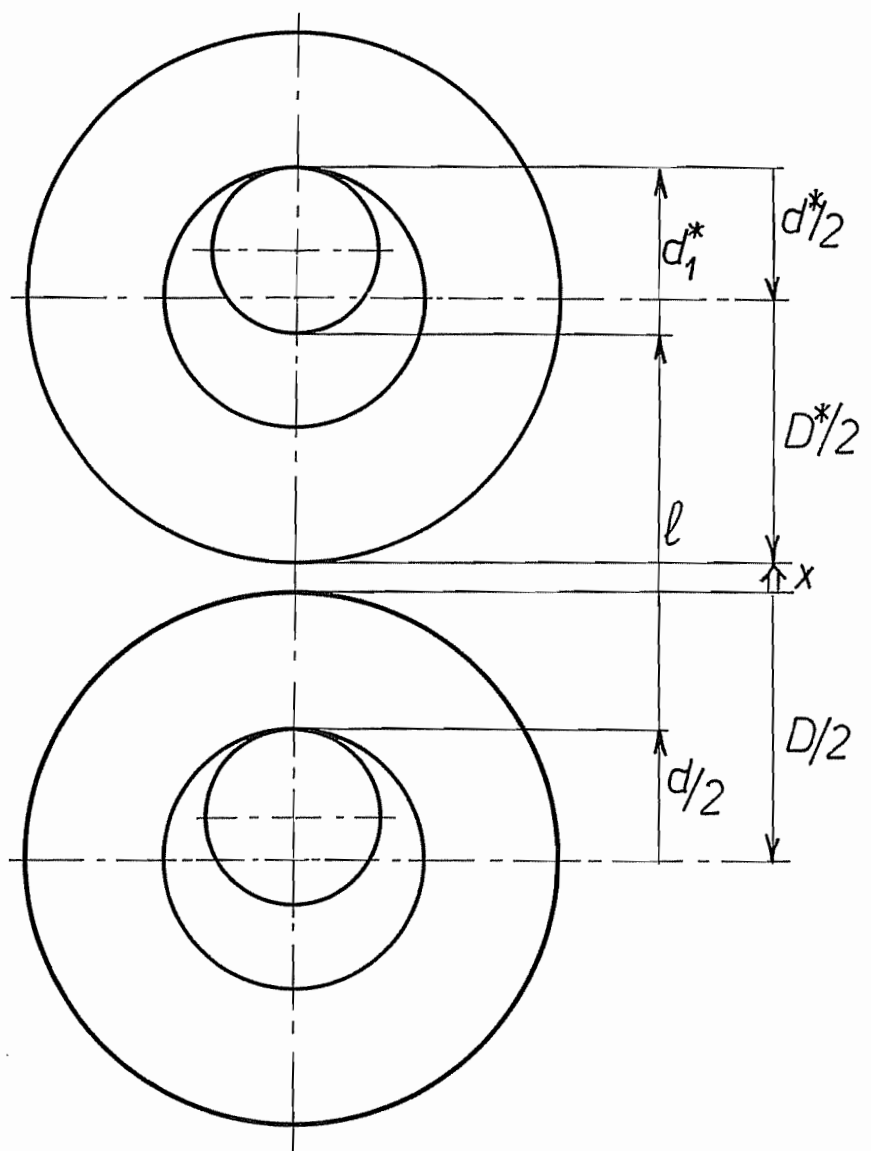


FIG. 9

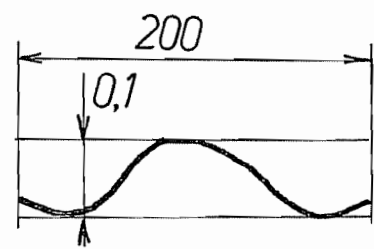
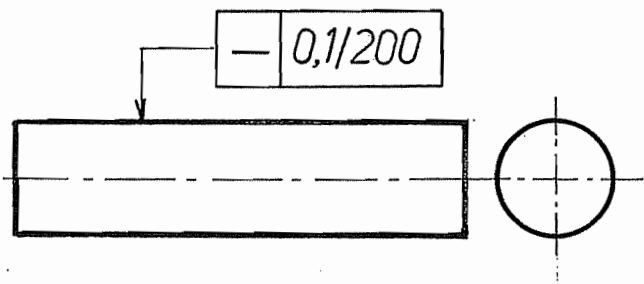


FIG. 10

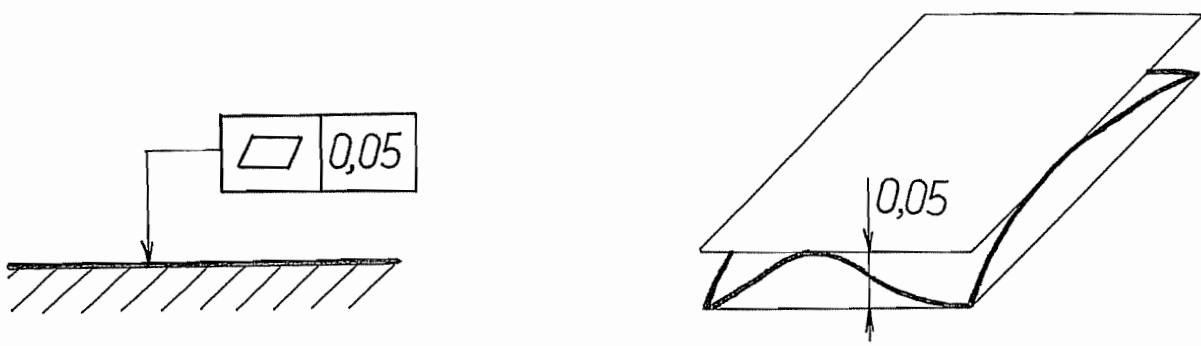


FIG. 11

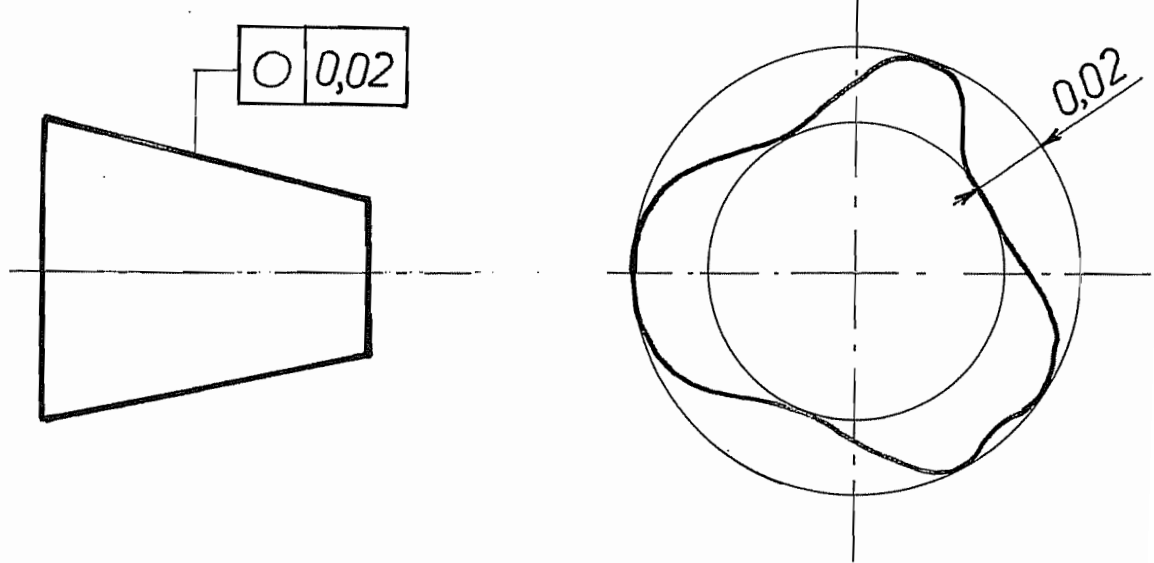


FIG. 12

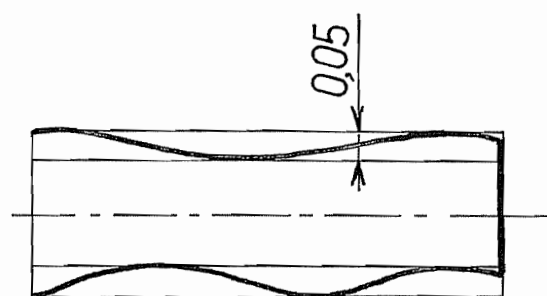
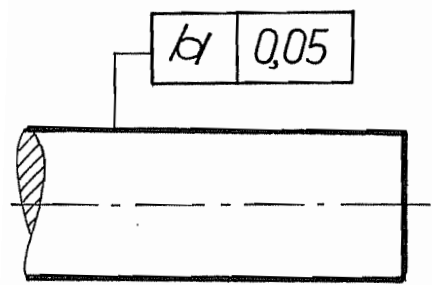


FIG. 13

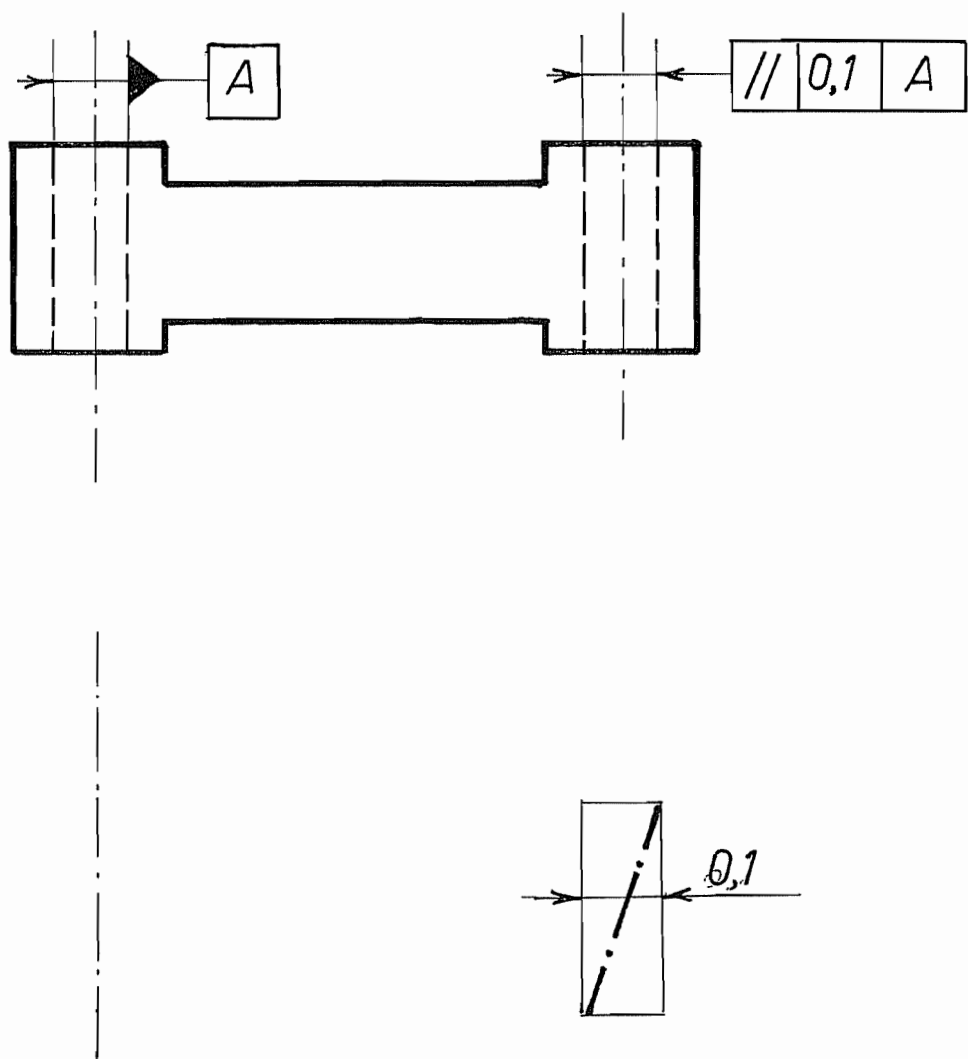


FIG. 14

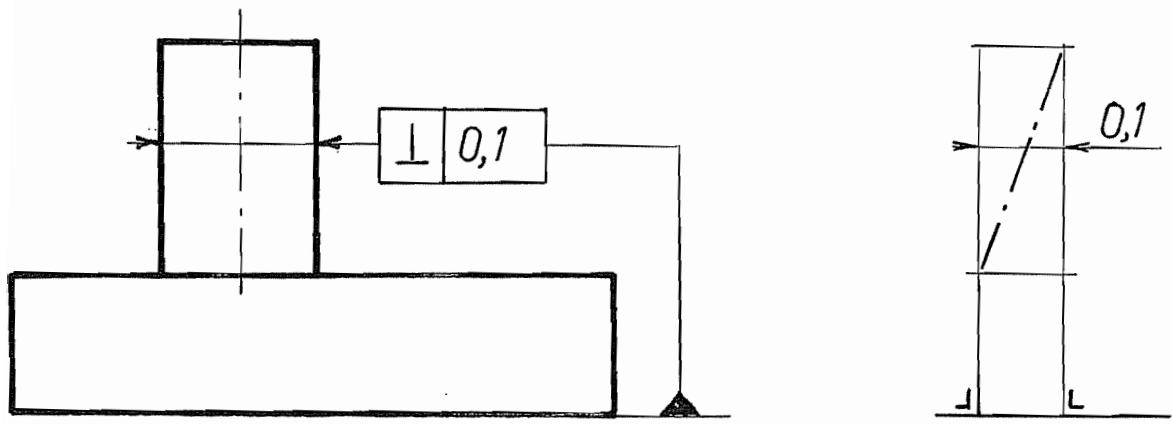


FIG. 15

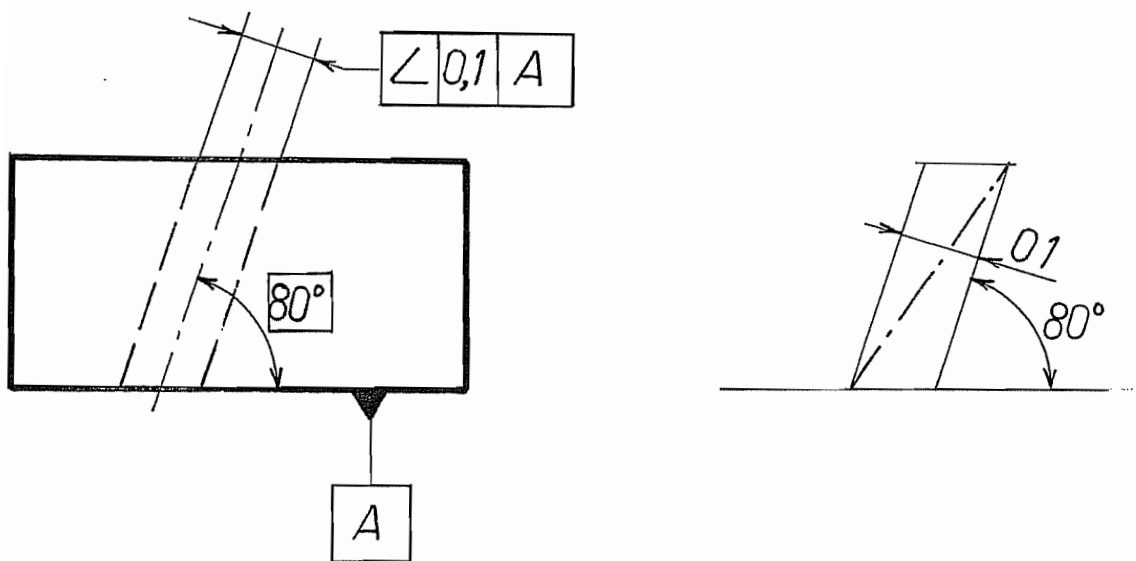


FIG. 16

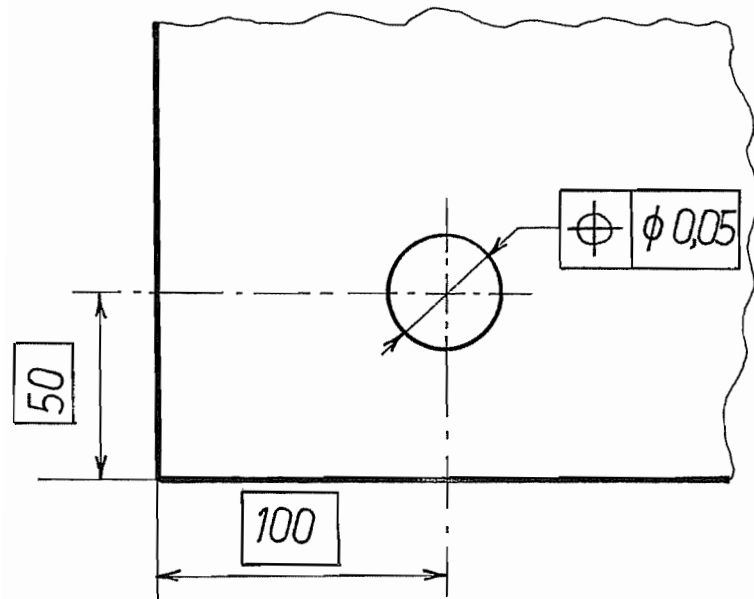


FIG. 17

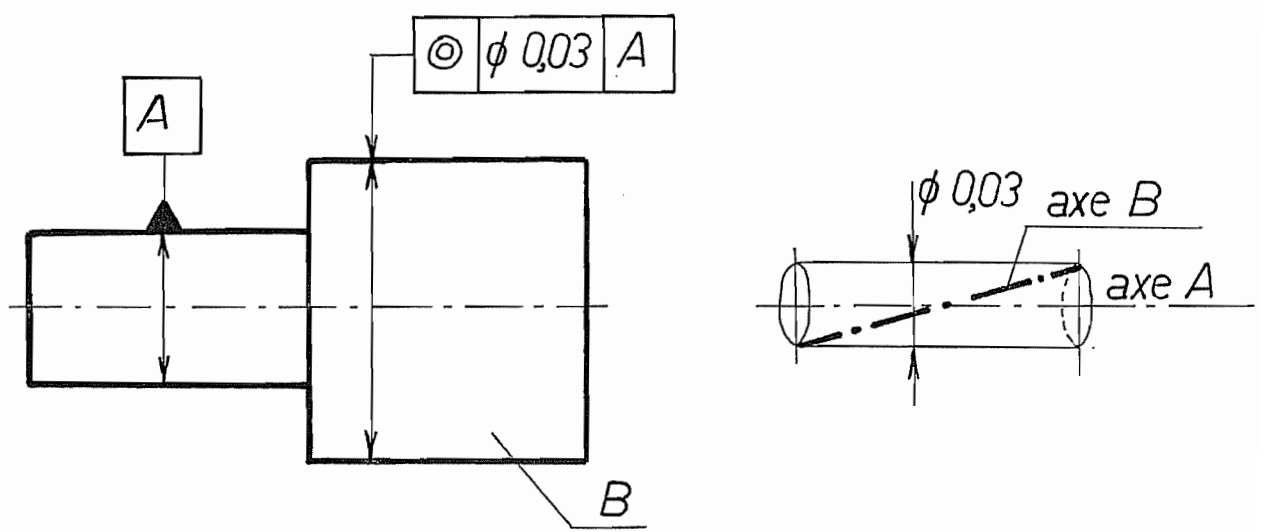


FIG. 18

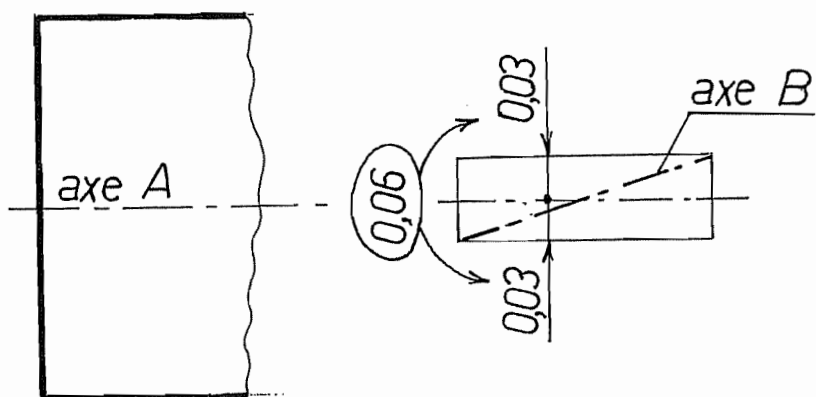
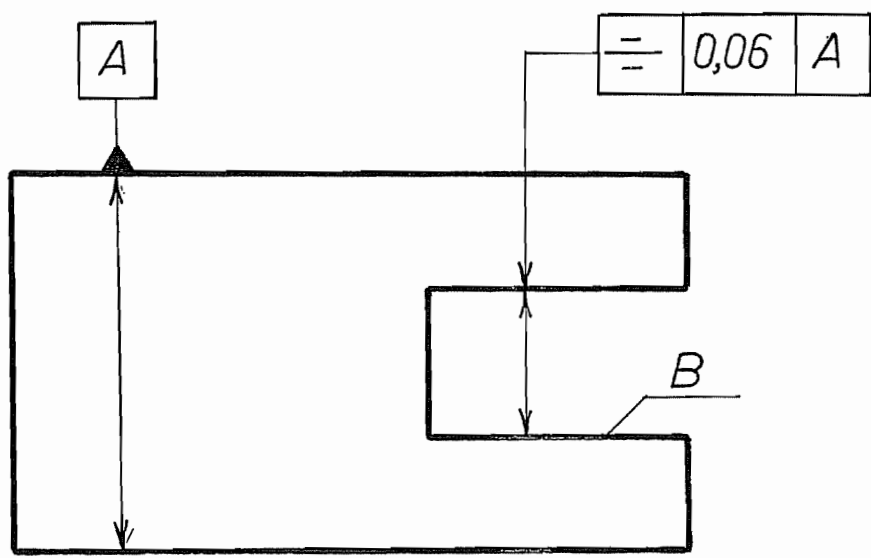


FIG. 19

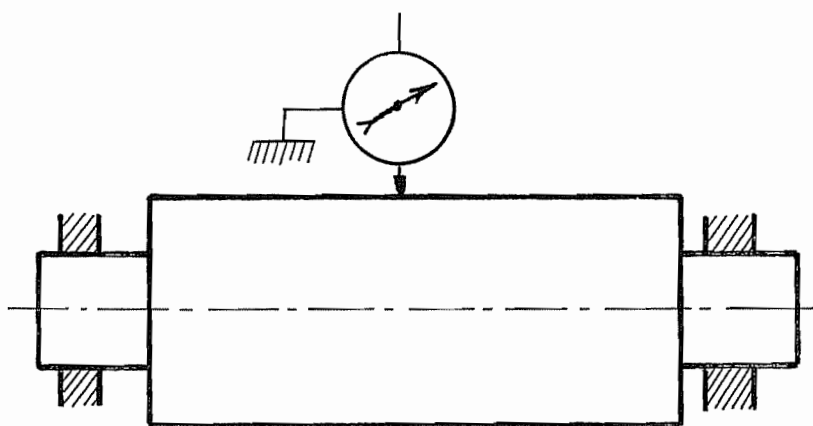
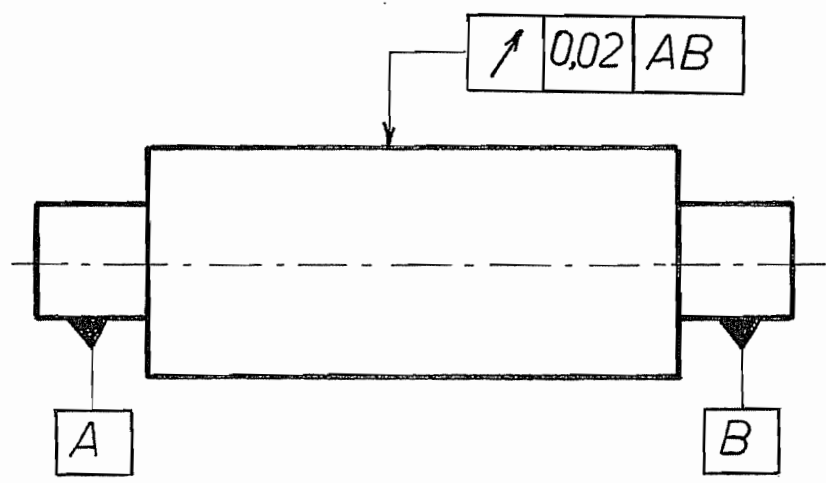


FIG. 20

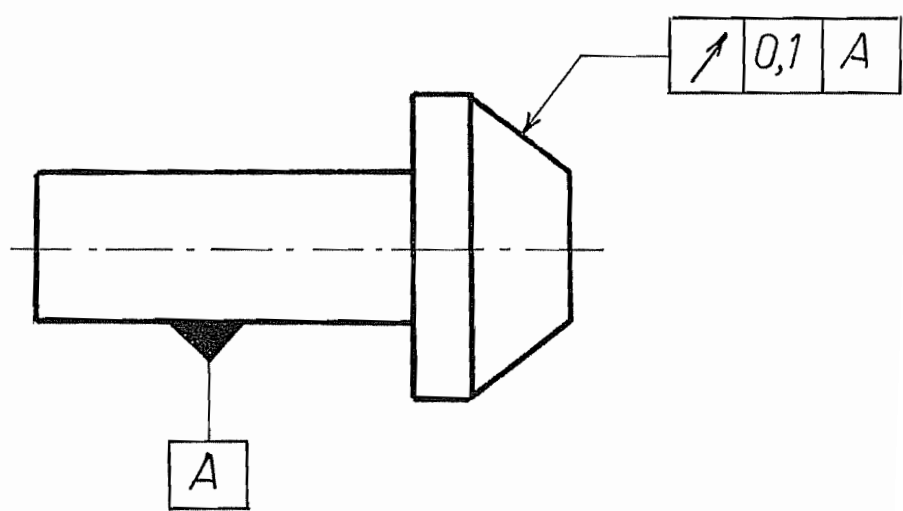


FIG. 21

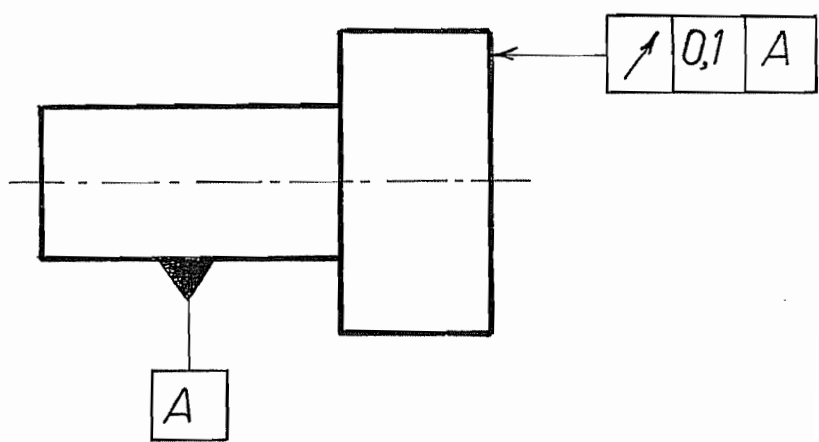


FIG. 22

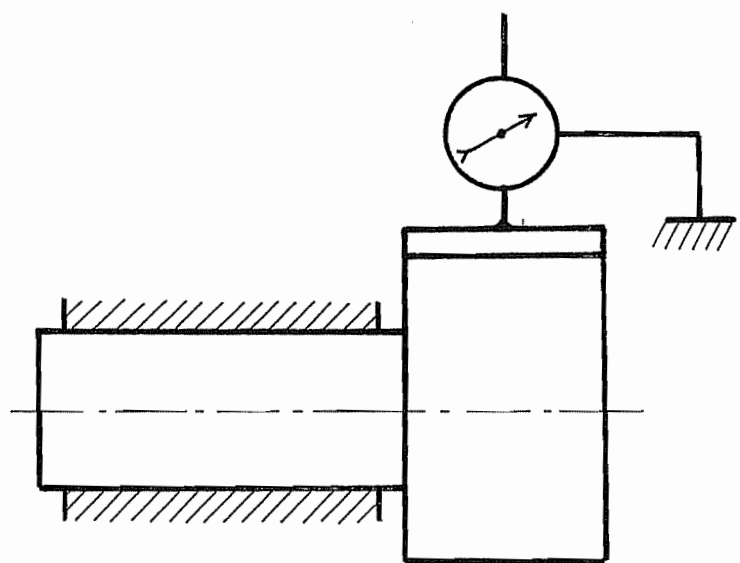
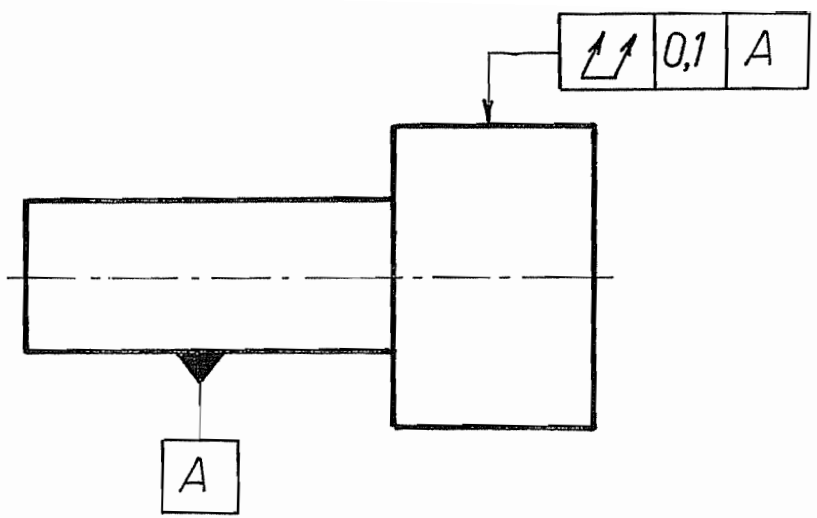


FIG. 23

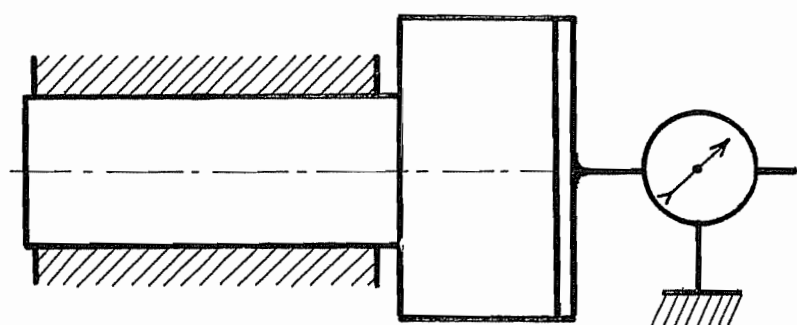
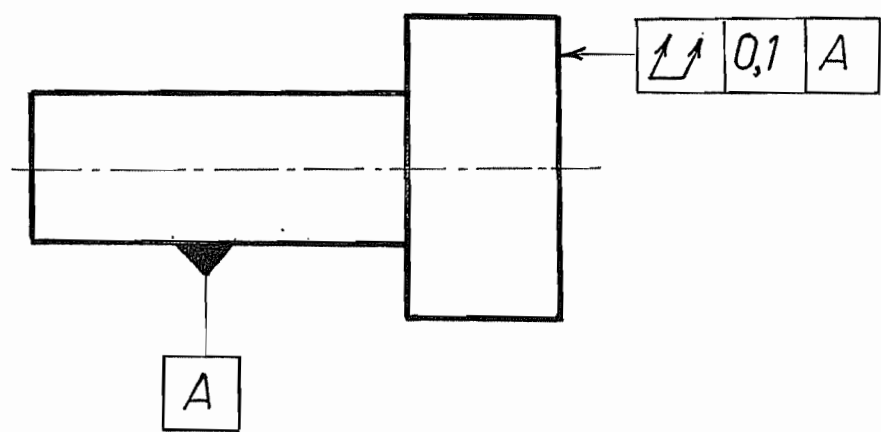


FIG. 24

Chapitre 2

Cotation de fabrication

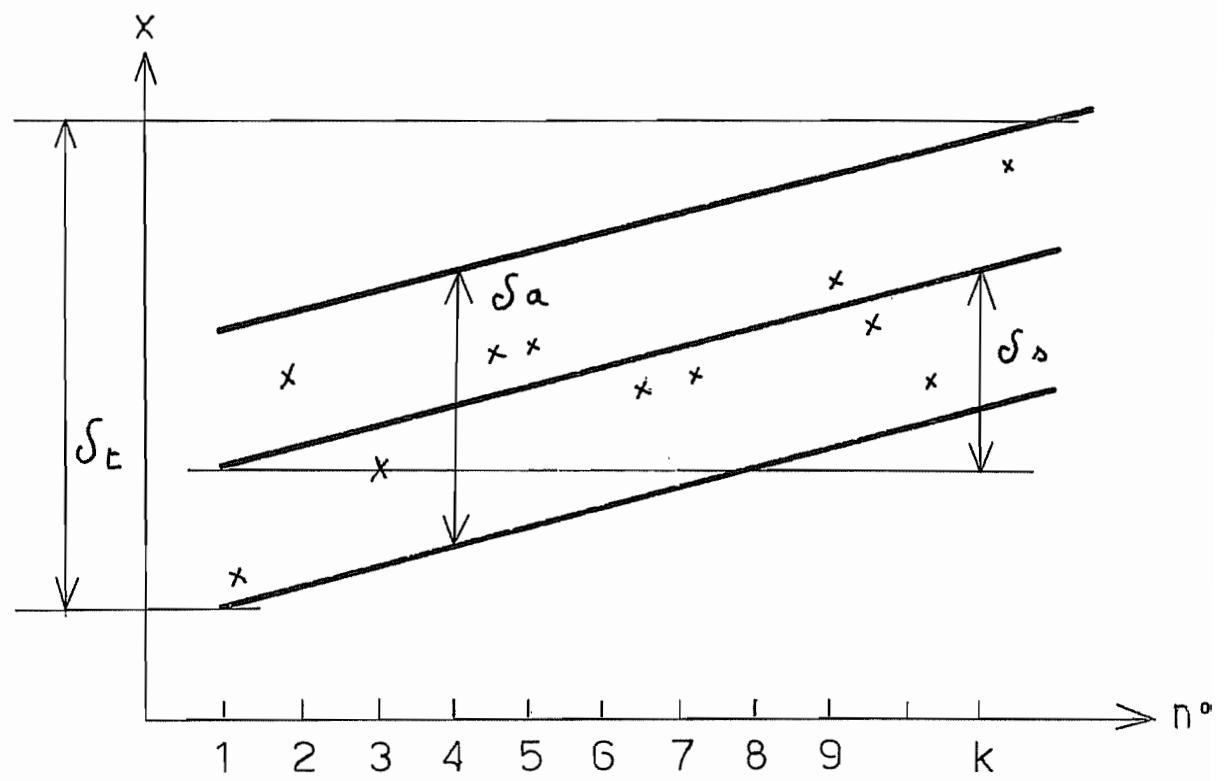


Fig. 1

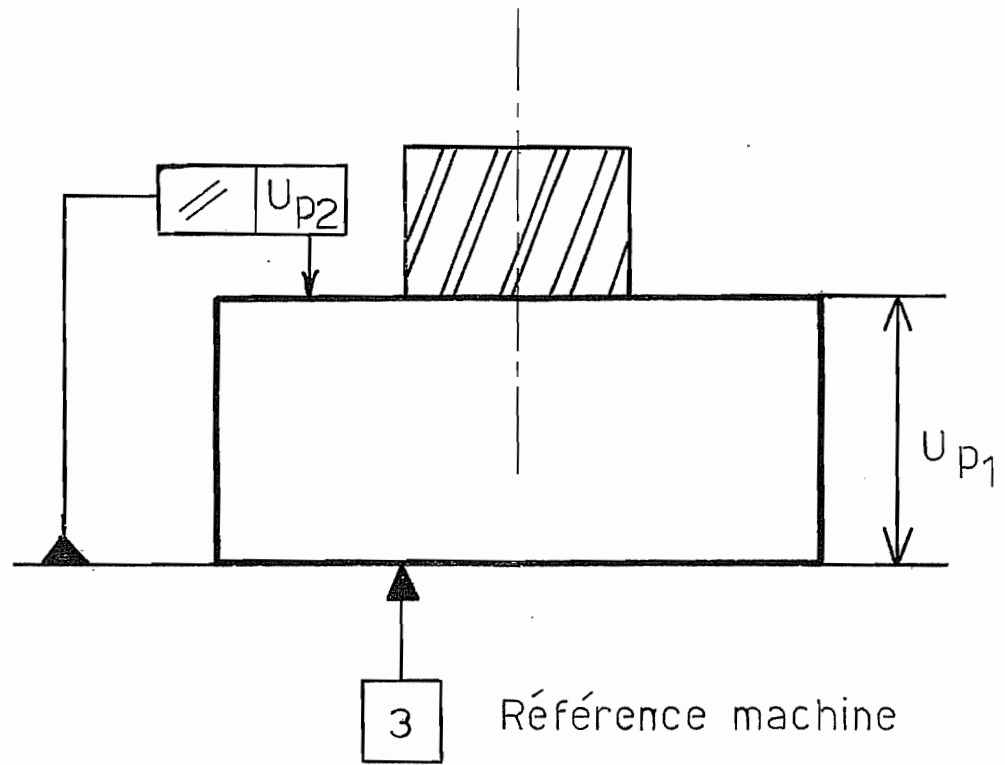


Fig. 2

Position 2 de l'outil

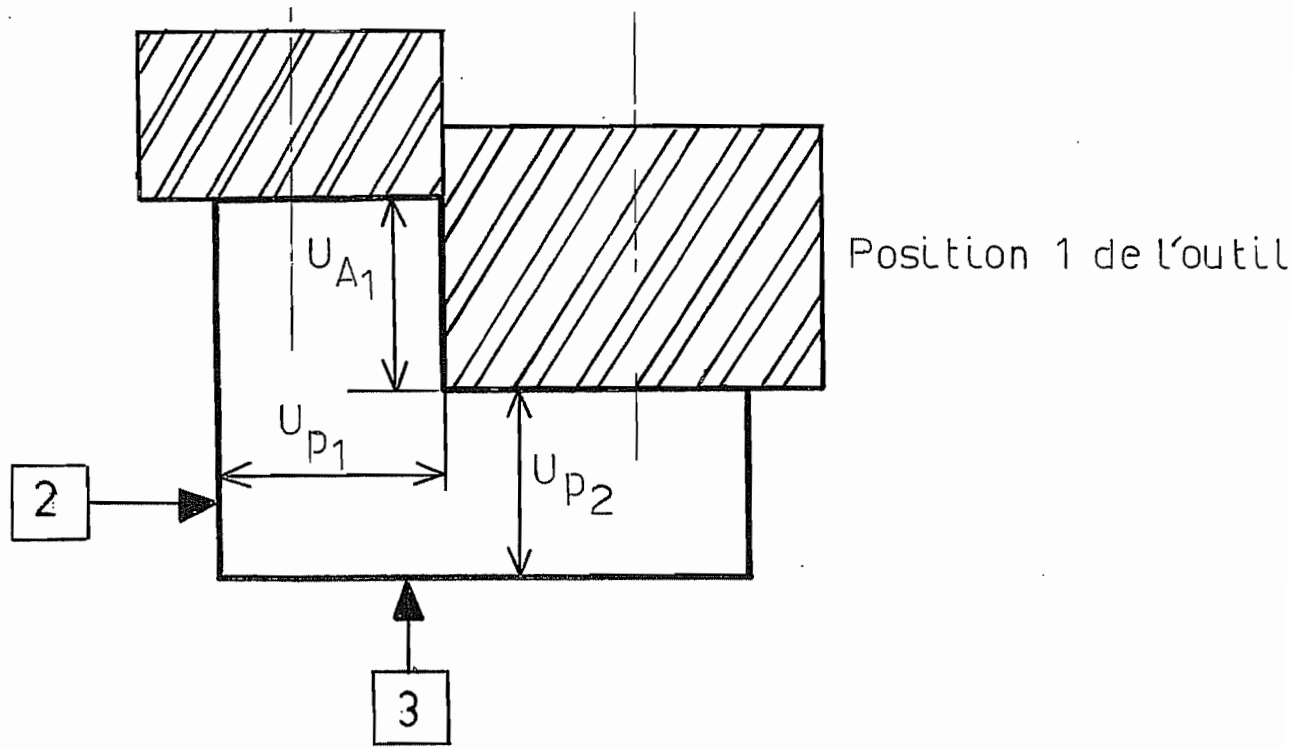


Fig. 3

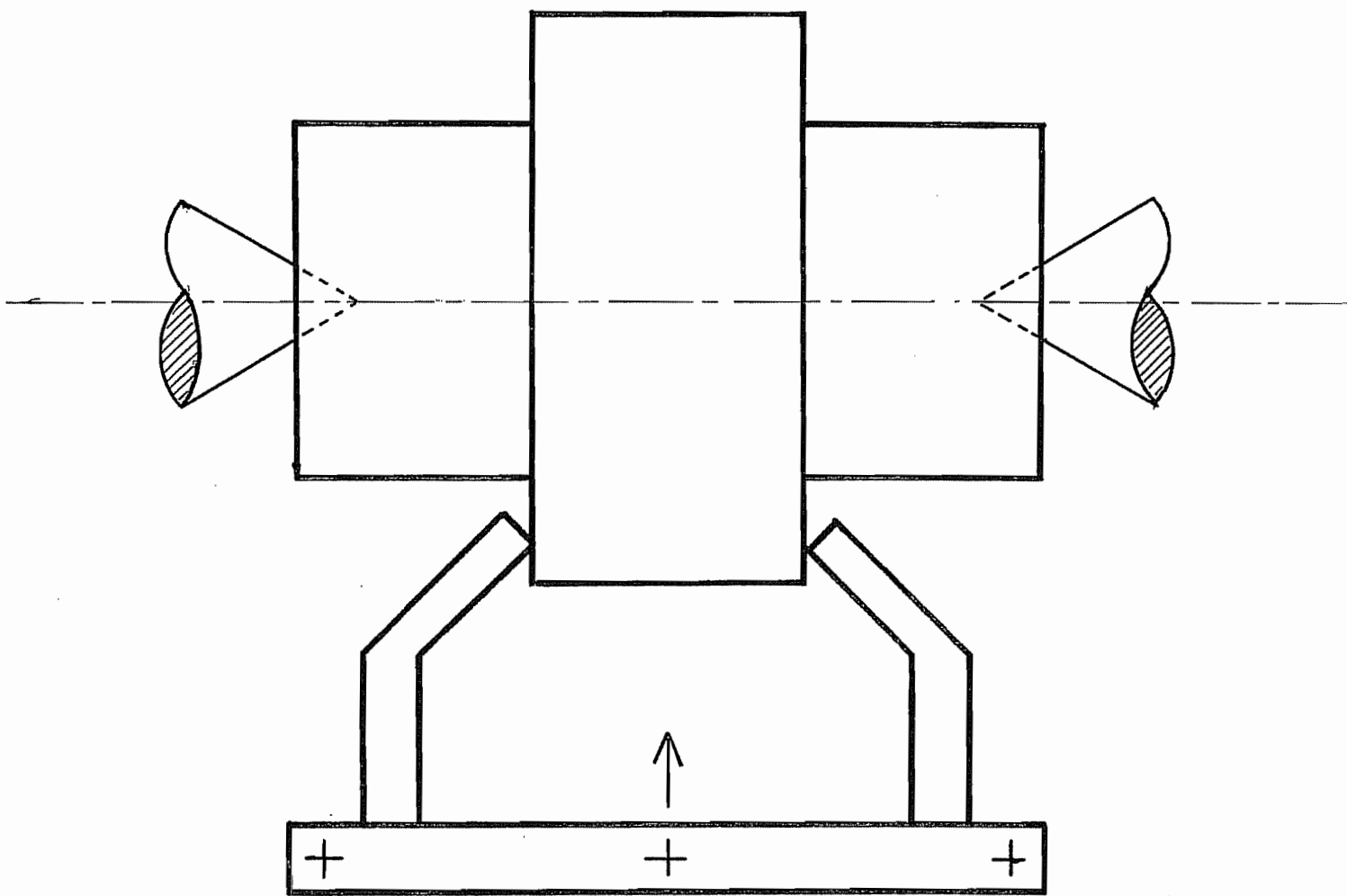


Fig. 4

PERÇAGE AVEC MASQUE

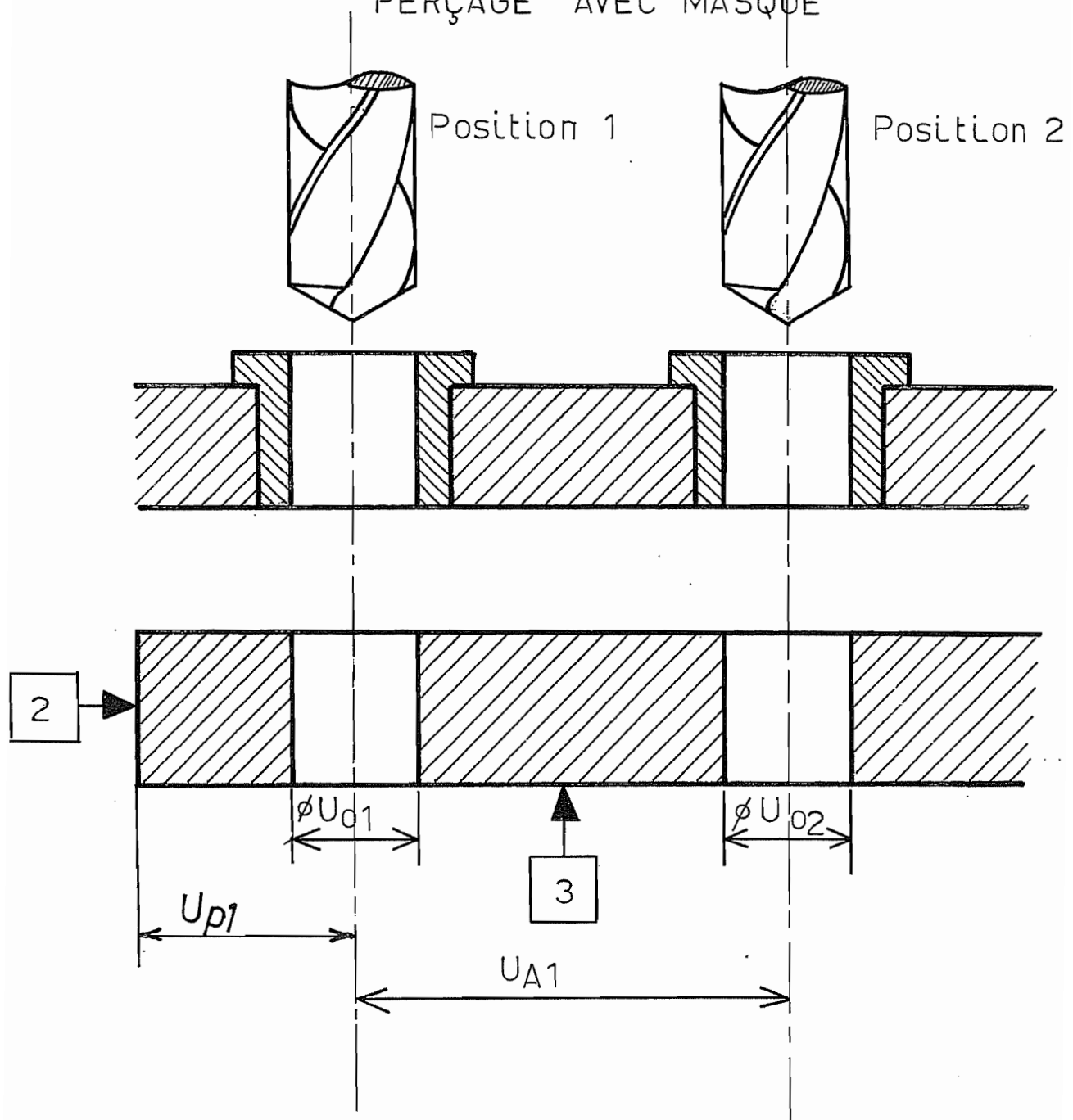


Fig. 5

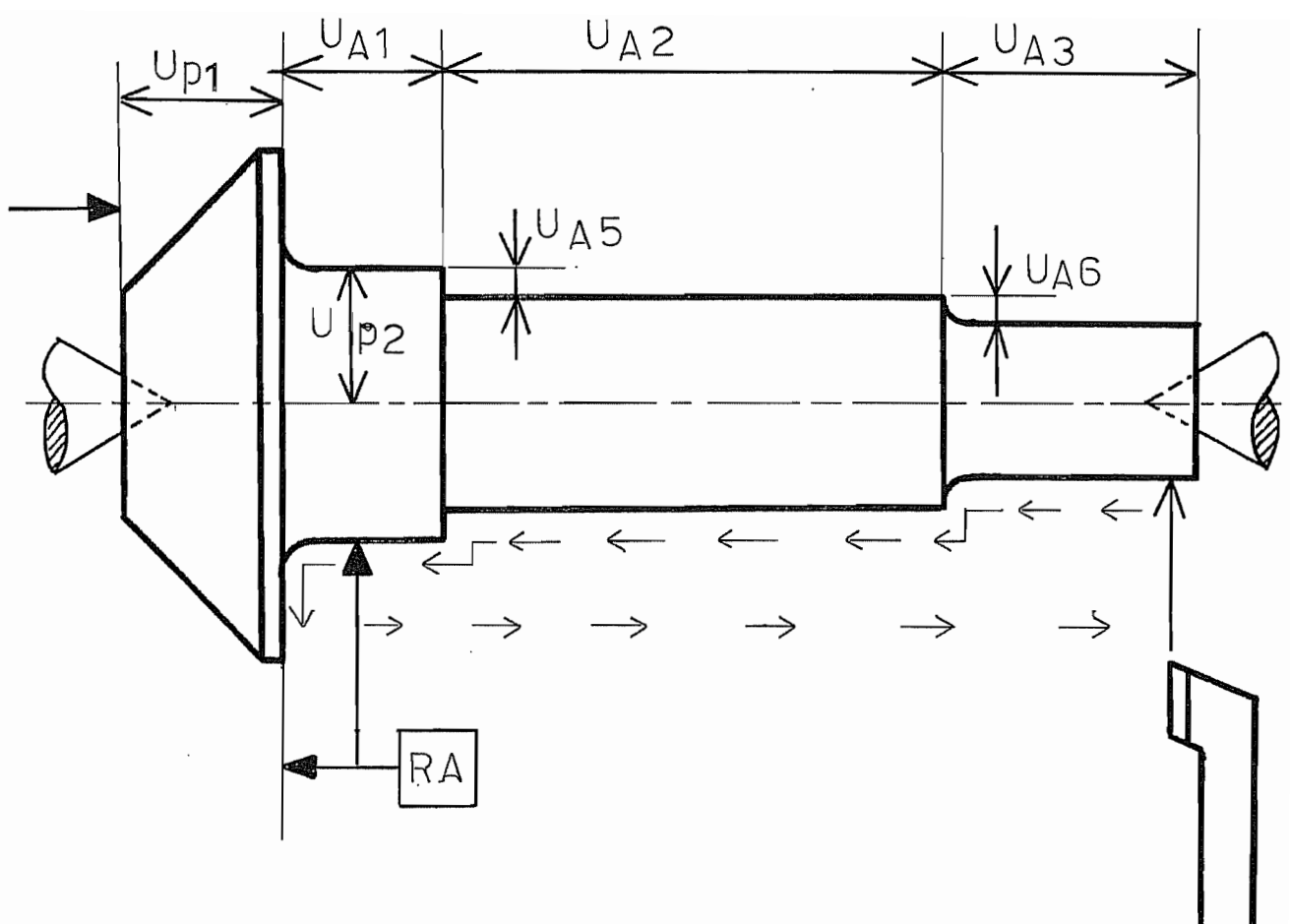


Fig. 6

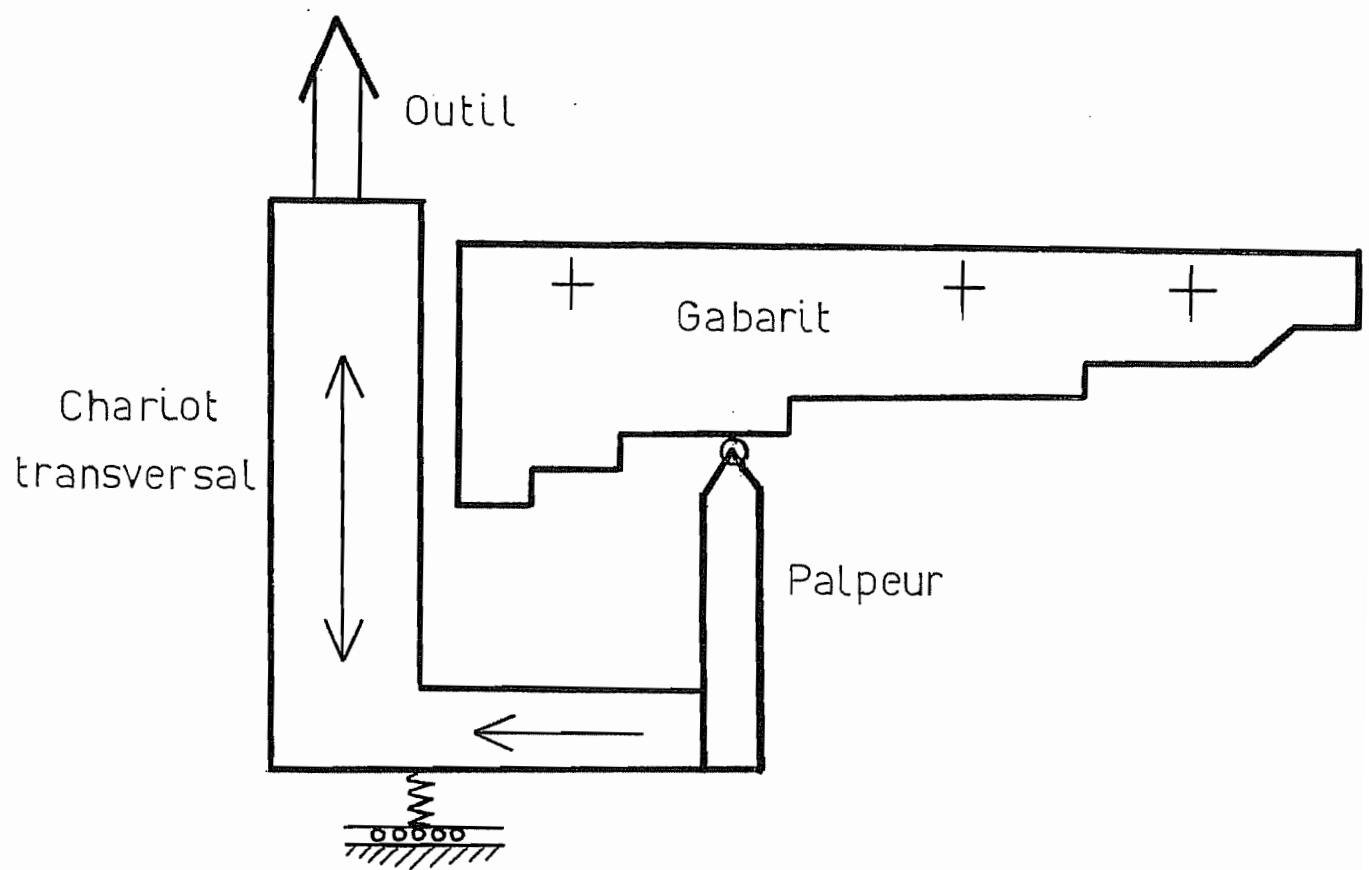


Fig. 7

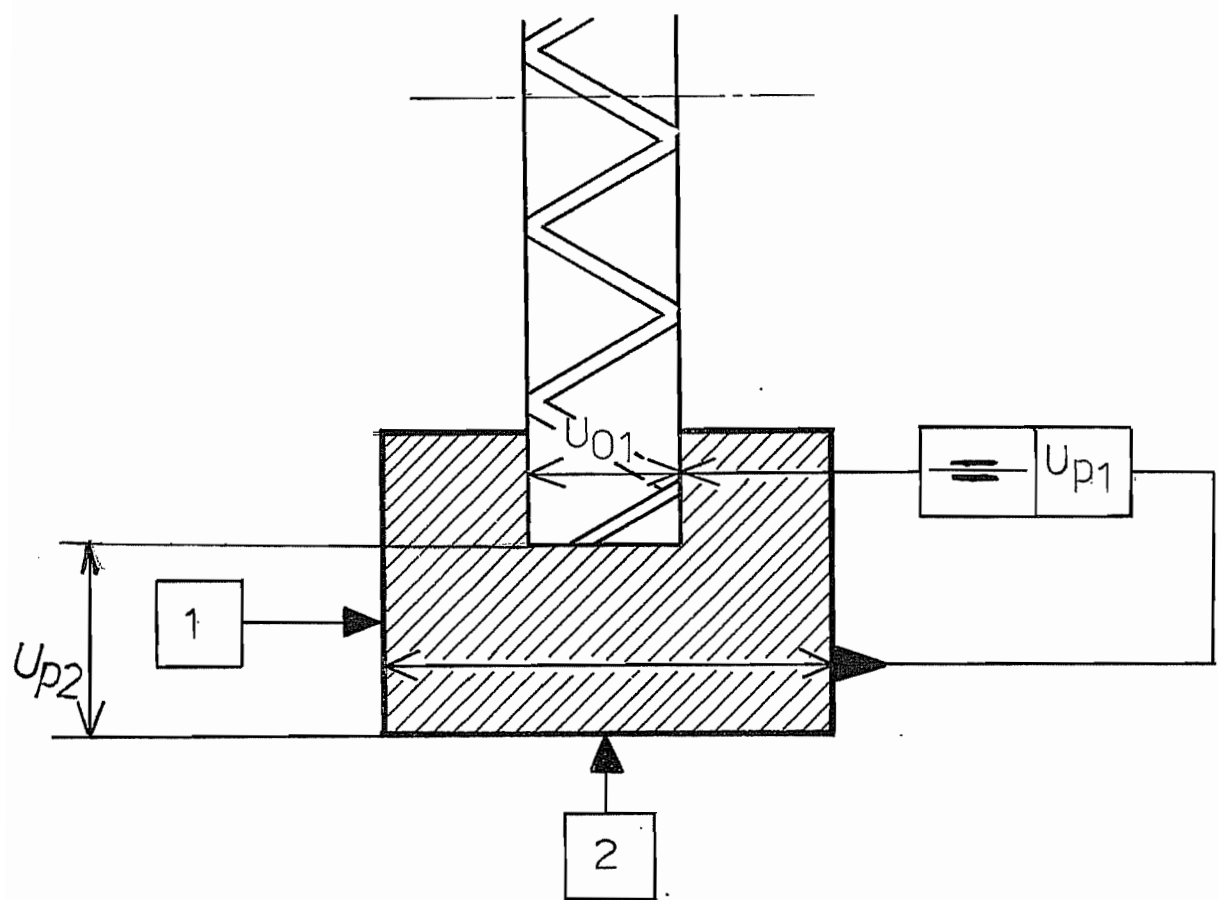


Fig. 8

Référentiel

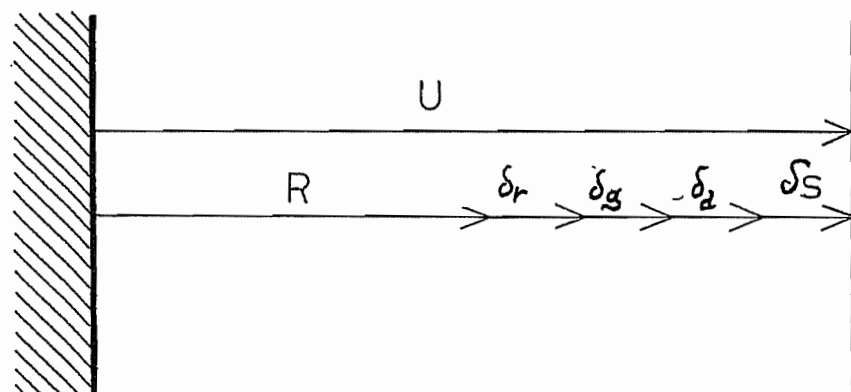


Fig. 9

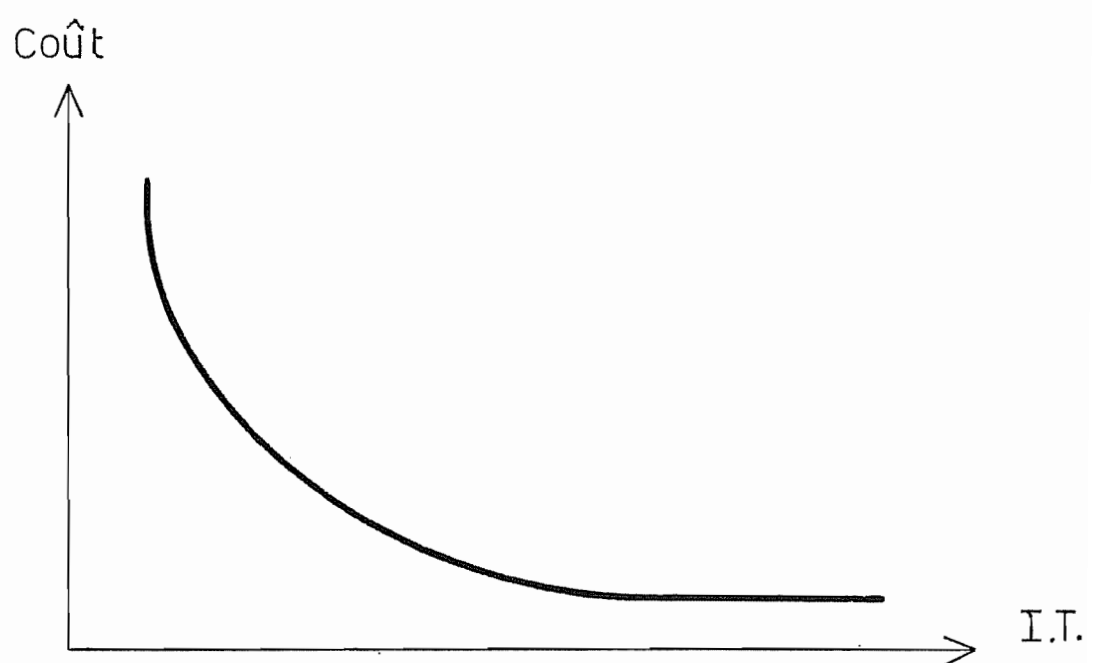


Fig. 10

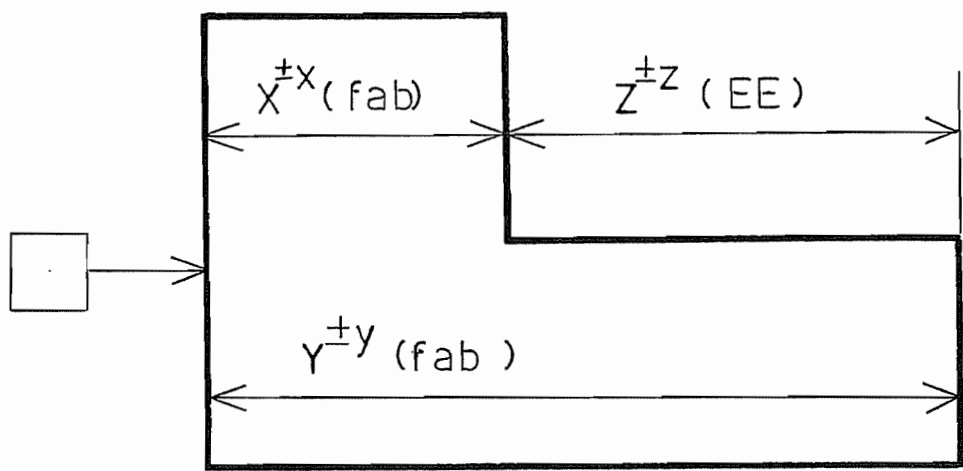


Fig. 11

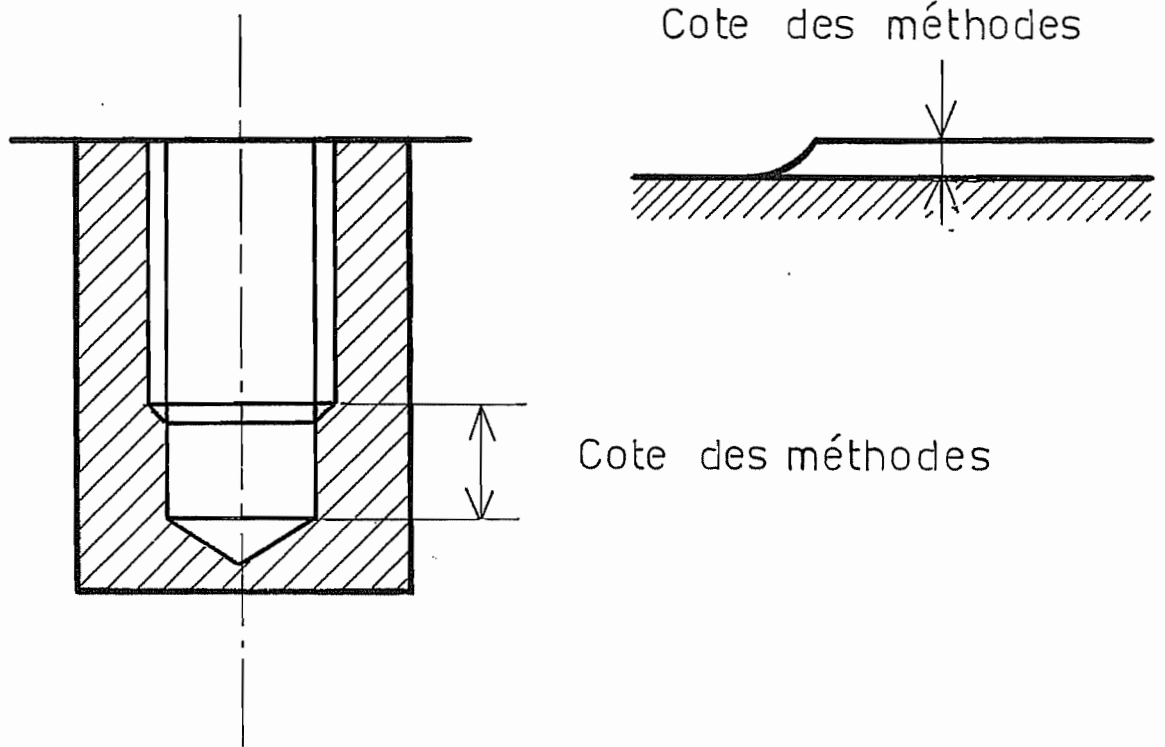


Fig. 12

Transfert de cote

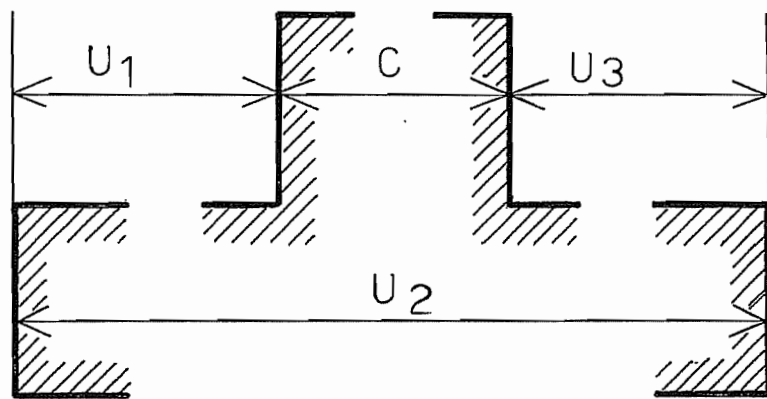
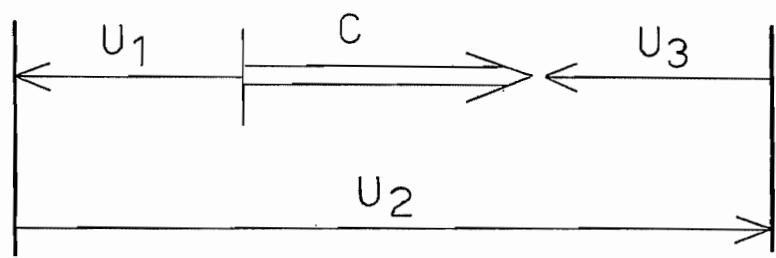


Fig. 13



$$C = -U_1 + U_2 - U_3$$

Fig. 14

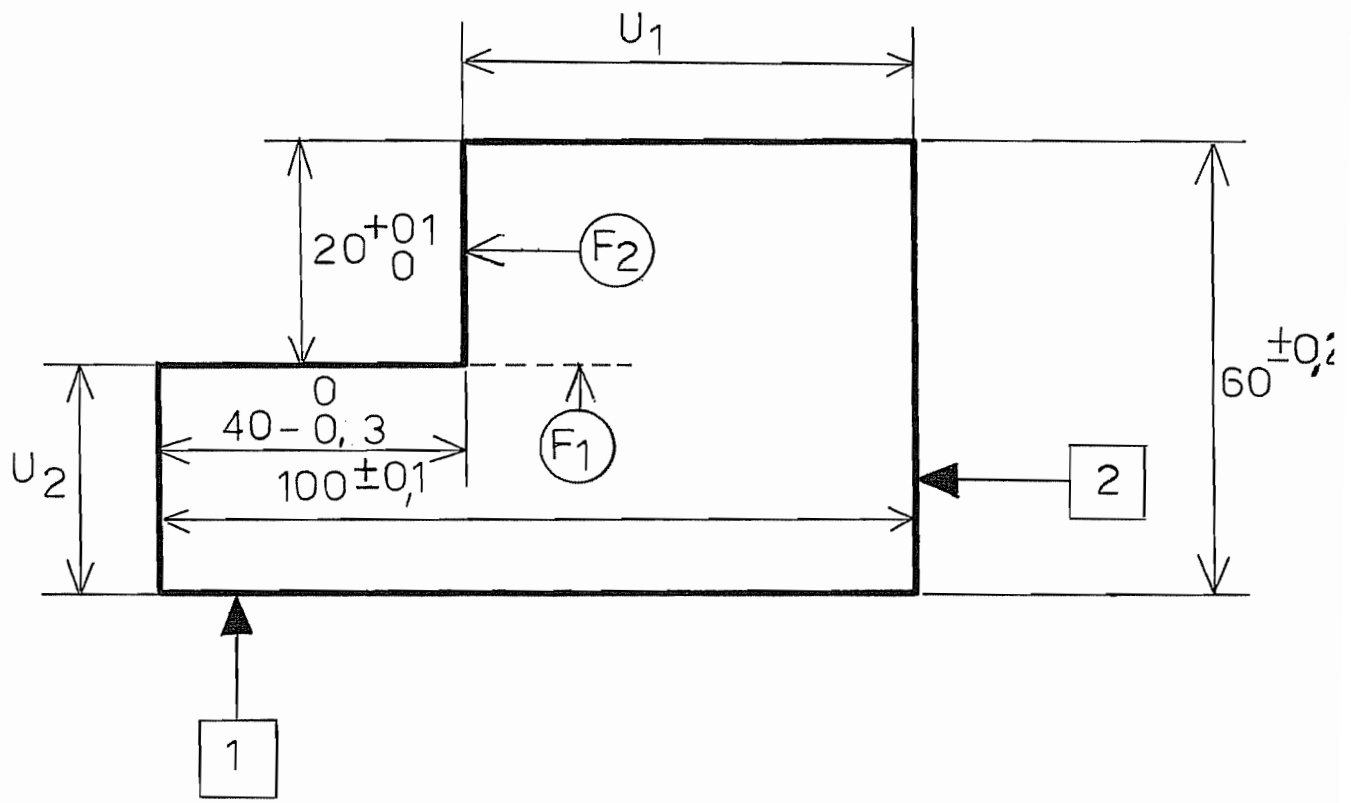


Fig. 15

a) Cote U_1

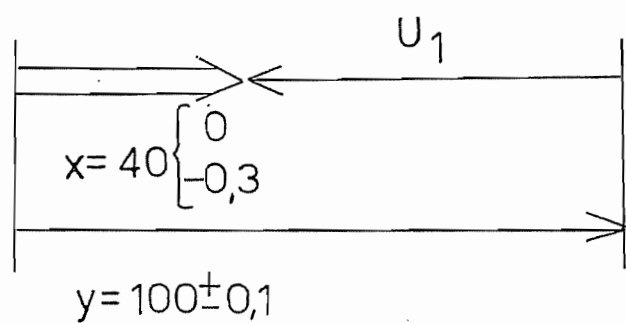


Fig. 16

b) Cote U_2

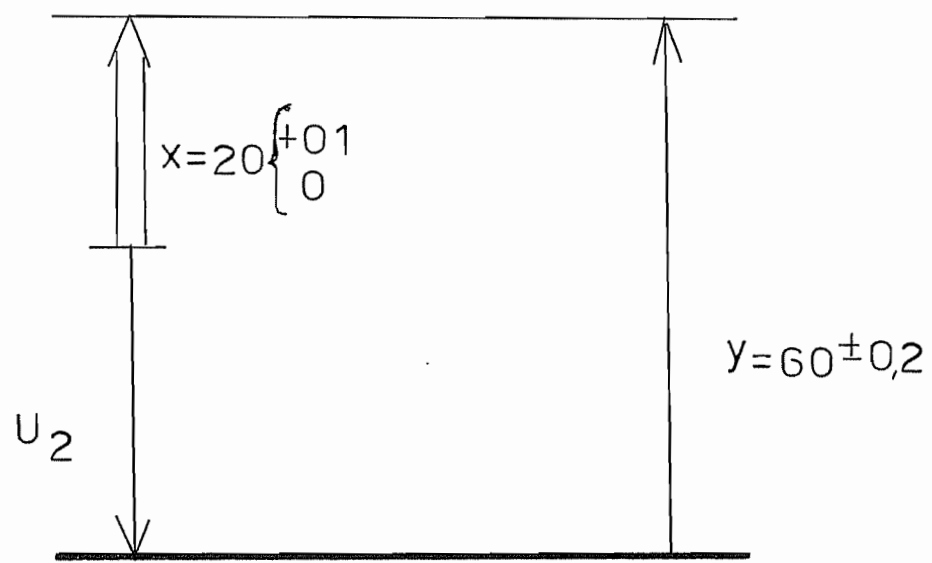


Fig. 17

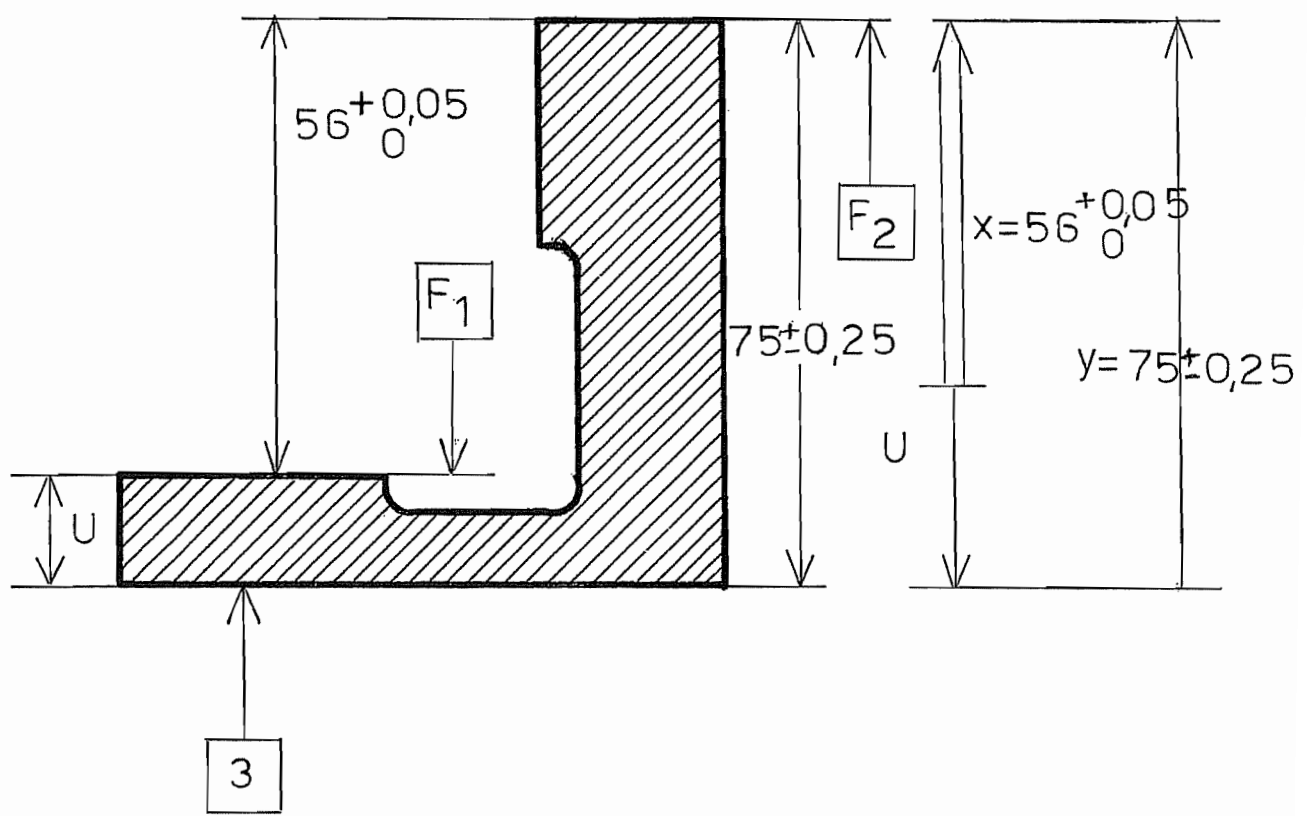


Fig. 18

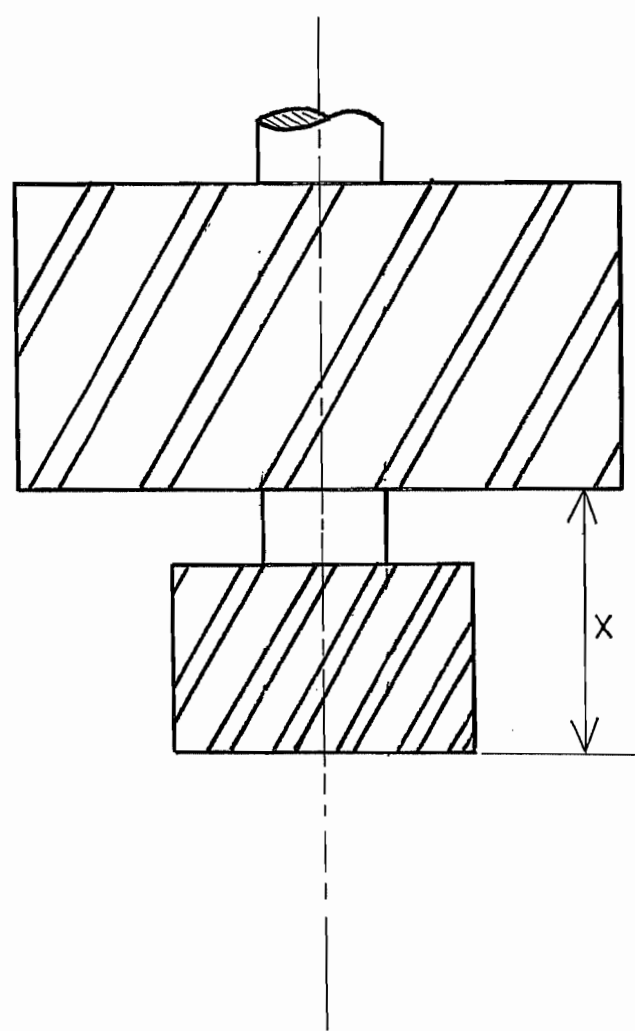


Fig. 19

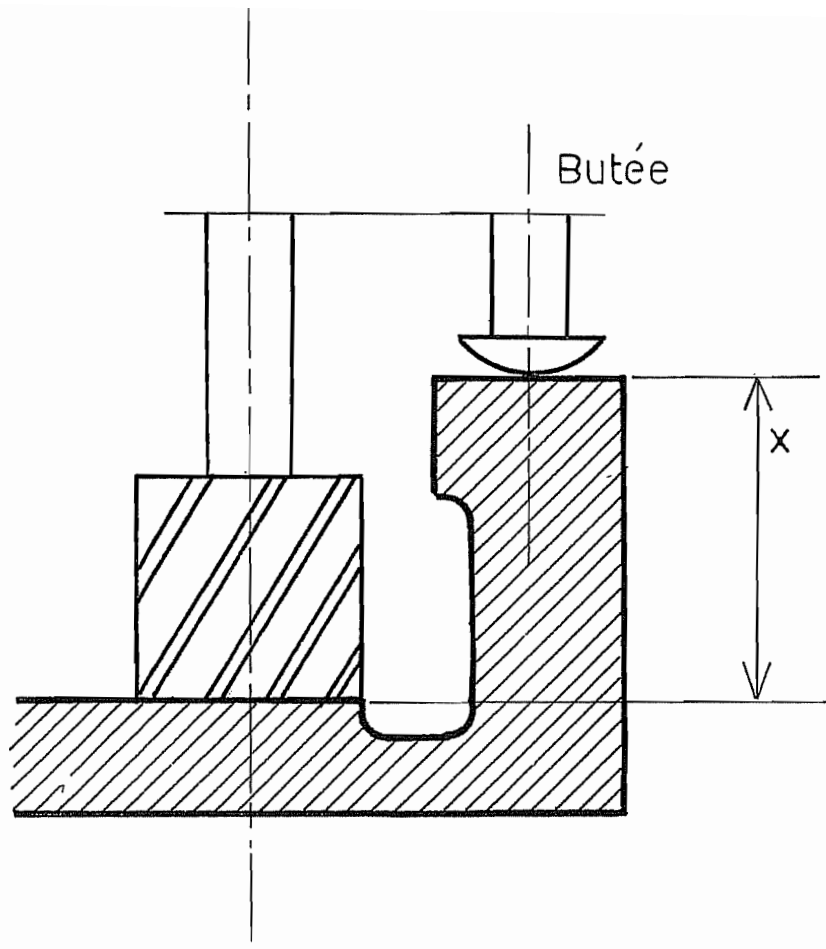


Fig. 20

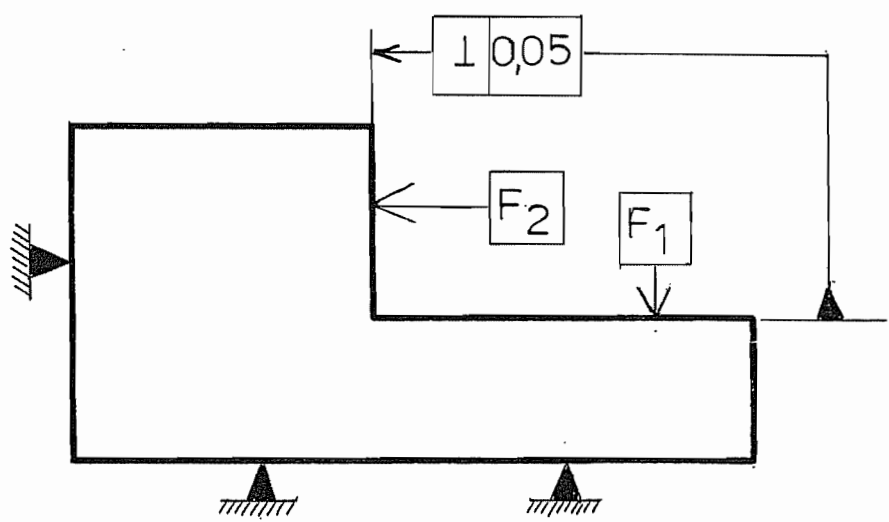


Fig. 21

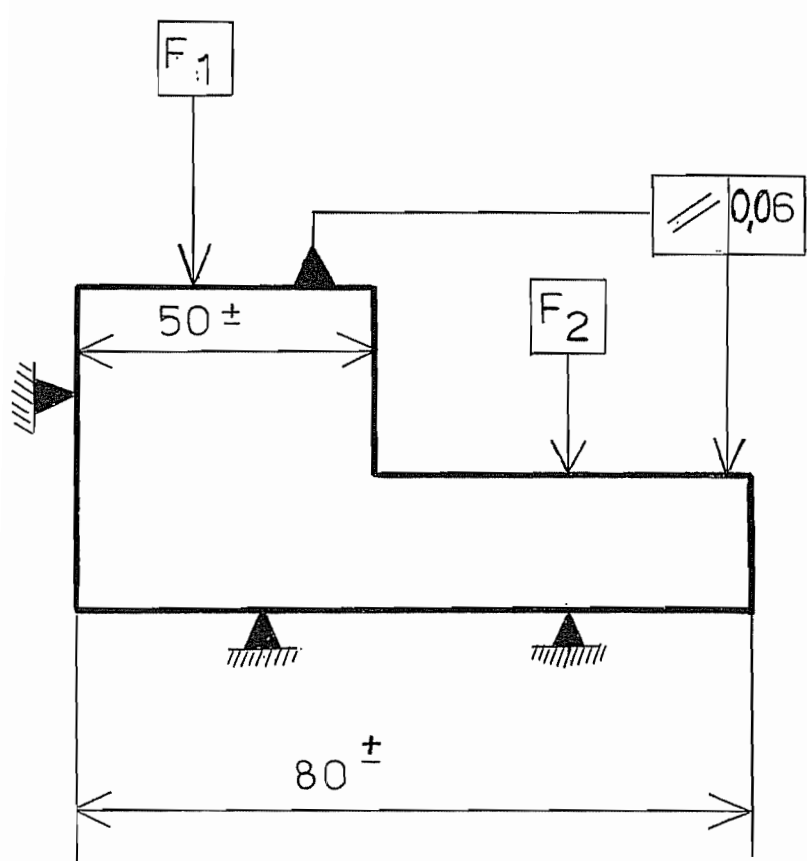


Fig. 22

1^{er} étape \rightarrow angle α_1

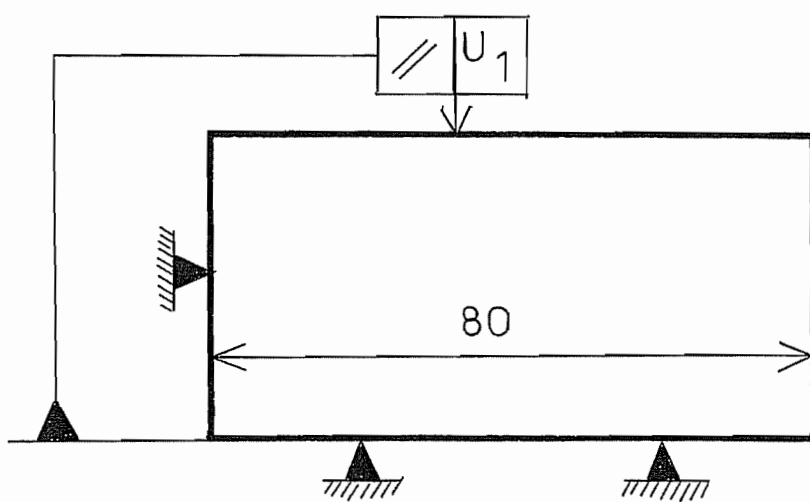


Fig. 23

2^e étape \rightarrow angle α_2

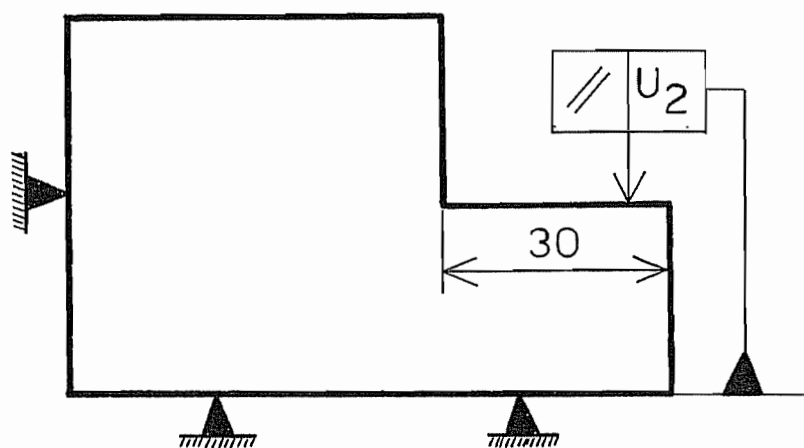


Fig.24

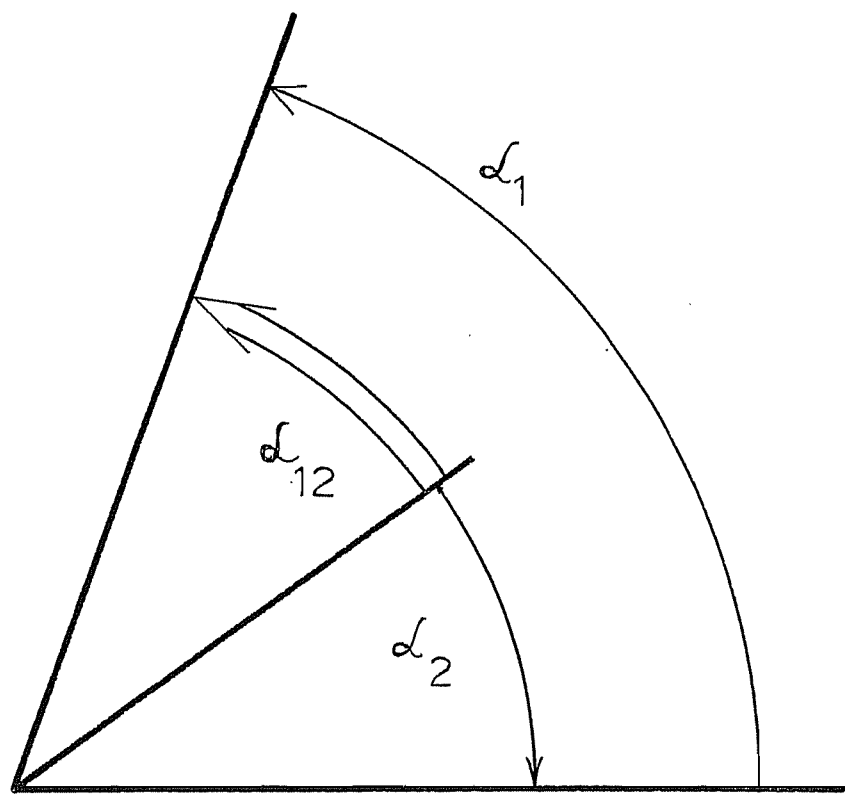


Fig. 25

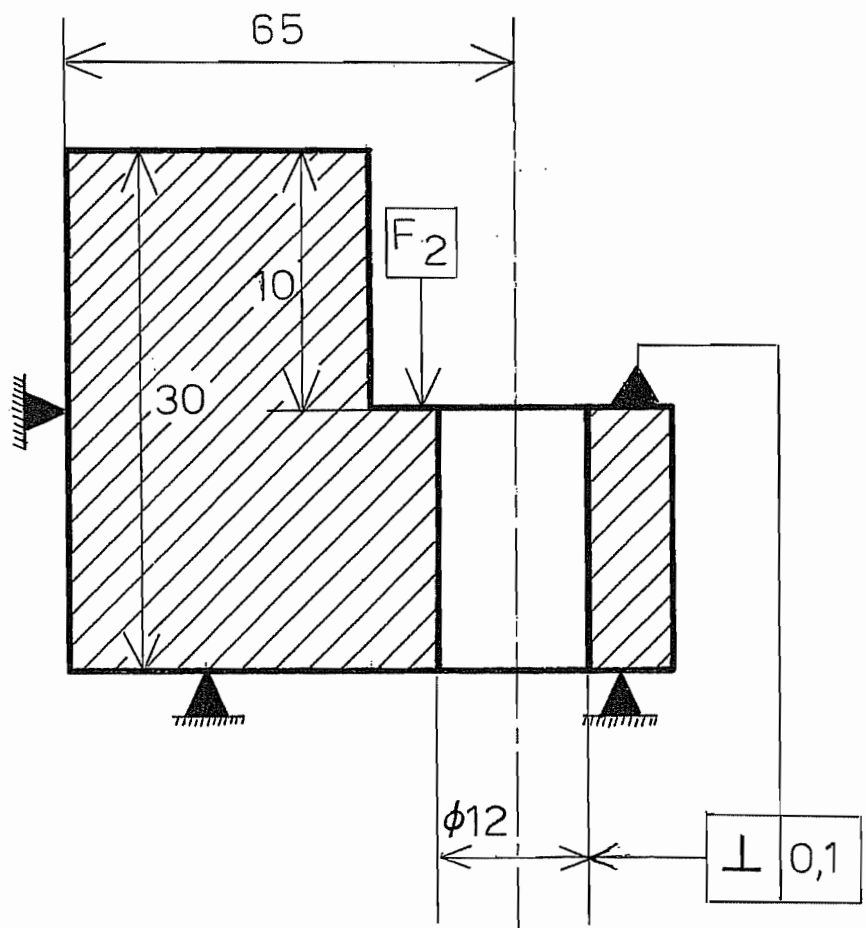


Fig. 26

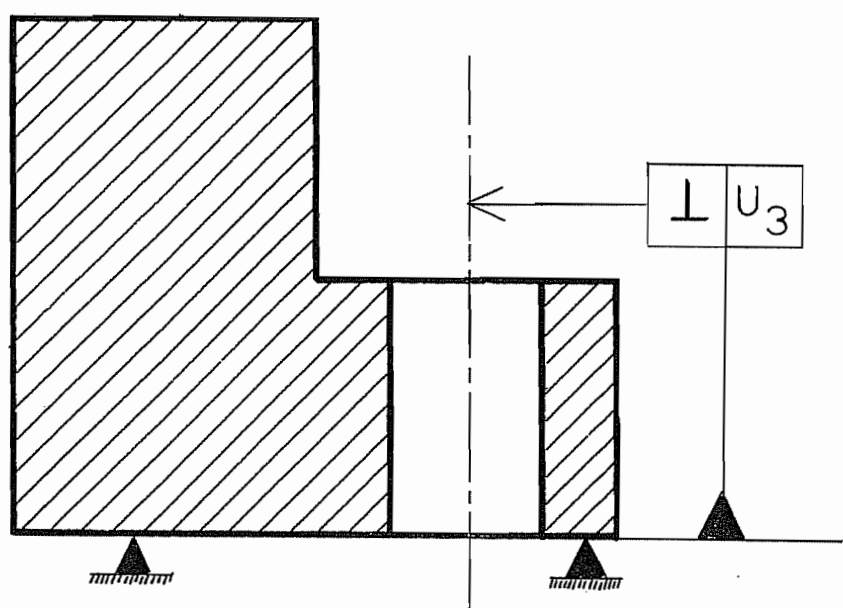


Fig. 27

Axe du trou

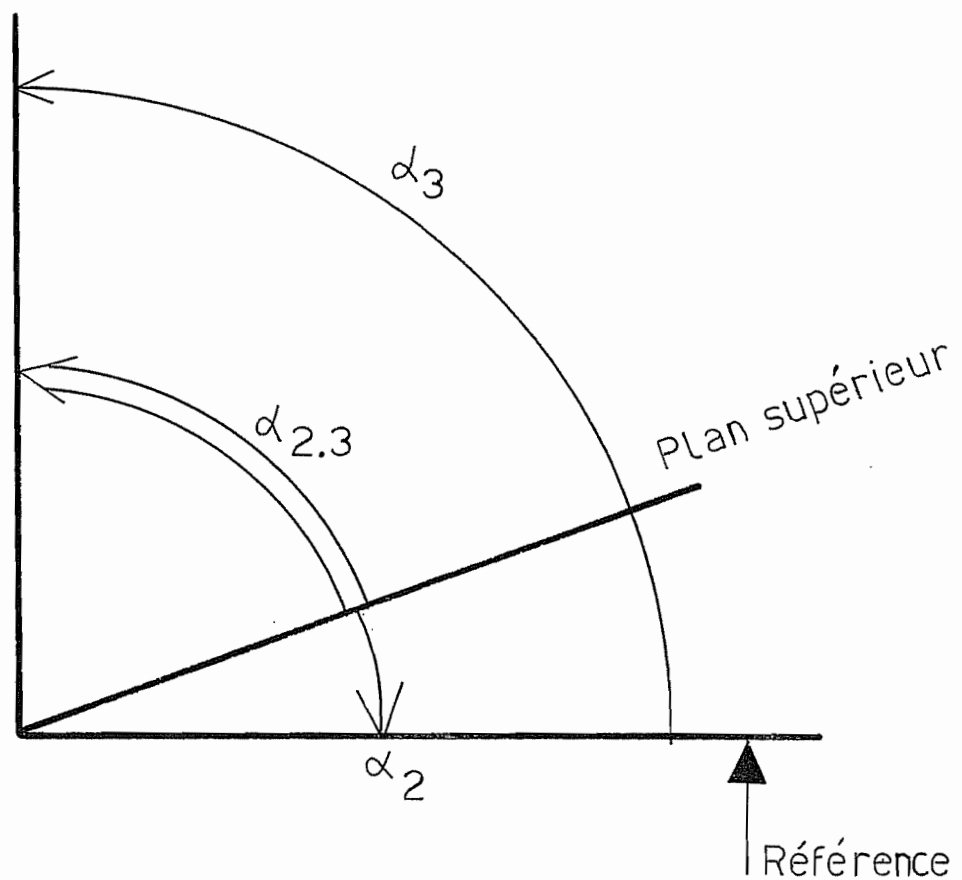


Fig. 28

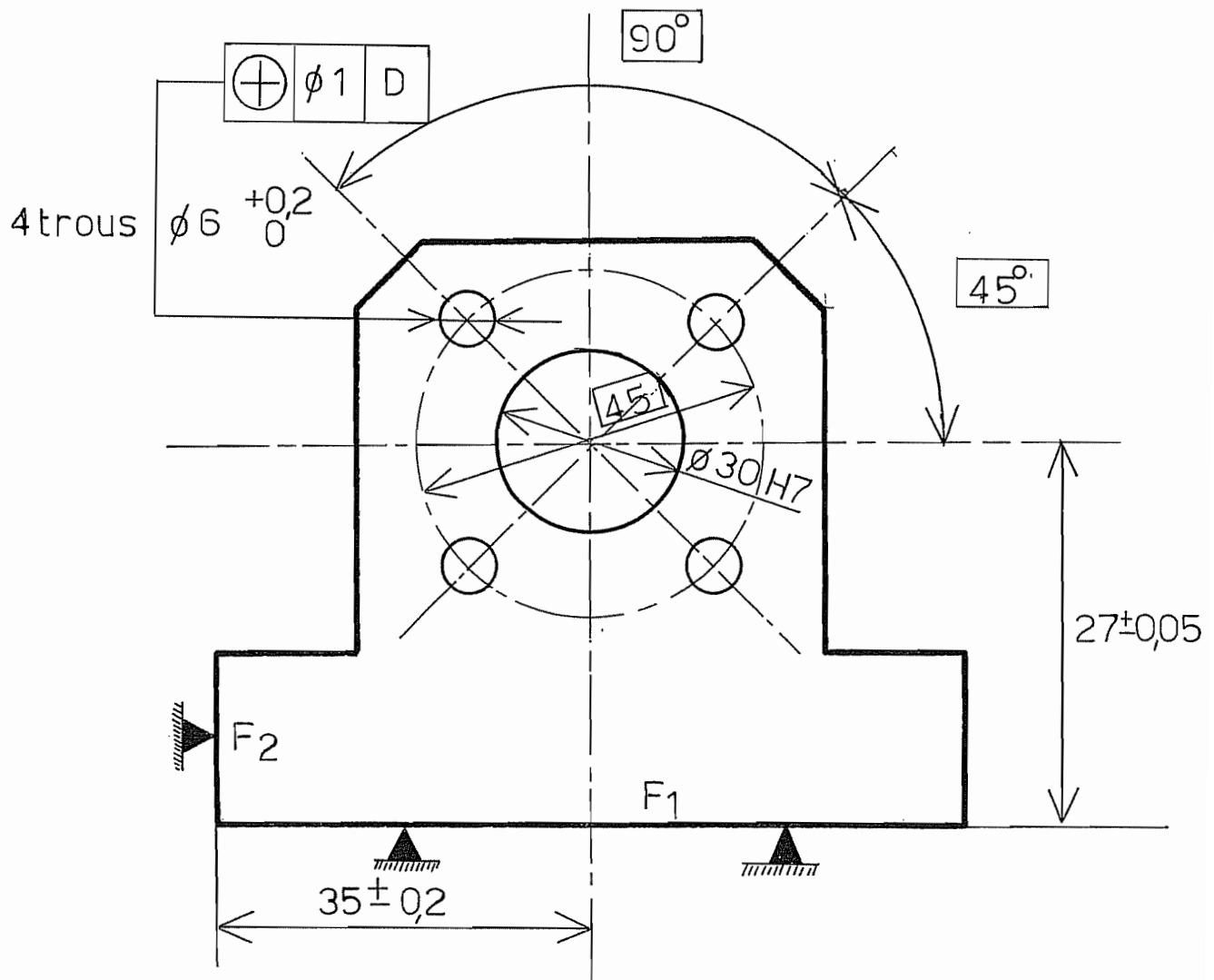


Fig. 29

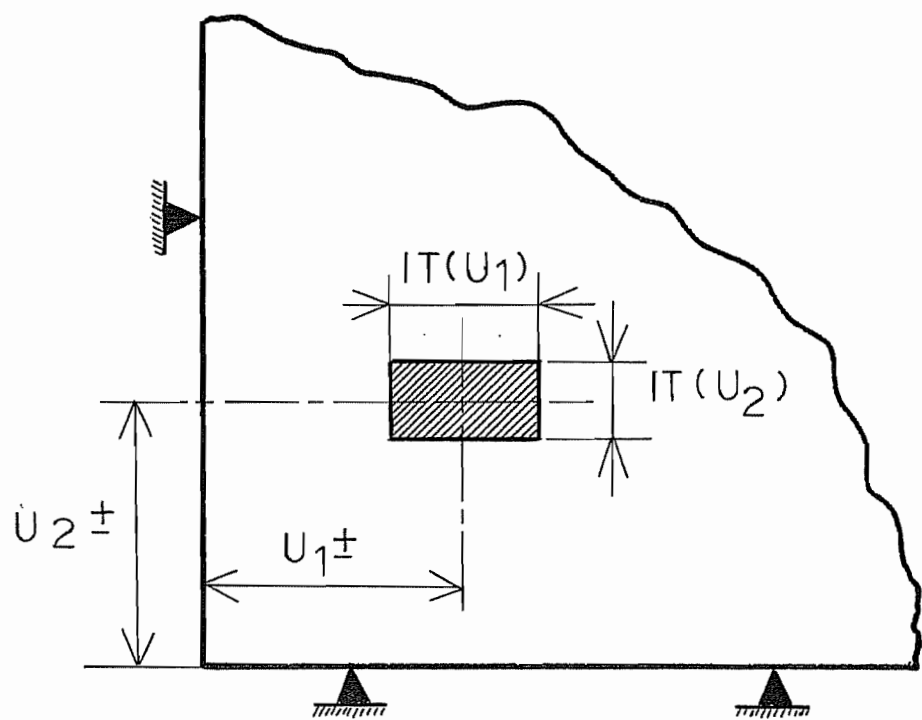
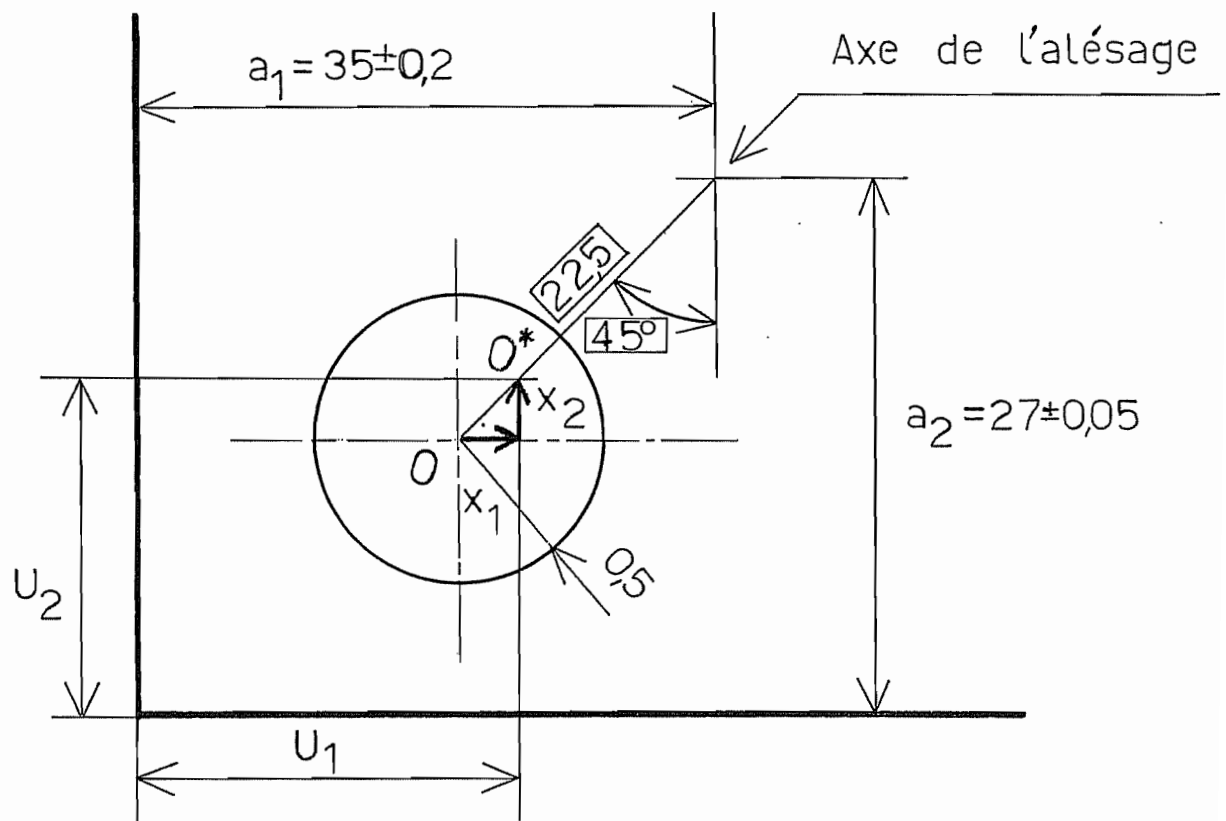


Fig. 30



*O : position idéale de l'axe du trou
O^{} : position réelle de l'axe du trou**

Fig. 31

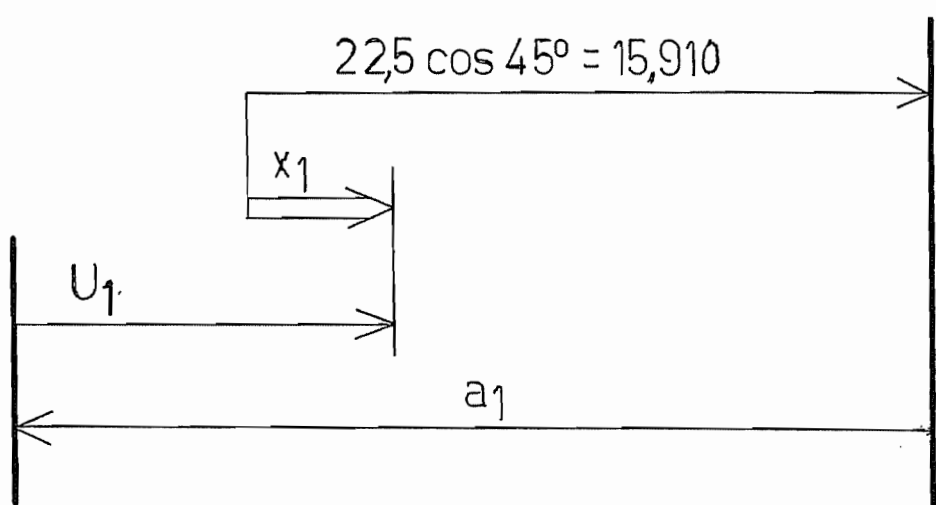


Fig. 32

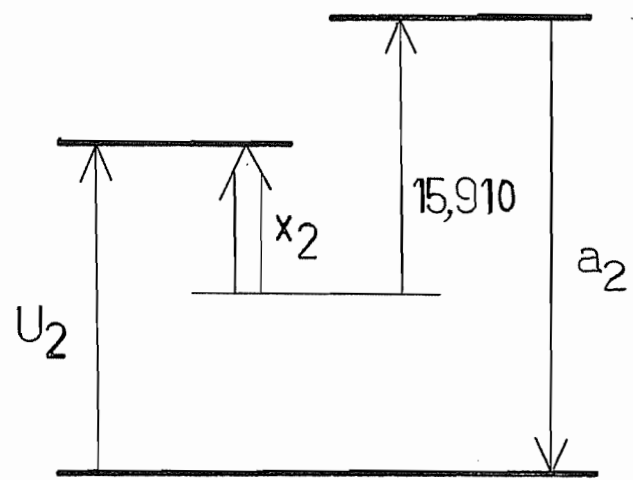


Fig. 33

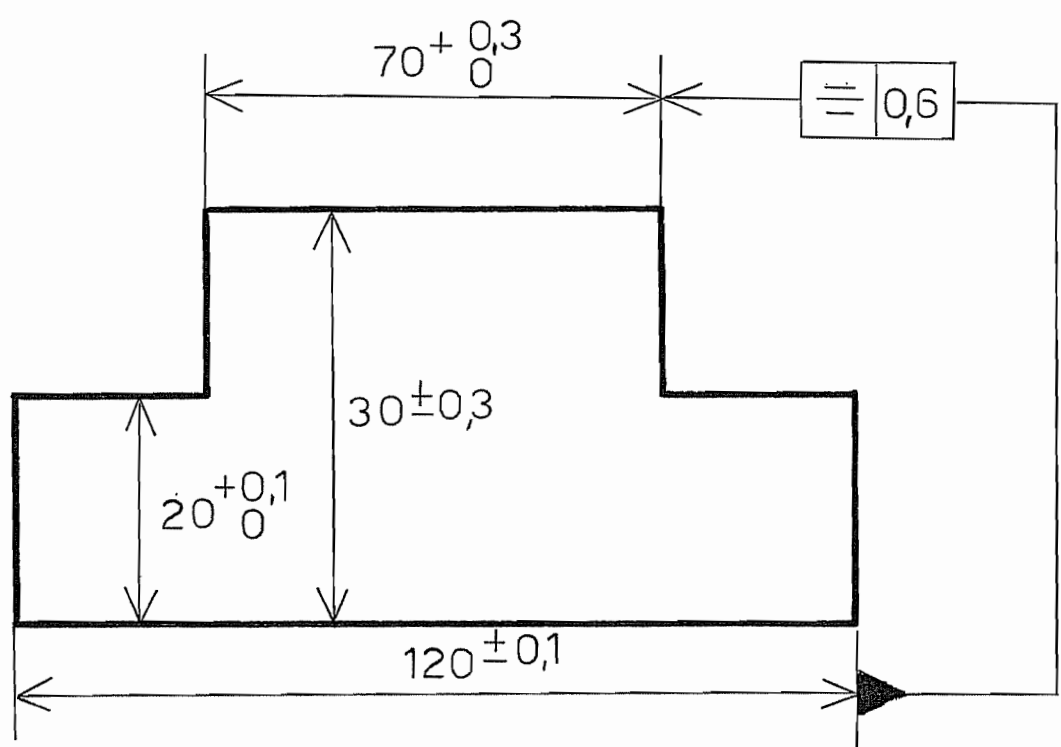


Fig. 34

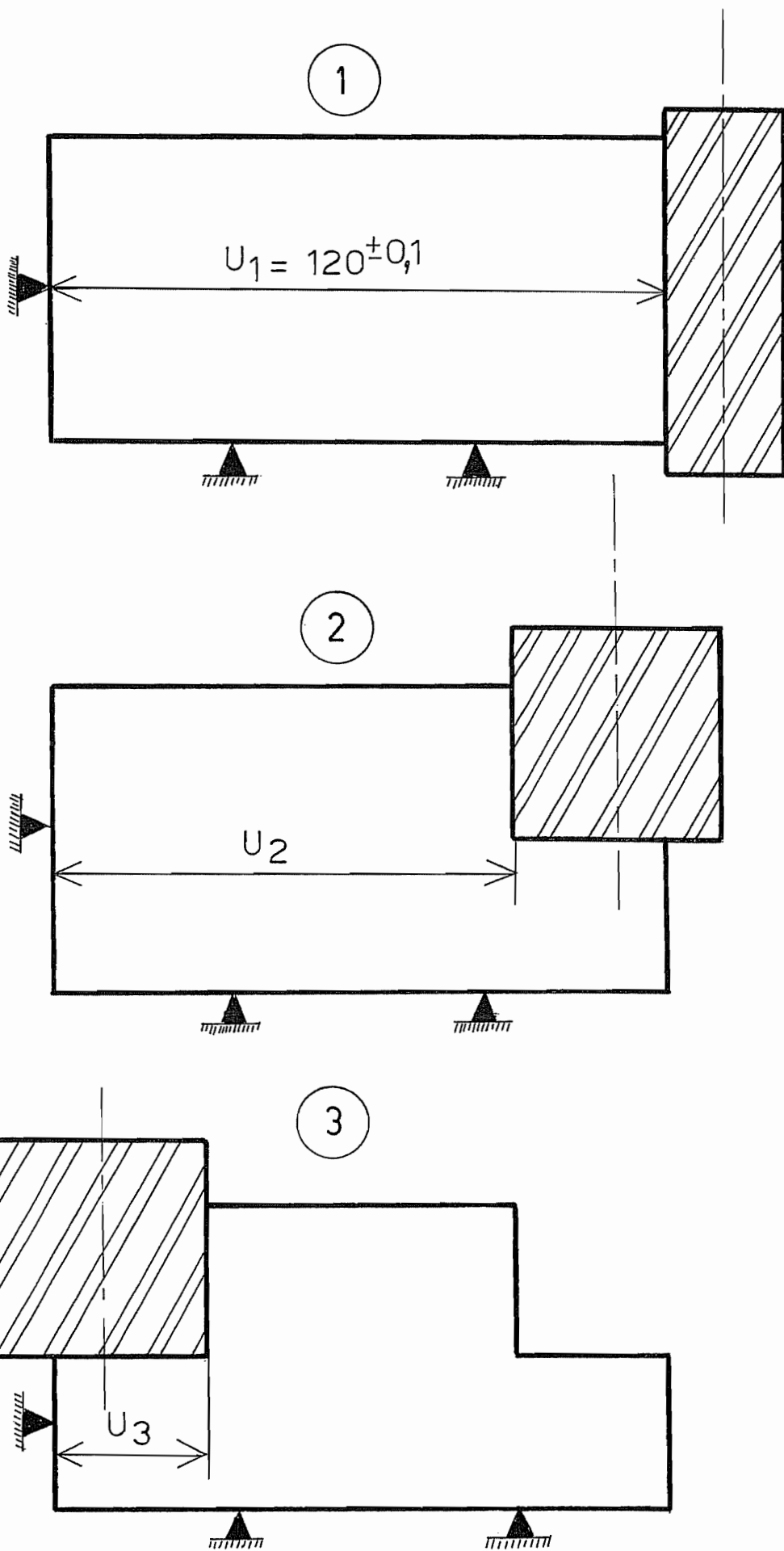


Fig. 35

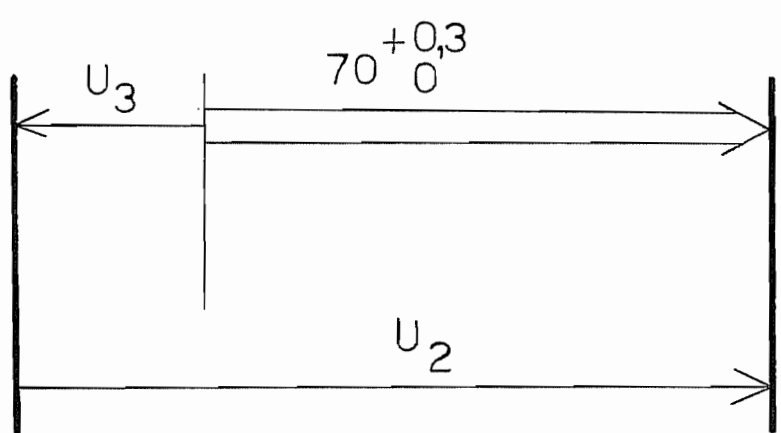


Fig. 36

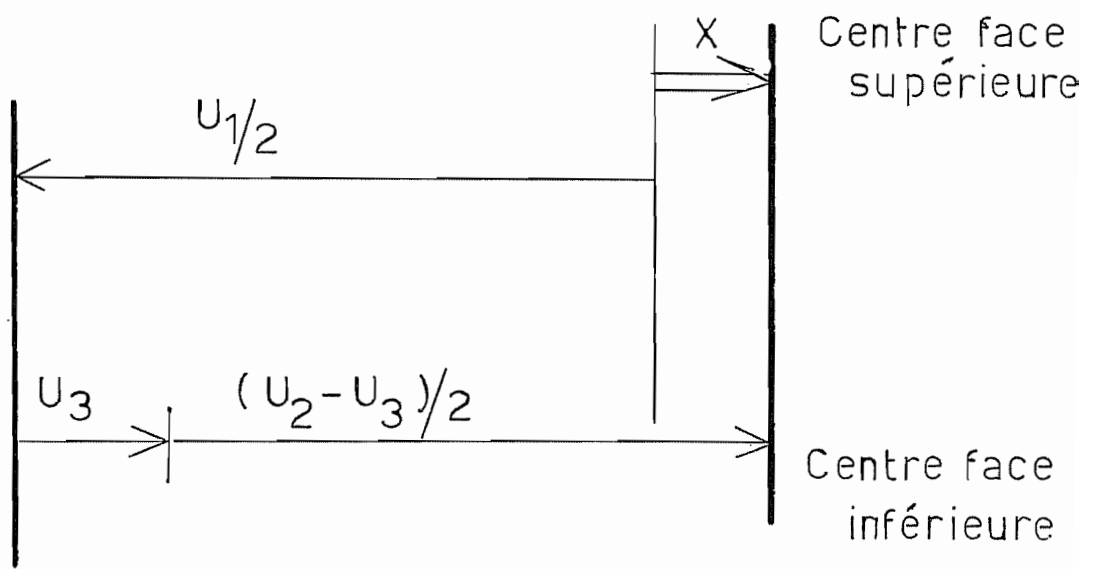


Fig. 37

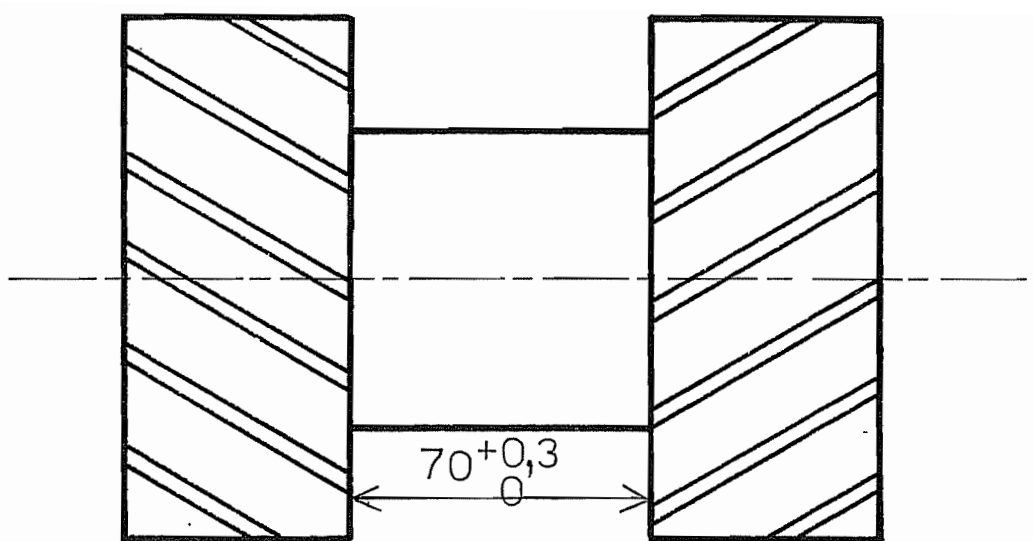


Fig. 38

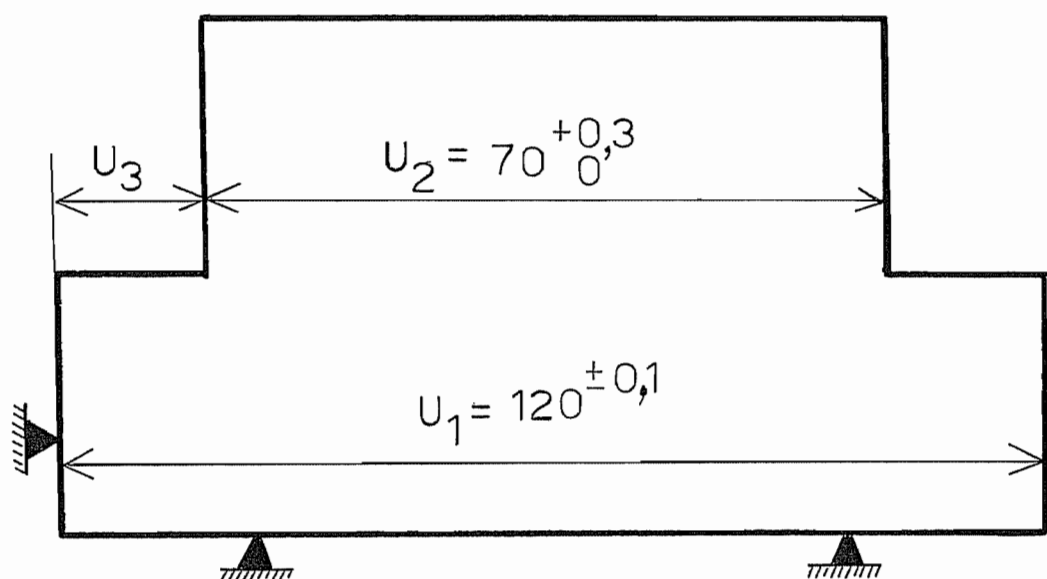


Fig. 39

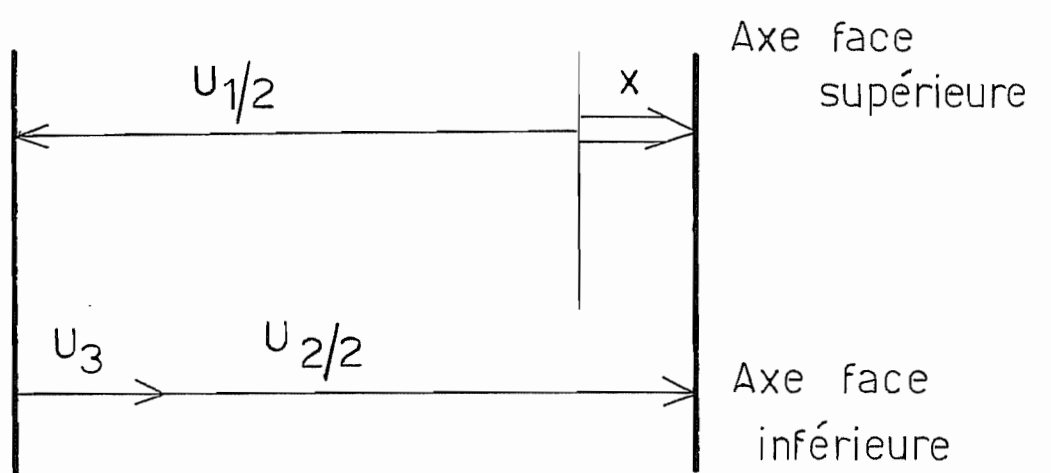
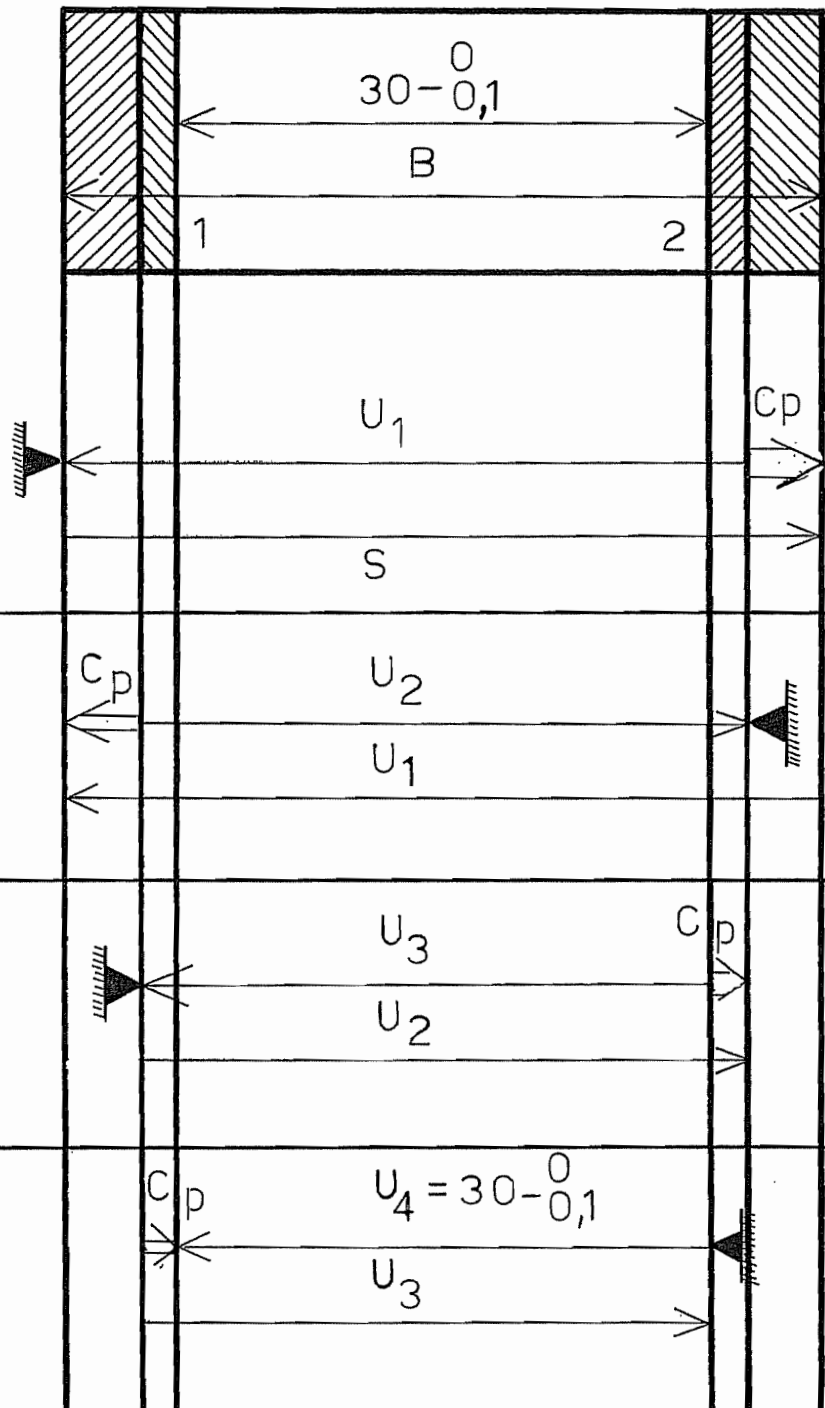


Fig. 40



$$C_{Pm} = \begin{cases} 2,5 & (\text{ébauche}) \\ 0,5 & (\text{finition}) \end{cases}$$

$$IT = \begin{cases} 0,8 & (\text{cotes/brut}) \\ 0,2 & (\text{cotes/surf. unies}) \end{cases}$$

Ebauche face 2

$$C_p = B - U_1 \quad \begin{cases} C_{Pm} = B_m - U_{1M} = 2,5 \\ U_{1M} - U_{1m} = 0,8 \end{cases}$$

Ebauche face 1

$$C_p = U_1 - U_2 \quad \begin{cases} C_{Pm} = U_{1m} - U_{2M} = 2,5 \\ U_{2M} - U_{2m} = 0,2 \end{cases}$$

Finition face 2

$$C_p = U_2 - U_3 \quad \begin{cases} C_{Pm} = U_{2m} - U_{3M} = 0,5 \\ U_{3M} - U_{3m} = 0,2 \end{cases}$$

Finition face 1

$$C_p = U_3 - U_4 \quad \begin{cases} C_{Pm} = U_{3m} - U_{4M} = 0,5 \\ U_{4M} - U_{4m} = 0,1 \end{cases}$$

Fig. 41

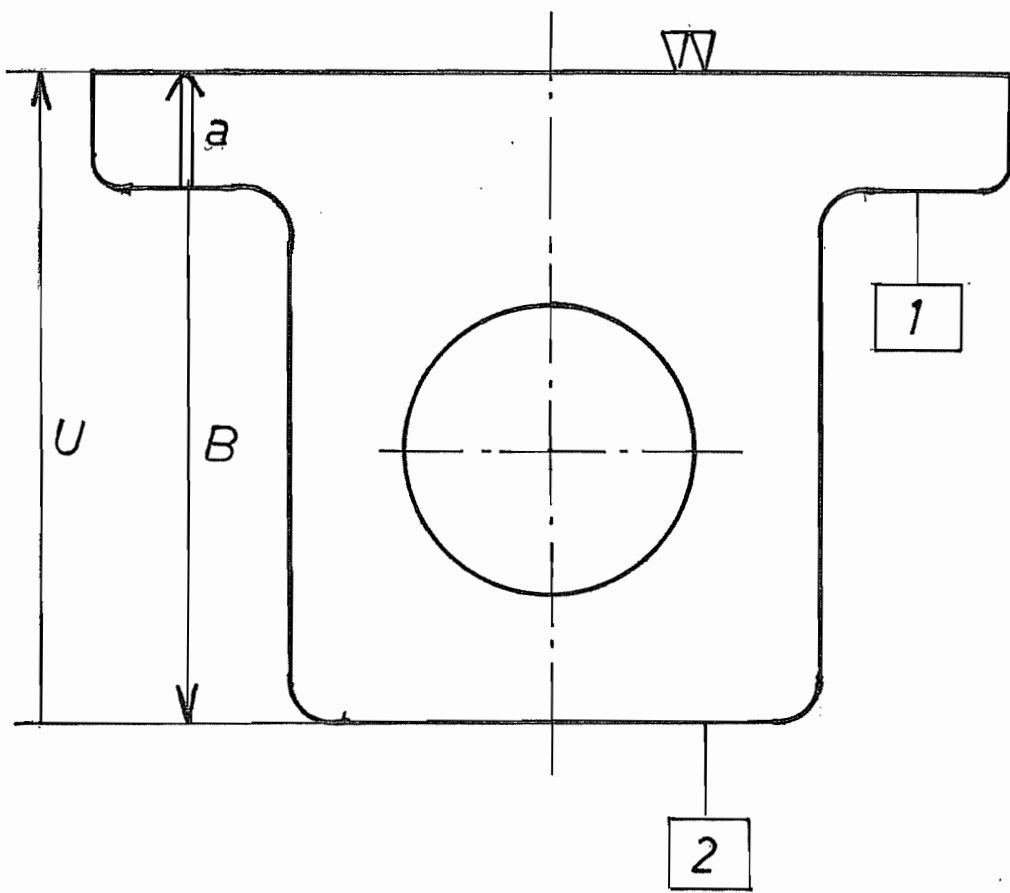
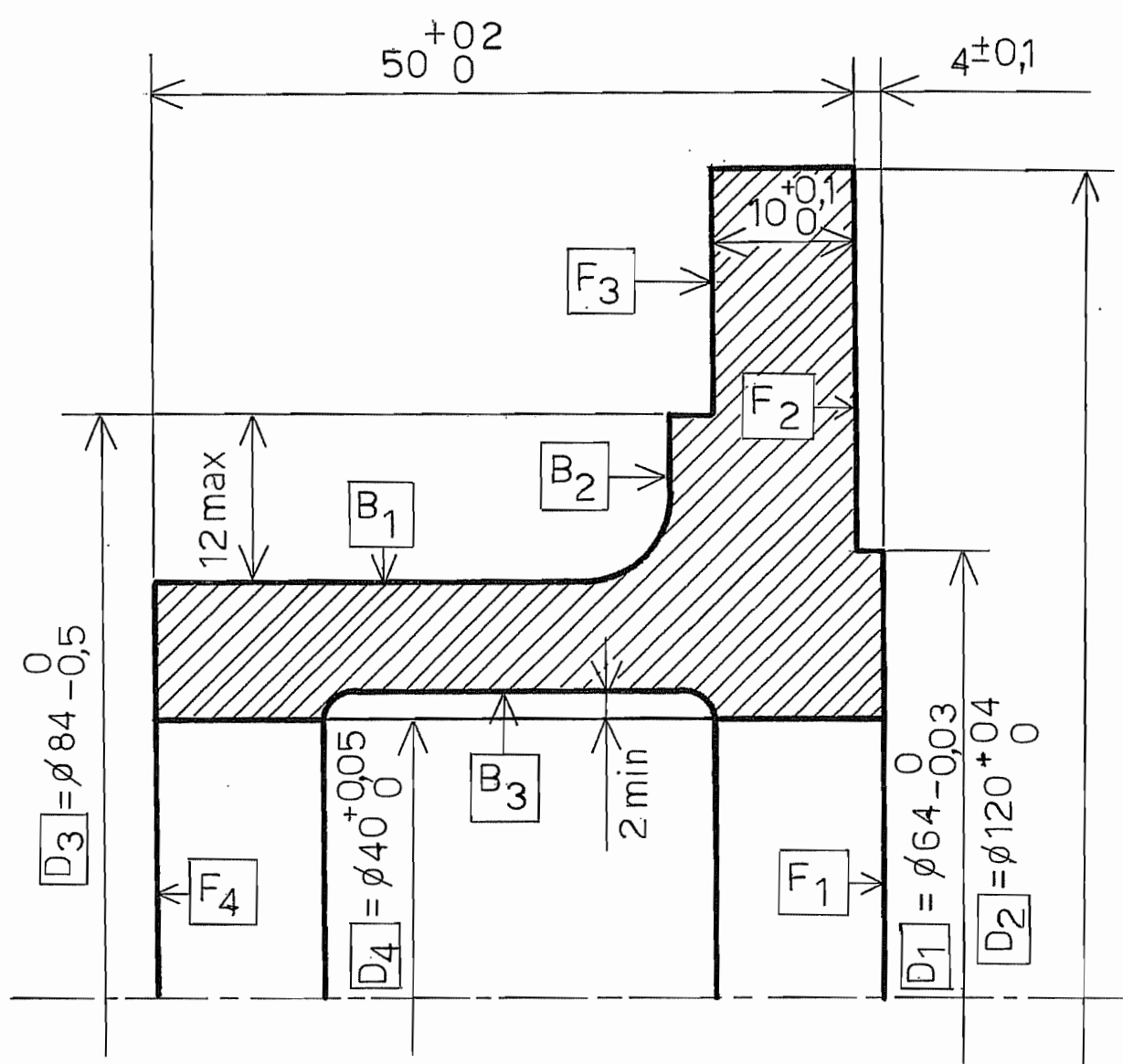


Fig. 42

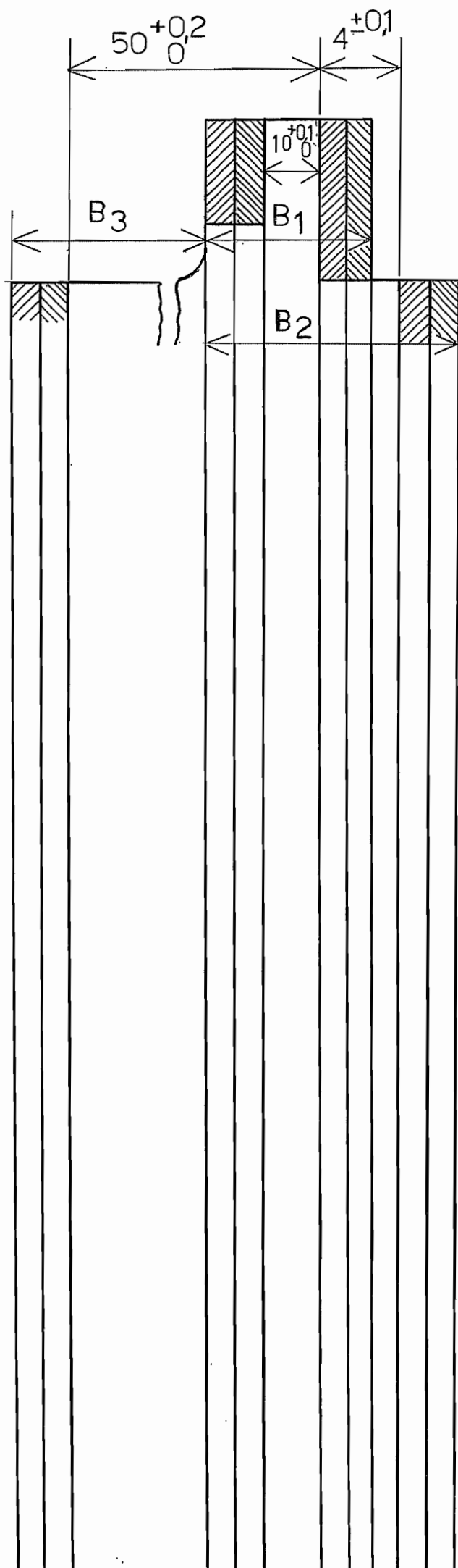


D_1	◎	$\varnothing 1,5$	B_1
D_2	◎	$\varnothing 0,5$	D_1
D_3	◎	$\varnothing 0,5$	D_1
D_4	—	0,05	F_2
D_4	◎	$\varnothing 0,05$	D_1

FLASQUE - Ft 20
Ech 2/1

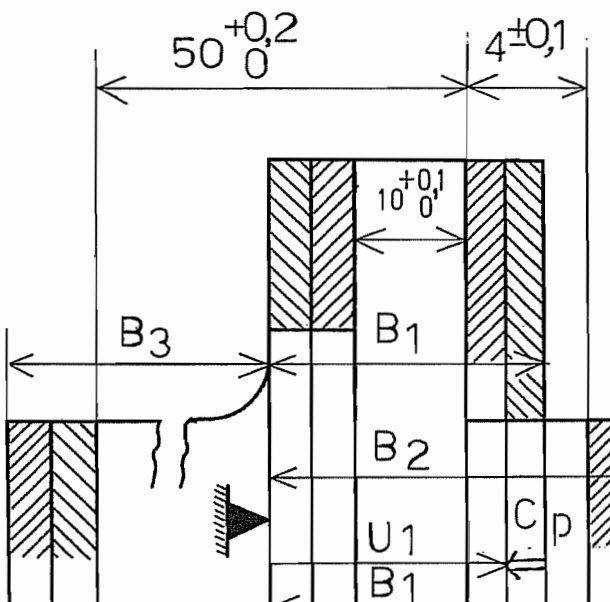
Fig. 43

COTES AXIALES



$$C_{pm} = \begin{cases} 0,5 \text{ finition} \\ 2 \text{ dégrossissage} \end{cases}$$
$$IT = \begin{cases} 0,8 \text{ dégrossissage} \\ 0,2 \text{ finition} \end{cases}$$

Fig. 44



COTES AXIALES

$$C_{pm} = \begin{cases} 0,5 \text{ finition} \\ 2 \text{ dégrossissage} \end{cases}$$

$$IT = \begin{cases} 0,8 \text{ (dégr) } \rightarrow \text{si réf = surf brute} \\ 0,2 \text{ (finition)} \end{cases}$$

Phase 10

$$C_{pm} = B_{1m} - U_{1M} = 2 \quad (a)$$

$$IT(U_1) = 0,8$$

Réf. aux. = F2 dégrossie

$$C_{pm} = B_{2m} - U_{1M} - U_{2M} = 2 \quad (b)$$

$$IT(U_2) = 0,2$$

Idem $\Rightarrow U_3$ côté directe

$$C_{pm} = U_{3m} = 0,5$$

$$IT(U_3) = 0,2$$

$$U_3 = 0,5 +0,2 _{-0}$$

Réf. aux. = F2 finie
 $\Rightarrow U_4$ côté directe

$$U_4 = 4 \pm 0,1$$

$$C_{pm} = U_{2m} + U_{3m} - U_{4M} = 0,5$$

$$U_{2m} = 0,5 - 0,5 + 4,1 = 4,1$$

$$U_2 = 4,1 +0,2 _{-0}$$

Phase 20

$$C_{pm} = U_{1m} - U_{3M} - U_{5M} = 2 \quad (c)$$

$$IT(U_5) = 0,2$$

$$C_{pm} = B_{3m} + U_{1m} - U_{3M} - U_{6M} = 2 \quad (d)$$

$$IT(U_6) = 0,2$$

$$U_7 = 10 +0,1 _{-0}$$

Côte directe

$$C_{pm} = U_{5m} - U_{7M} = 0,5 \quad U_{5m} = 0,5 + 10,1 = 10,6$$

$$U_5 = 10,6 +0,2 _{-0}$$

$$50 +0,2 _{-0}$$

$$U_8 = 50 +0,2 _{-0}$$

$$C_{pm} = U_{6m} - U_{8M} = 0,5 \quad U_{6m} = 0,5 + 50,2 = 50,7$$

$$U_6 = 50,7 +0,2 _{-0}$$

Fig. 45

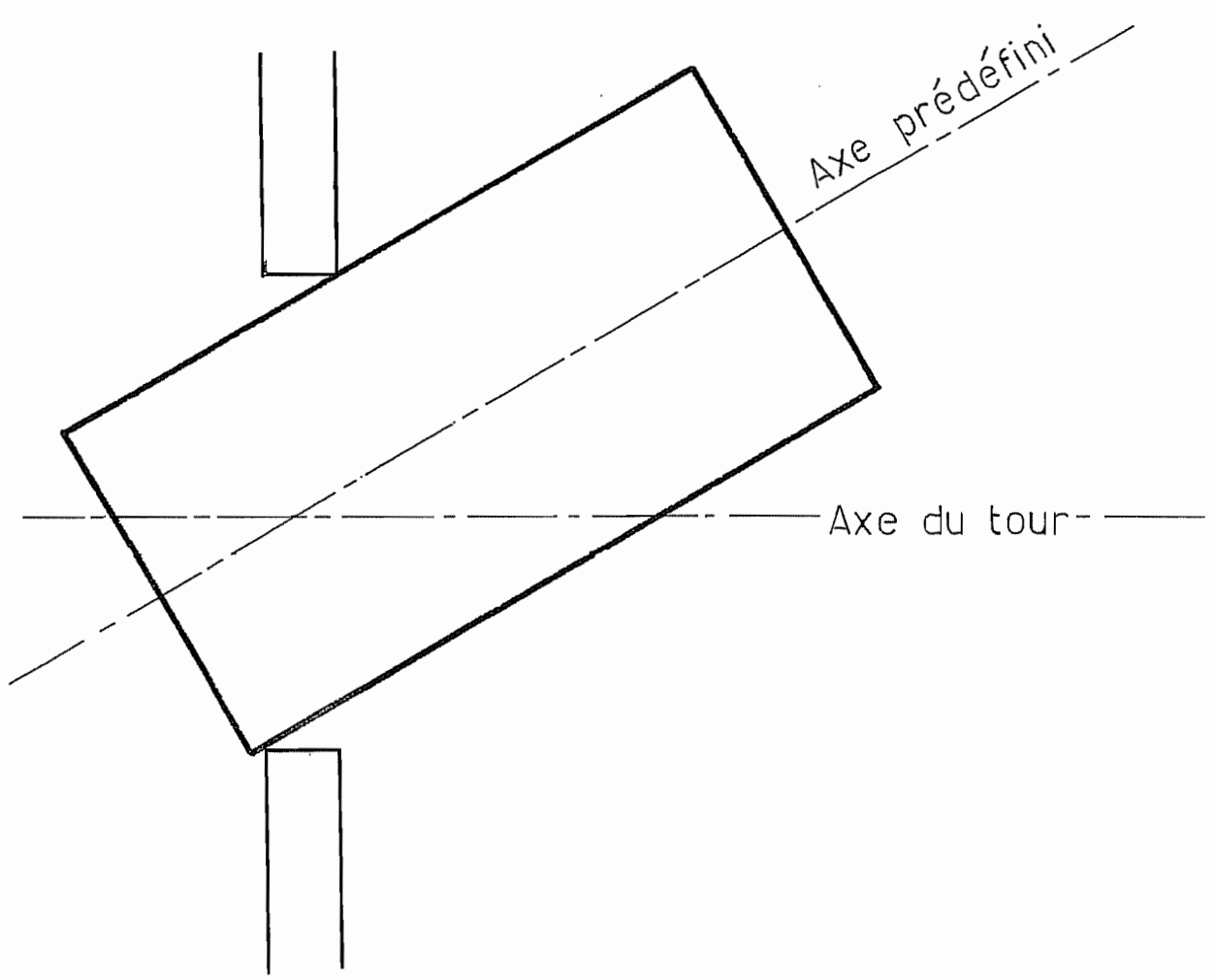
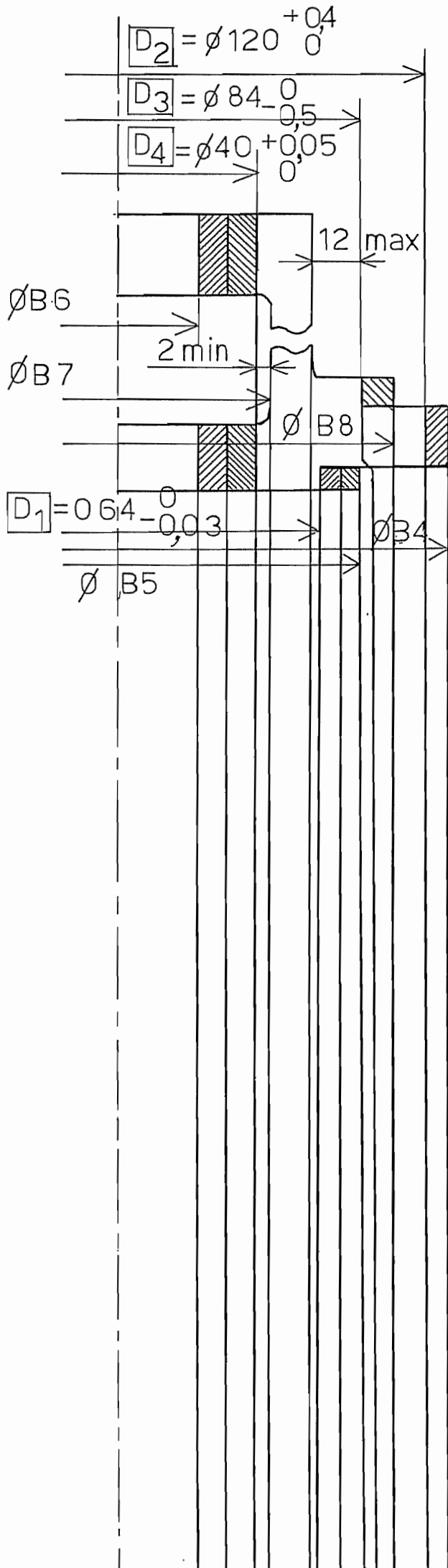


Fig. 46



COTES RADIALES

D_1	\odot	$\phi 1,5$	B_1
D_2	\odot	$\phi 0,5$	D_1
D_3	\odot	$\phi 0,5$	D_1
D_4	\perp	$0,05$	F_2
D_4	\odot	$\phi 0,05$	D_1

$$C_{pm} = \begin{cases} 0,5 \text{ finition} \\ 2 \text{ dégrossissement} \end{cases}$$

$$I.T = \begin{cases} 0,2 \text{ finition} \\ 0,8 \text{ dégrossissement} \end{cases}$$

Fig. 47

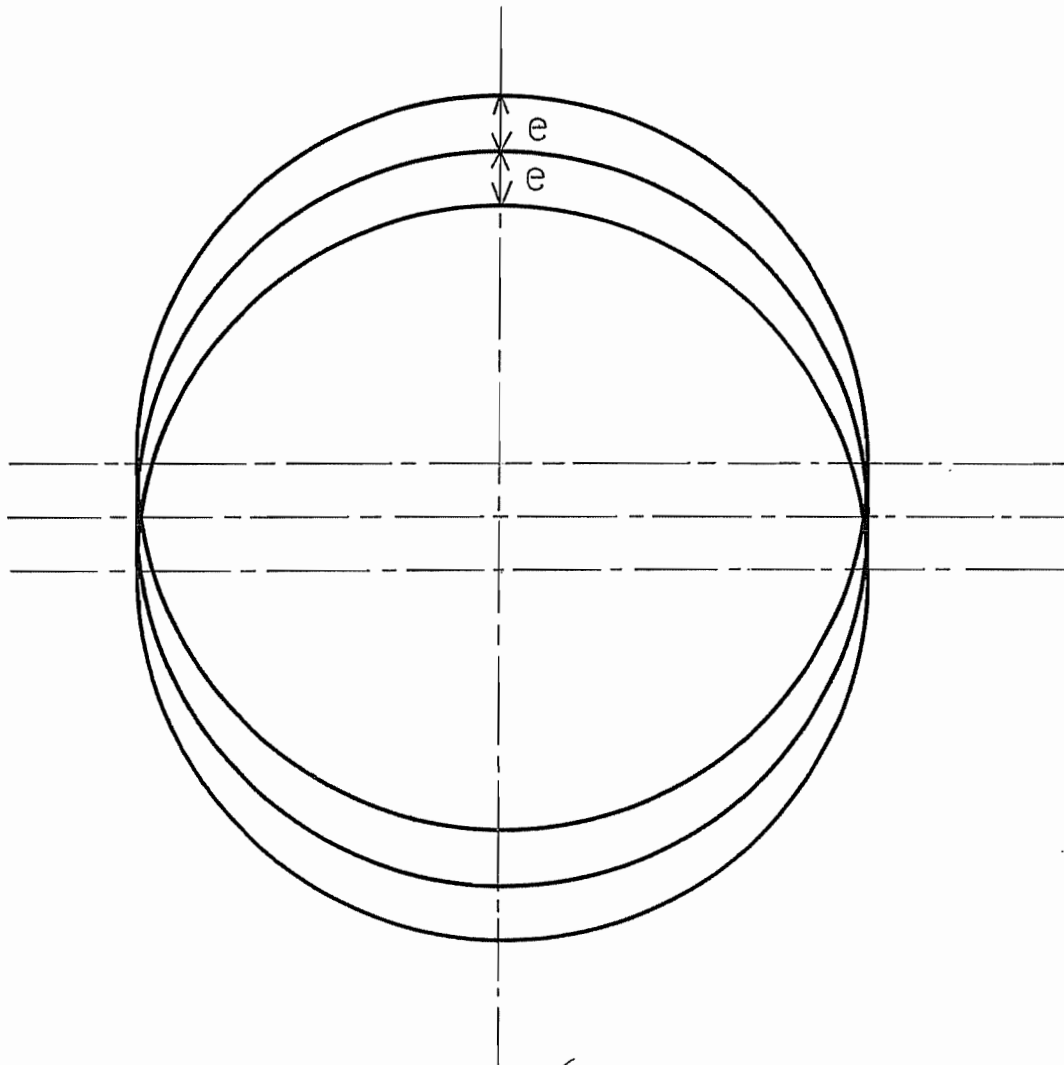
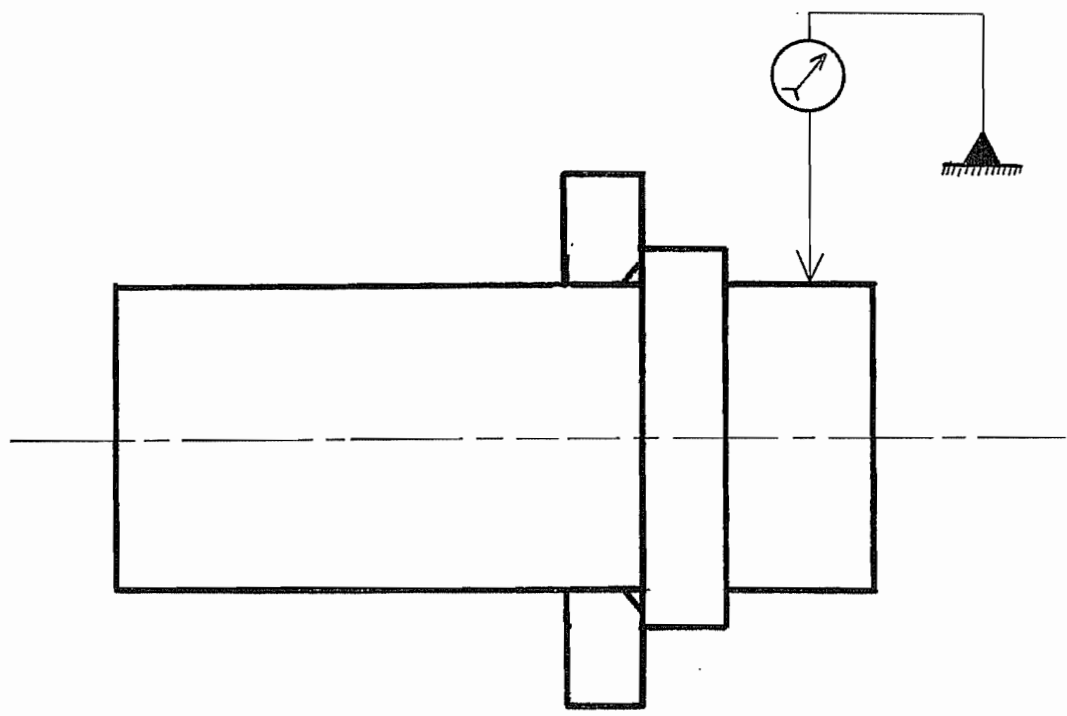
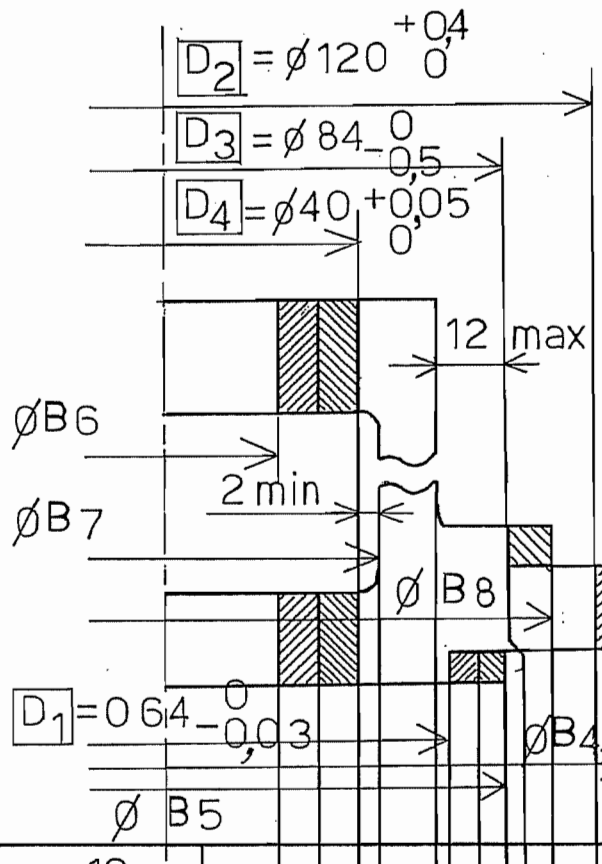


Fig. 48

COTES RADIALES

Fig. 49



D_1	\odot	$\phi 1,5$	B_1
D_2	\odot	$\phi 0,5$	D_1
D_3	\odot	$\phi 0,5$	D_1
D_4	\perp	$0,05$	F_2
D_4	\odot	$\phi 0,05$	D_1

$$C_{pm} = \begin{cases} 0,5 \text{ finition} \\ 2 \text{ dégrossissage} \end{cases}$$

$$IT = \begin{cases} 0,8 \text{ dégrossissage} \\ 0,2 \text{ finition} \end{cases}$$

 D1 $\odot \phi 1,5 B_1$

$$U_1 = 0 \pm 0,75$$

Note directe

$$C_p \quad C_{pm} = \frac{1}{2} B_{4m} + U_{1m} - \frac{1}{2} U_{2M} = 2 \quad (\text{part du brut}) \quad U_2 = 120^{+0,4}_0$$

$$B_{4m} = 4 - 2 (-0,75) + 120,4 = 125,9$$

$$B_4 = 125,9 \text{ min}$$

$$C_{pm} = \frac{1}{2} B_{5m} + U_{1m} - \frac{1}{2} U_{3M} = 2$$

$$= \frac{1}{2} B_{5m} - 0,75 - \frac{1}{2} U_{3M} = 2$$

$$IT(U_3) = 0,8$$

$$C_{pm} = \frac{1}{2} U_{3m} - \frac{1}{2} U_{4M} = 0,5$$

$$U_{3m} = U_{4M} + 1 = 65$$

$$U_4 = 64^{+0,4}_0$$

$$\text{Calcul: } U_{3M} = 65 + 0,8 = 65,8$$

$$U_3 = 65^{+0,8}_0$$

$$B_{5m} = 1,5 + U_{3M} + 4 = 1,5 + 65,8 + 4 = 71,3$$

$$B_5 = 71,3 \text{ min}$$

 U1 $\leftarrow \frac{B_6}{2} \rightarrow C_p$
 $\frac{1}{2} U_5 \rightarrow$

$$C_{pm} = \frac{1}{2} U_{5m} - U_{1m} - \frac{1}{2} B_{6M} = 2$$

$$IT(U_5) = 0,8$$

 $\leftarrow \frac{1}{2} U_5 \rightarrow C_p$
 $\frac{1}{2} U_6 \rightarrow$

$$C_{pm} = \frac{1}{2} U_{6m} - \frac{1}{2} U_{5M} = 0,5$$

$$U_6 = 40^{+0,05}_0$$

$$\text{Calcul: } U_{5M} = U_{6m} - 1 = 40 - 1 = 39$$

$$U_5 = 39^{+0}_{-0,8}$$

$$B_{6M} = U_{5m} - 2 U_{1m} - 4 = 38,2 - 2 (-0,75) - 4 = 32,7$$

$$B_6 = 32,7 \text{ max}$$

 U1 $\leftarrow \frac{U_6}{2} \rightarrow X$
 Axe du tour $\leftarrow B_1 \rightarrow$
 Axe $\leftarrow B_7 \rightarrow$

$$x_m = 2$$

$$x_m = \frac{1}{2} B_{7m} + U_{1m} - \frac{1}{2} U_{6M}$$

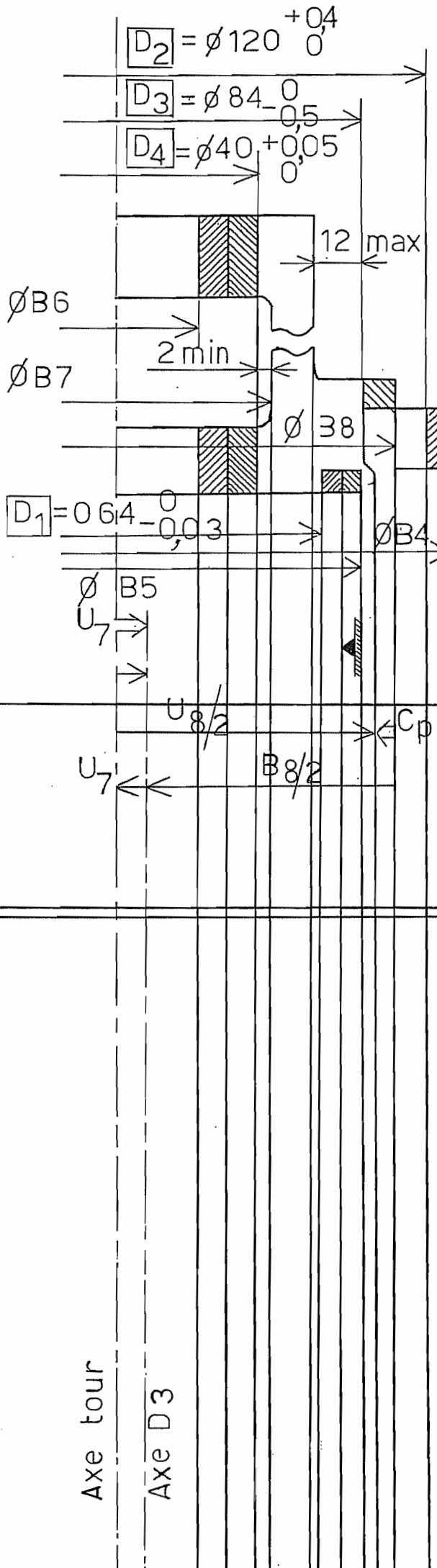
$$B_{7m} = 2 x_m - 2 U_{1m} + U_{6M} = 4 - 2 (-0,75) + 40,05 = 45,55$$

$$B_7 = 45,55 \text{ min}$$

COTES RADIALES

suite

Fig. 50



D_1	(○)	$\phi 1,5$	B_1
D_2	(○)	$\phi 0,5$	D_1
D_3	(○)	$\phi 0,5$	D_1
D_4	(⊥)	0,05	F_2
D_4	(○)	$\phi 0,05$	D_1

$$C_{pm} = \begin{cases} 0,5 \text{ finition} \\ 2 \text{ dégrossissage} \end{cases}$$

$$D_3 \text{ (○) } 0,05 \text{ } D_1 \text{ I.T.} = \begin{cases} 0,2 \text{ finition} \\ 0,8 \text{ dégrossissage} \end{cases}$$

$$U_7 = 0 \pm 0,25 \quad \text{Cote directe}$$

$$U_8 = 84^0_{-0,5}$$

$$C_{pm} = \frac{1}{2} B_{8m} + U_{7m} - \frac{1}{2} U_{8M} = 2$$

$$B_{8m} = 4 - 2 U_{7m} + U_{8M} = 4 - 2(-0,25) + 84 = 88,5$$

Mais assuré par le brut B_4 ...

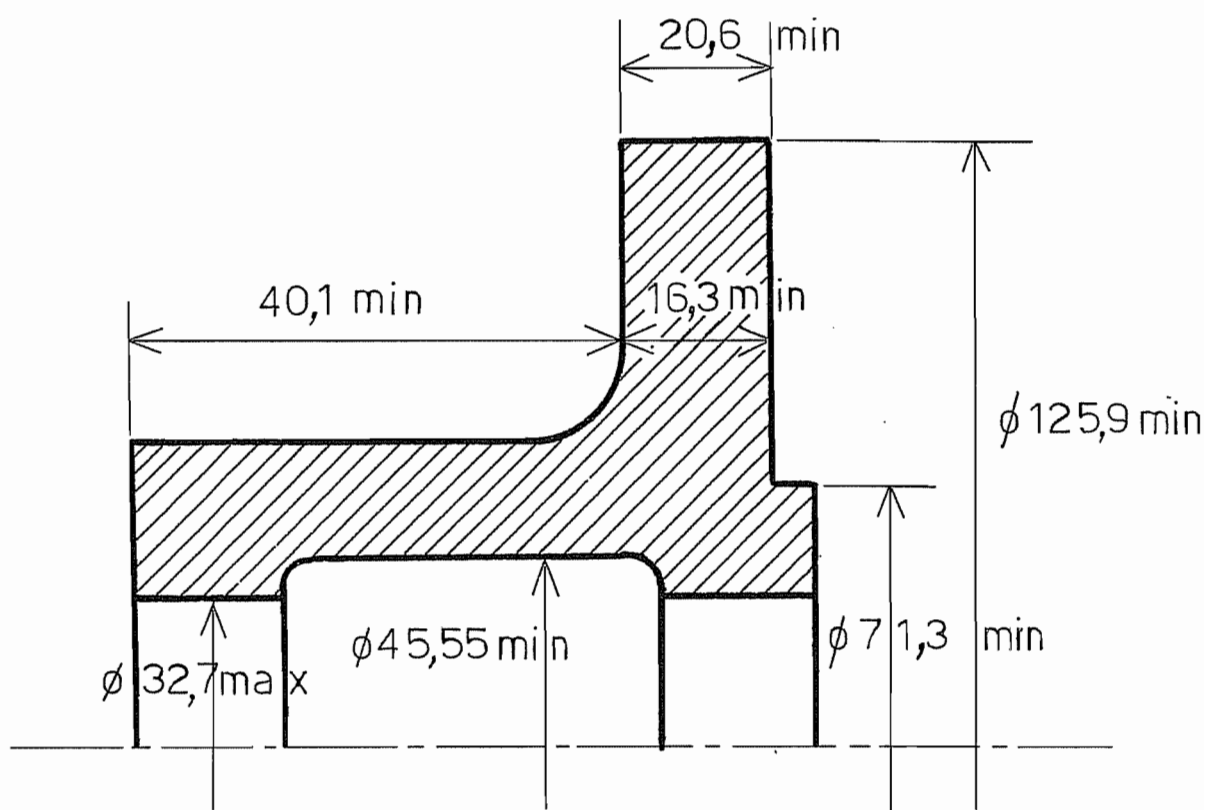


Fig. 51

Chapitre 3

Contraintes résiduelles

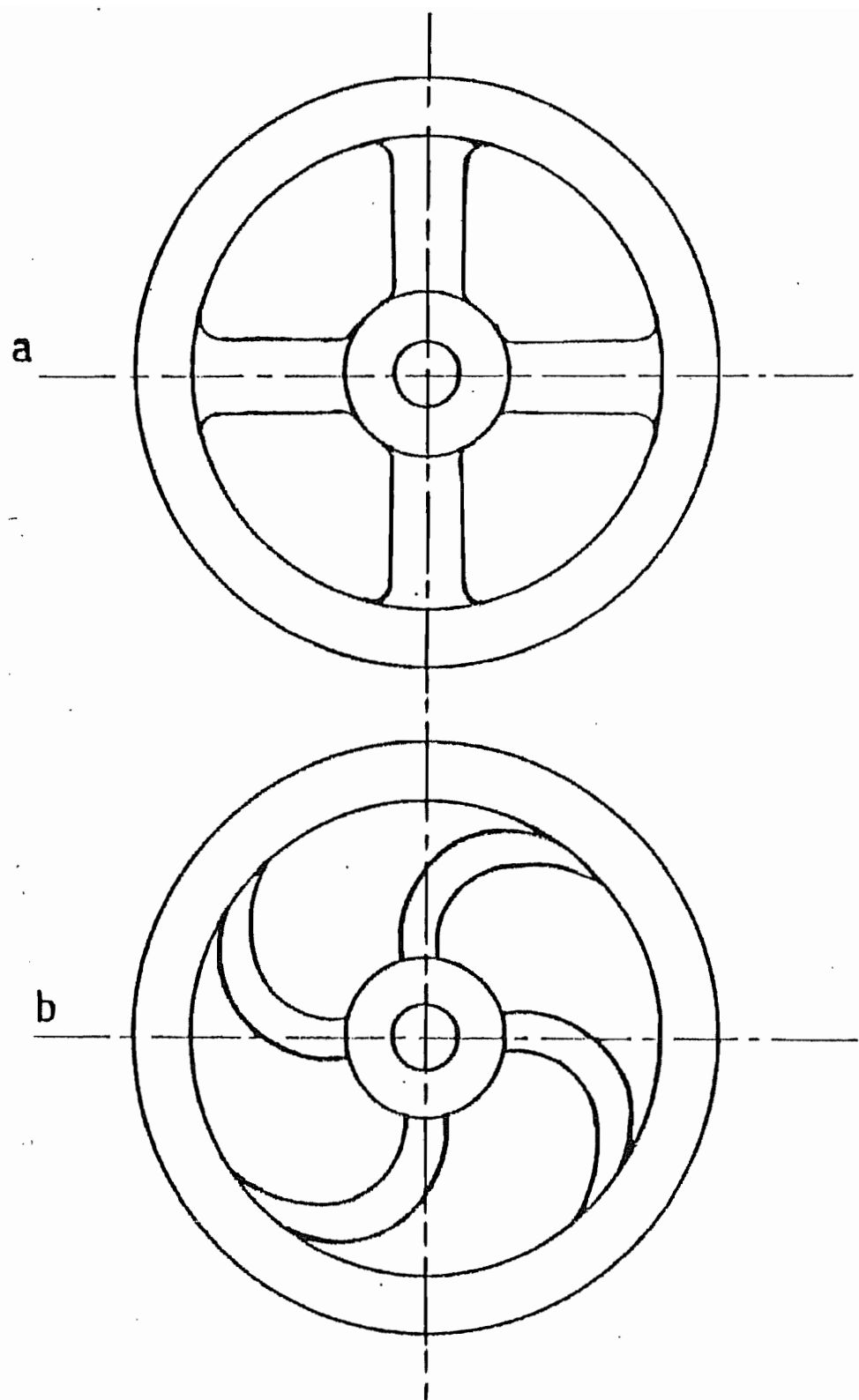


Fig. 1

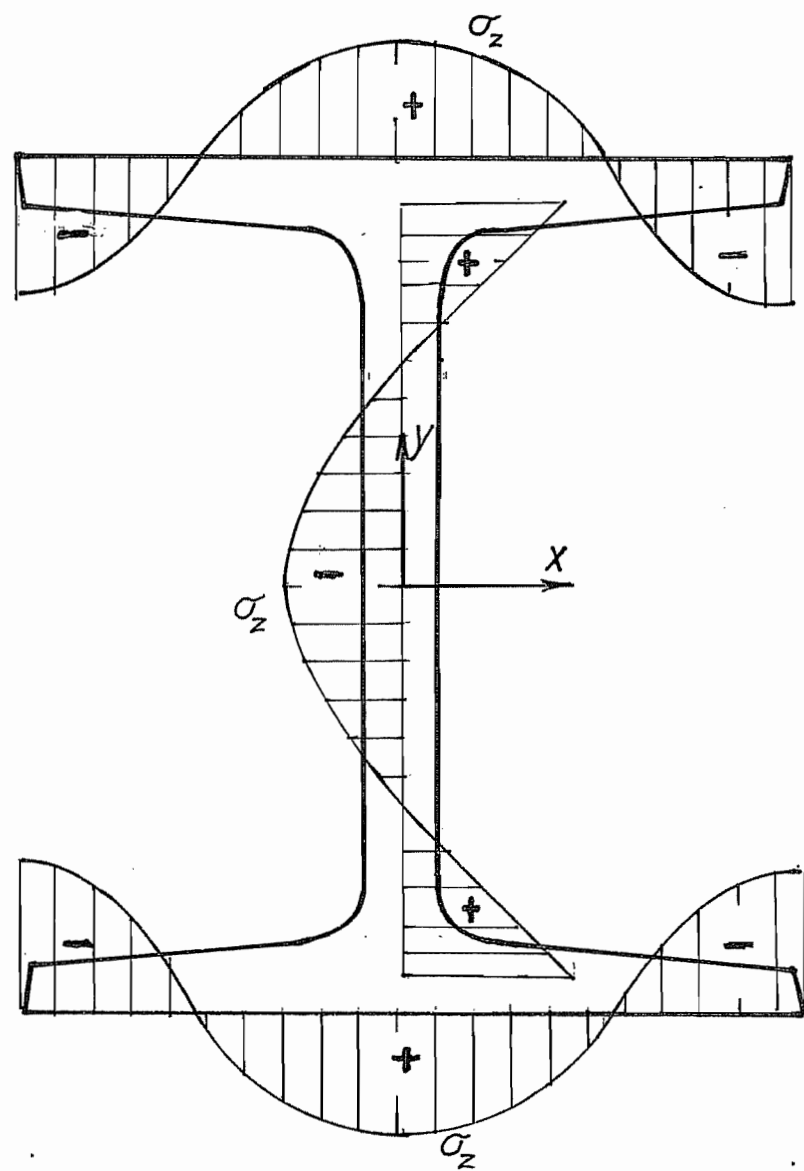


Fig. 2

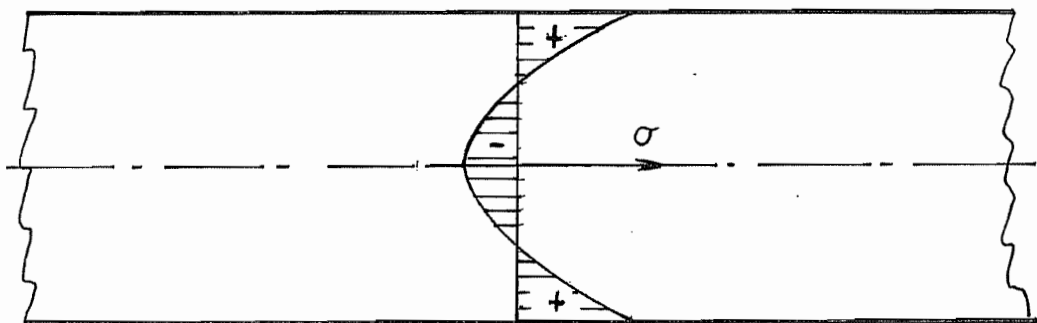


Fig. 3

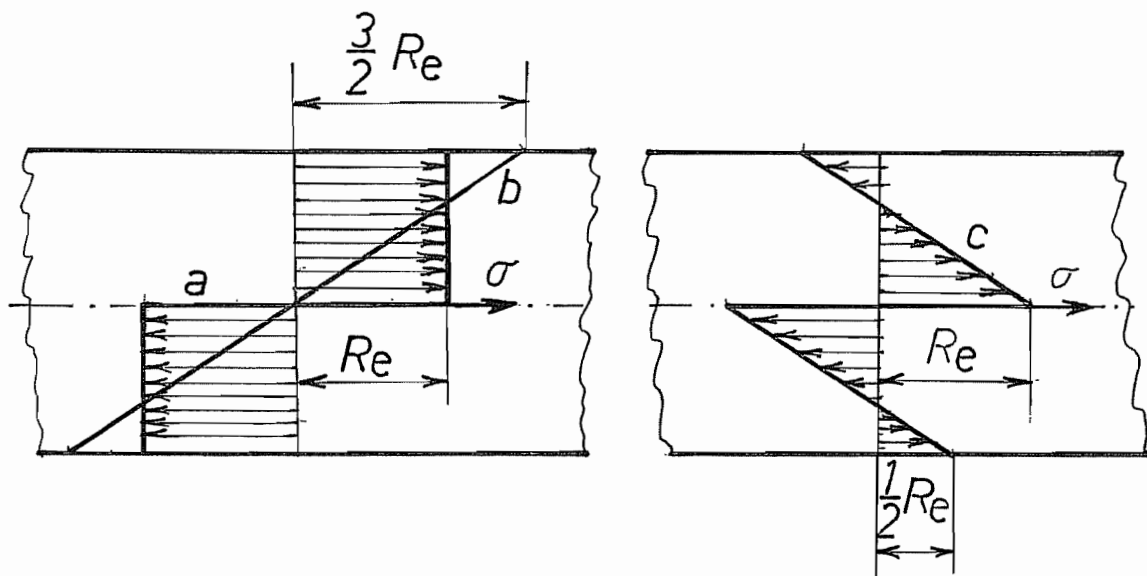


Fig. 4

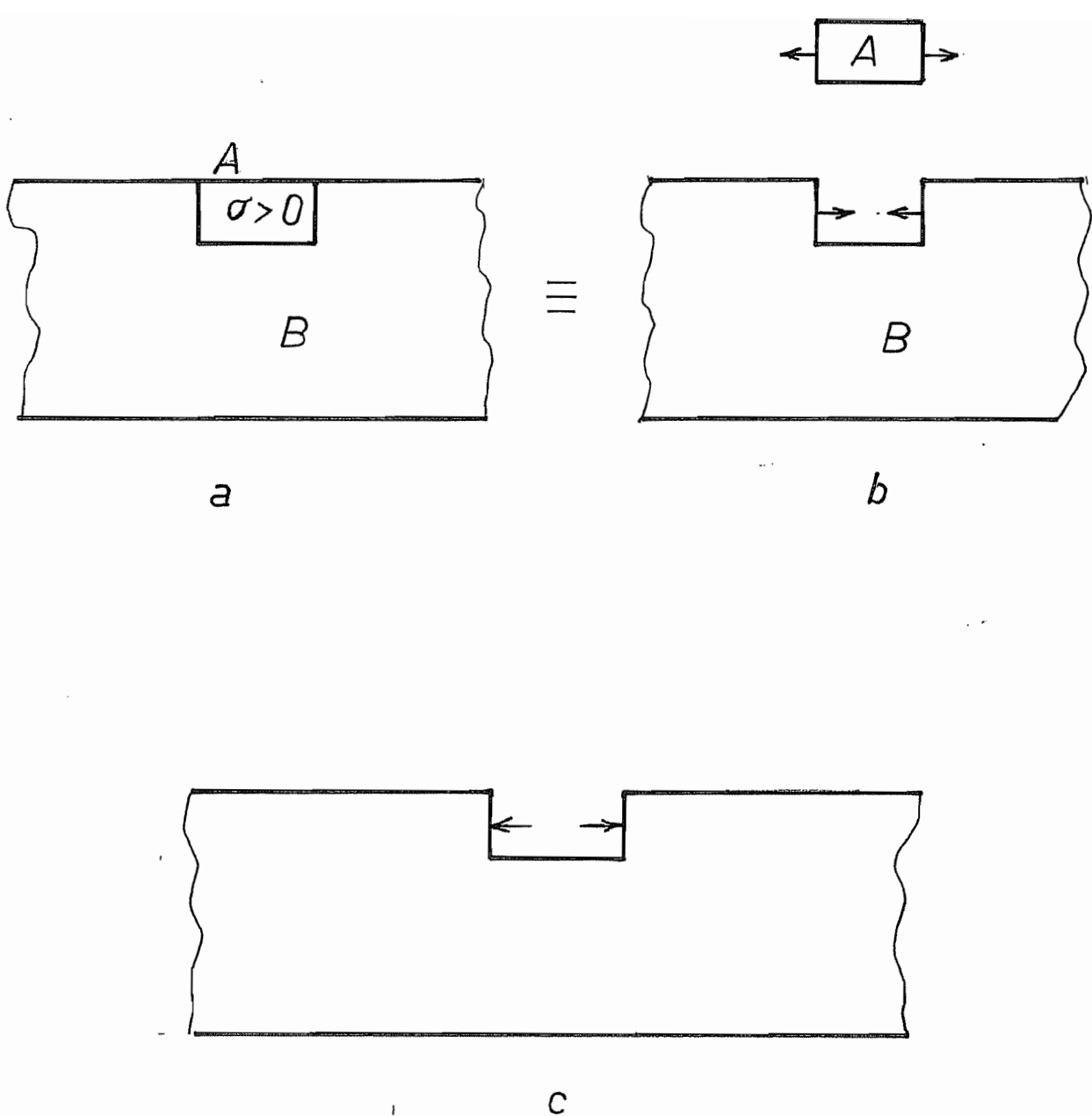


Fig. 5

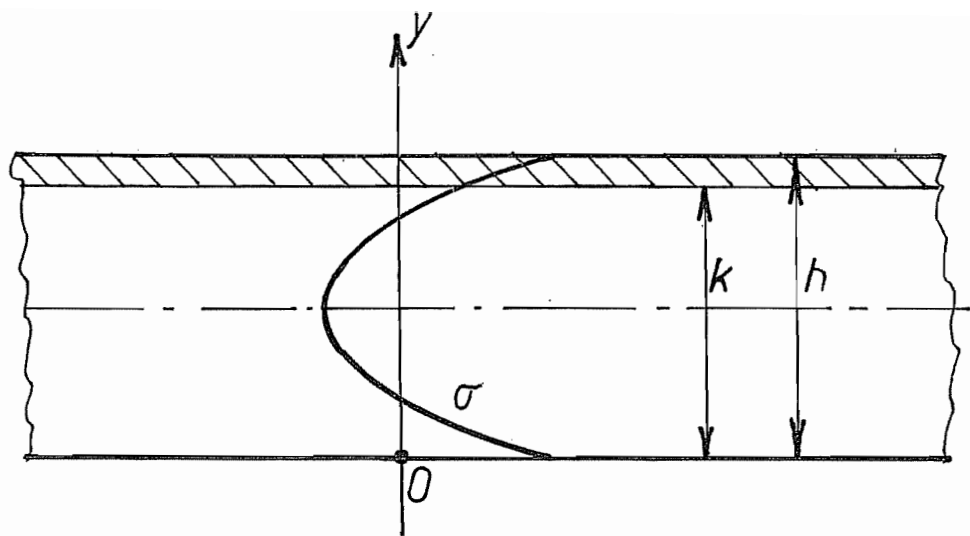


Fig. 6

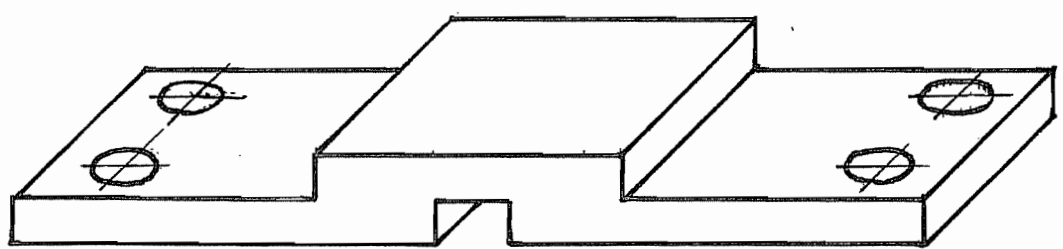


Fig. 7

Chapitre 4

Ablocage des pièces

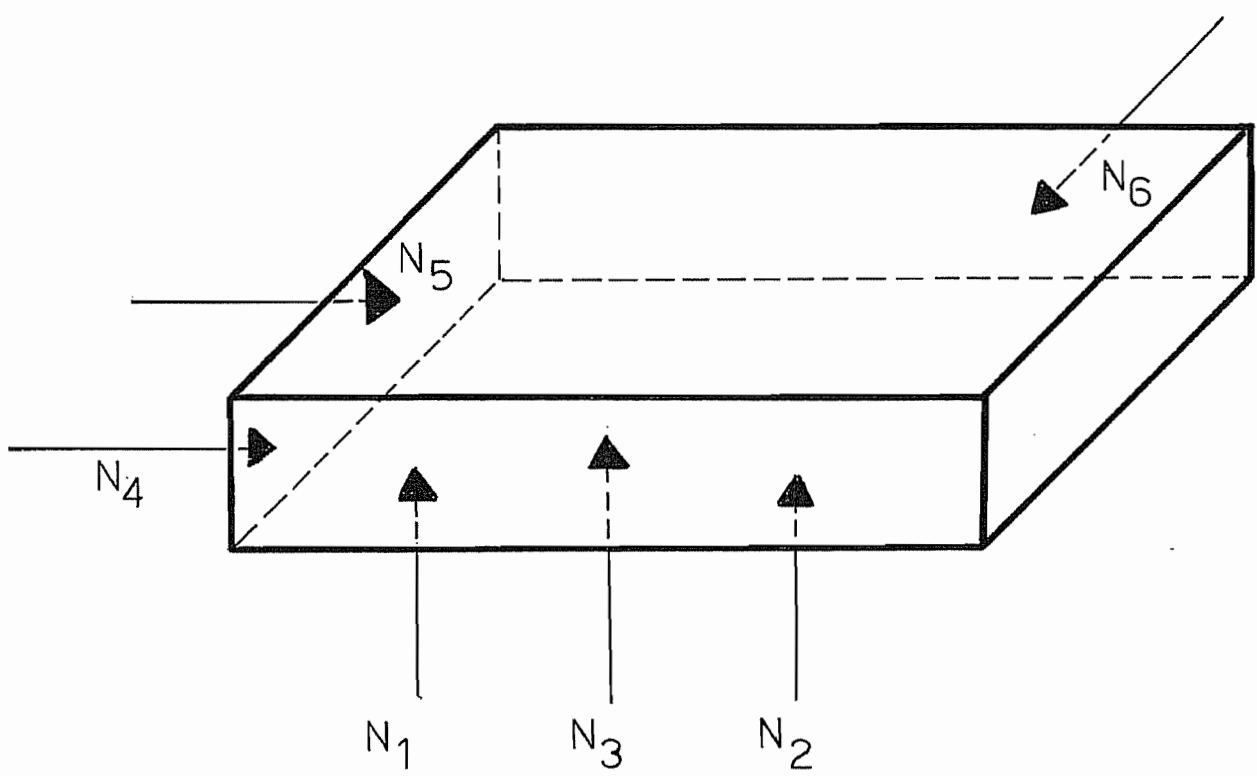


Fig 1

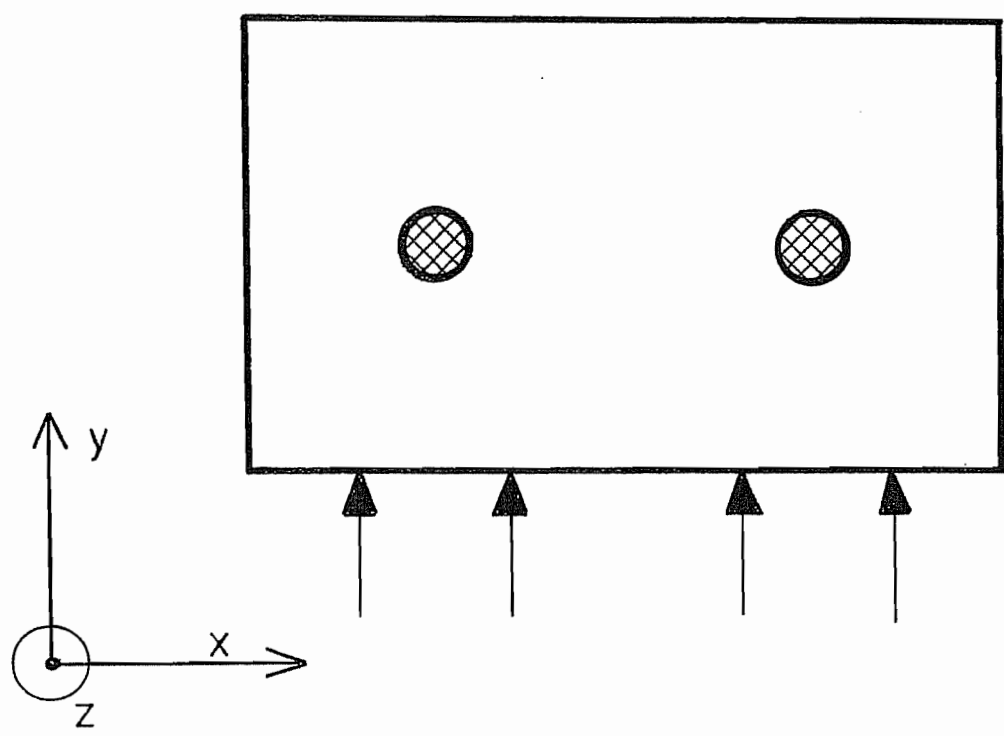


Fig 2

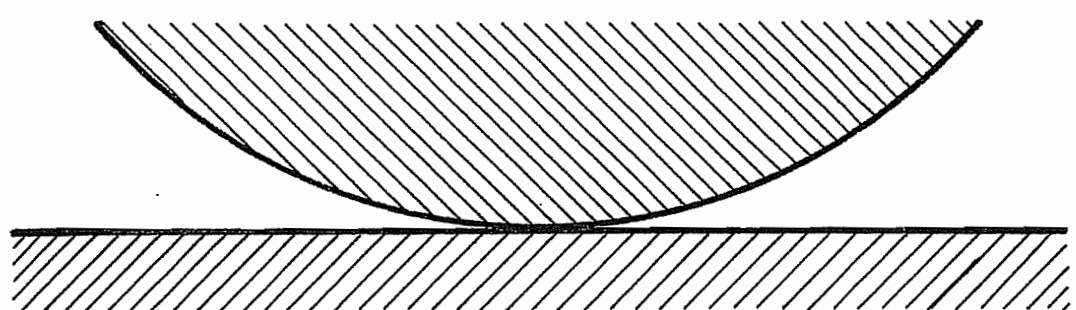
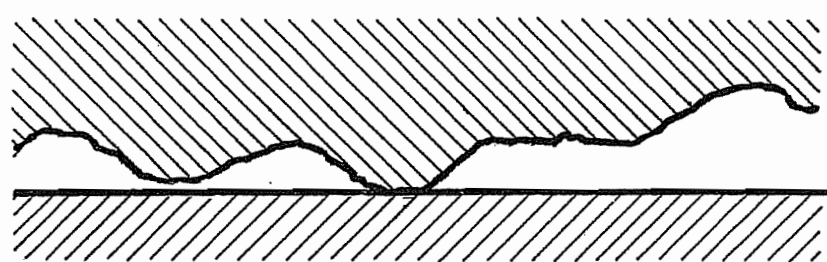


Fig 3

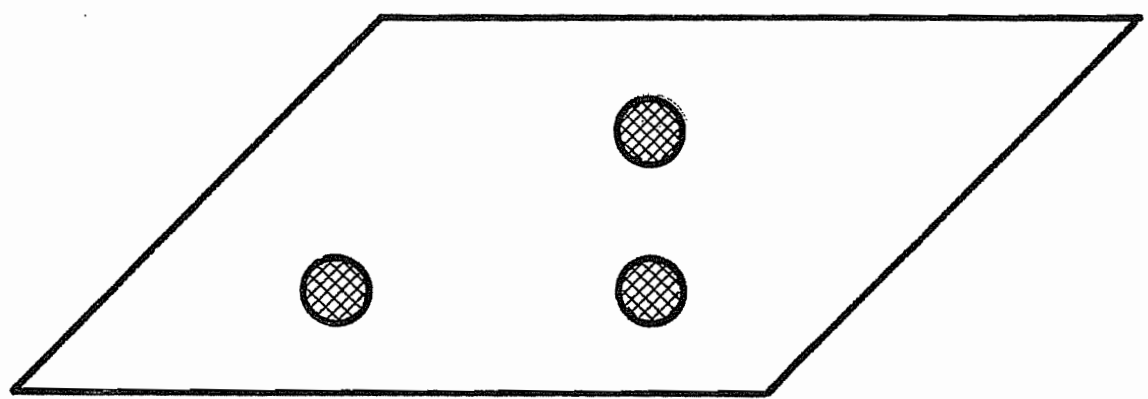


Fig 4

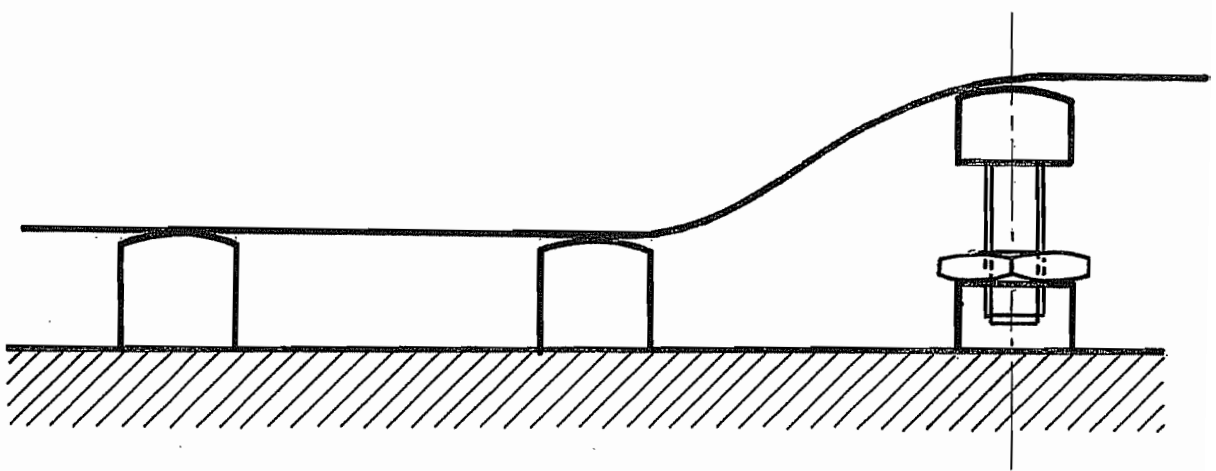


Fig 5

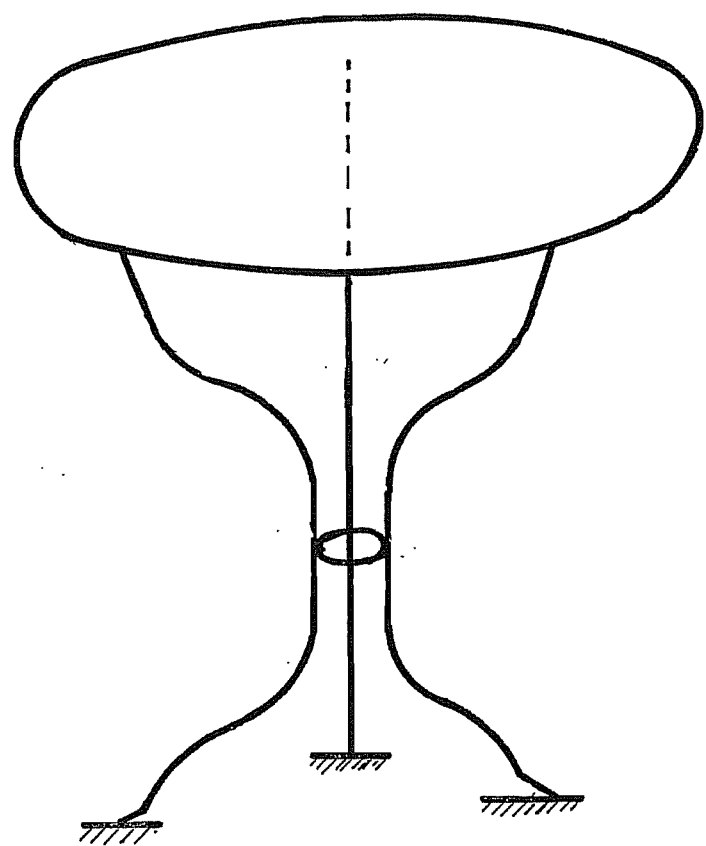


Fig 6

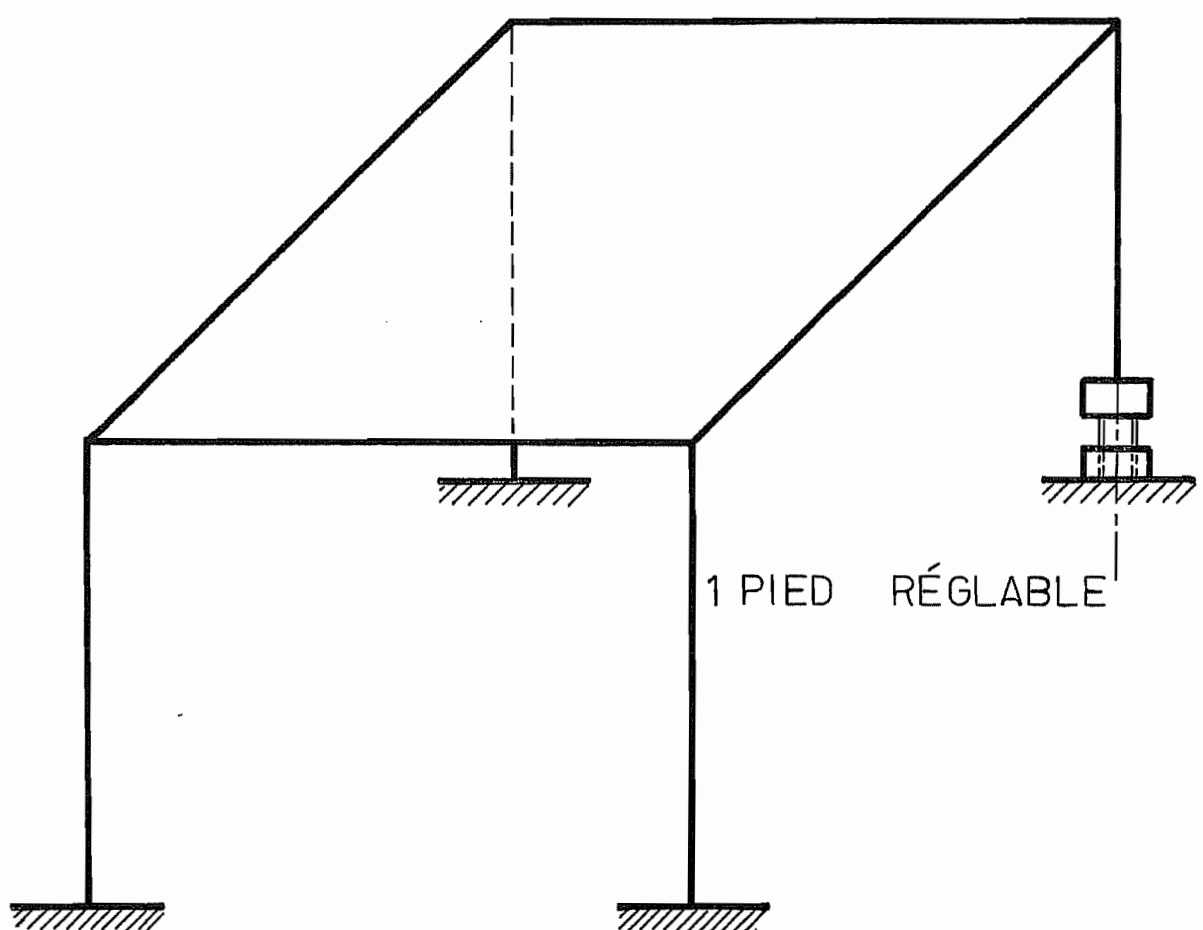


Fig 7

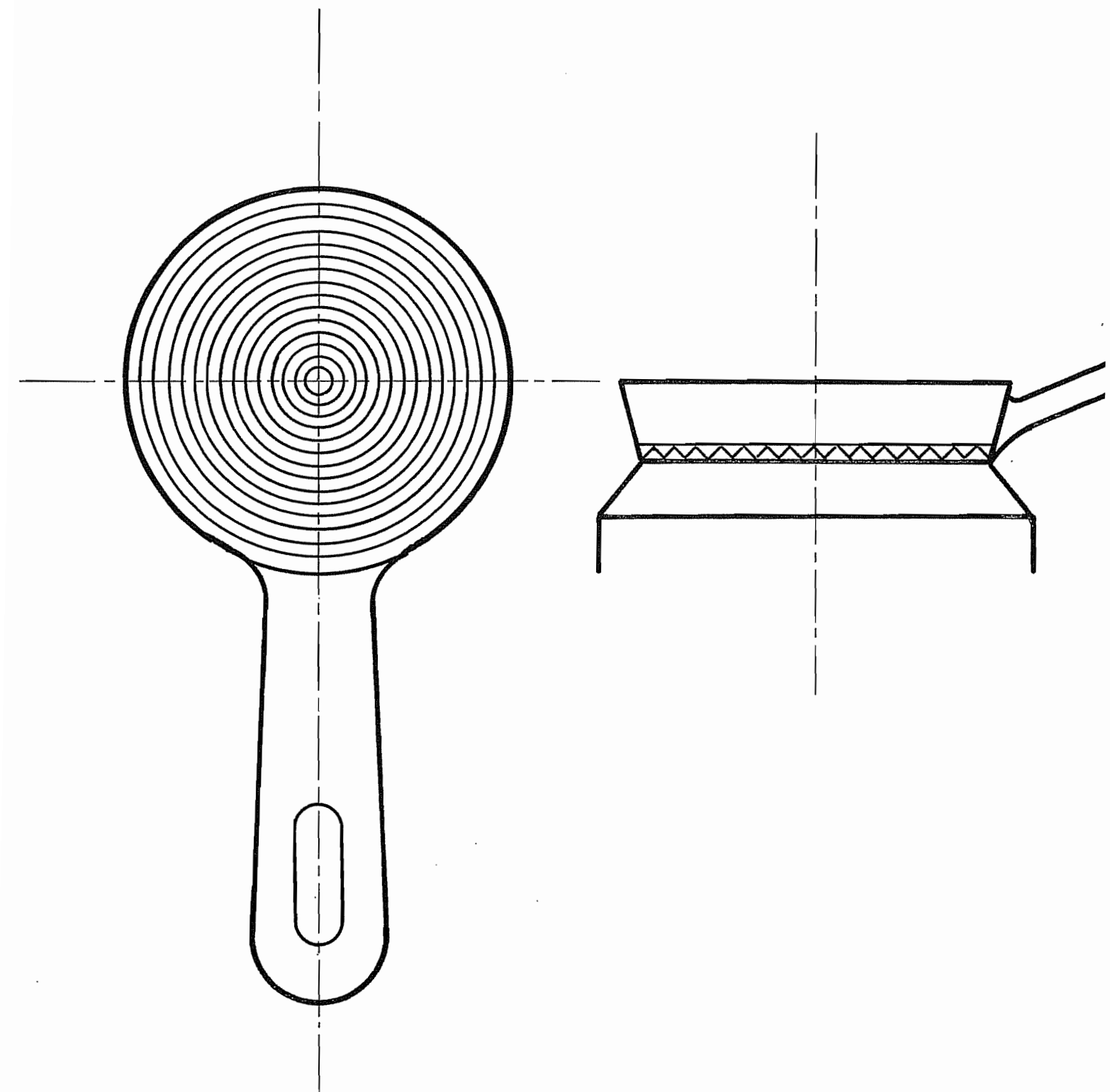


Fig 8

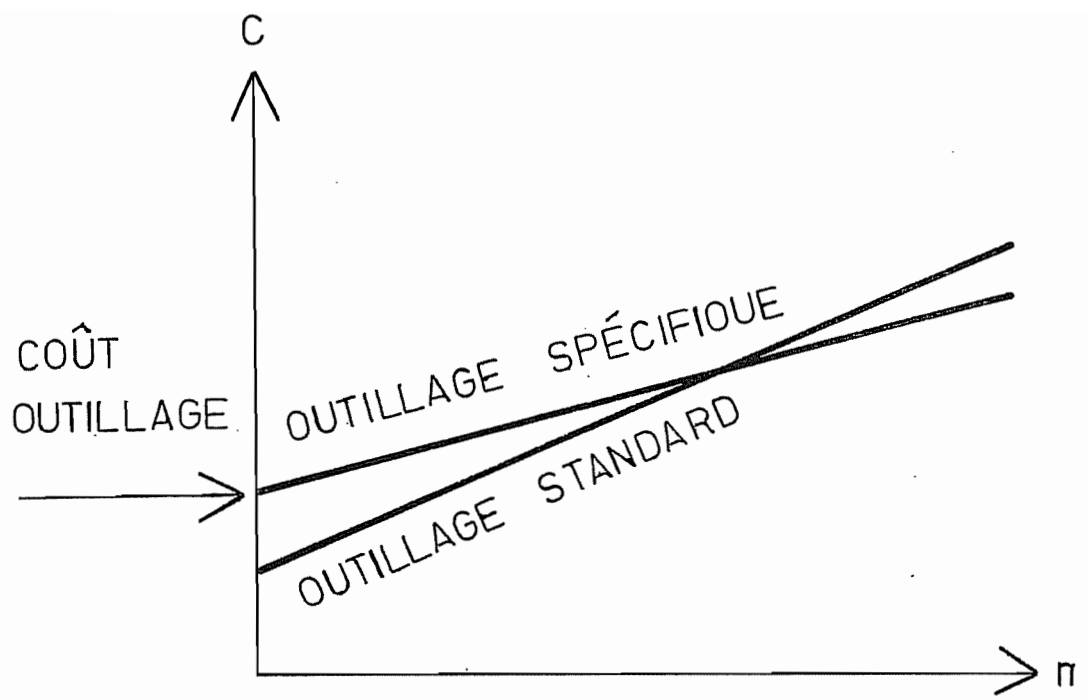


Fig 9

BORNES

BORNES FIXE - BORNE DÉMONTABLE - BORNE RÉGLABLE

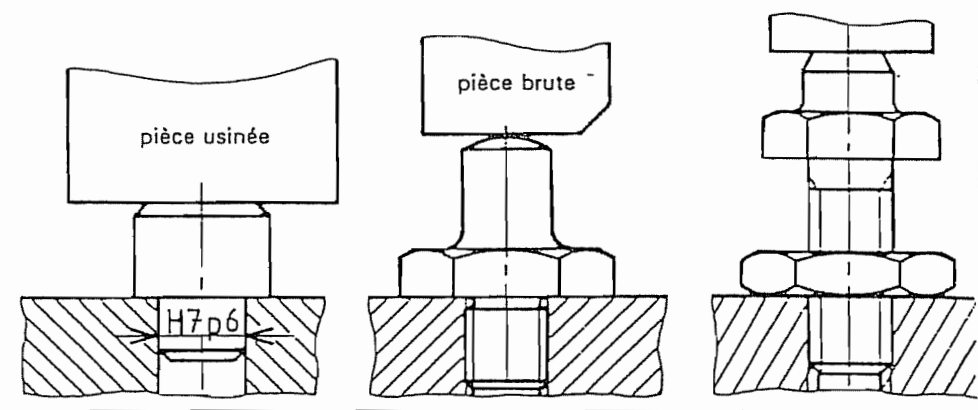
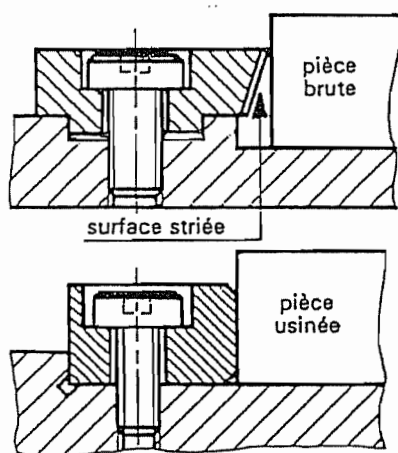


Fig 10

BUTÉES

BUTÉES FIXES



BUTÉE PALONNÉE

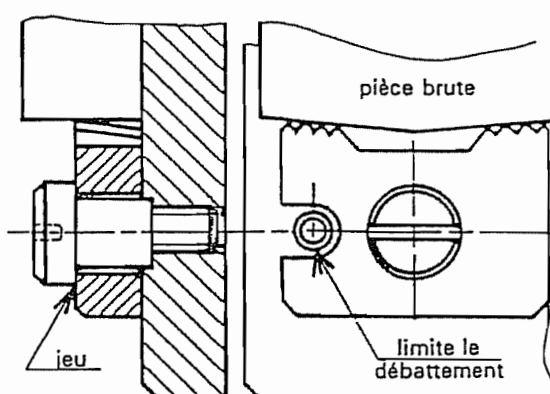
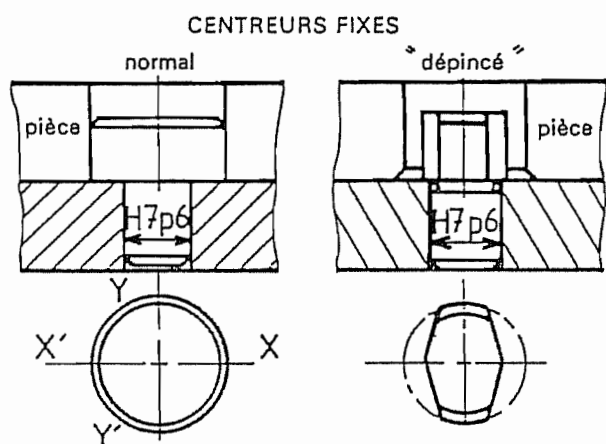


Fig 11

CENTREURS

CENTREURS FIXES



CENTREURS DÉMONTABLE

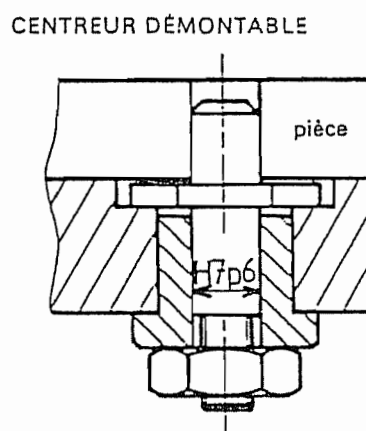


Fig 12

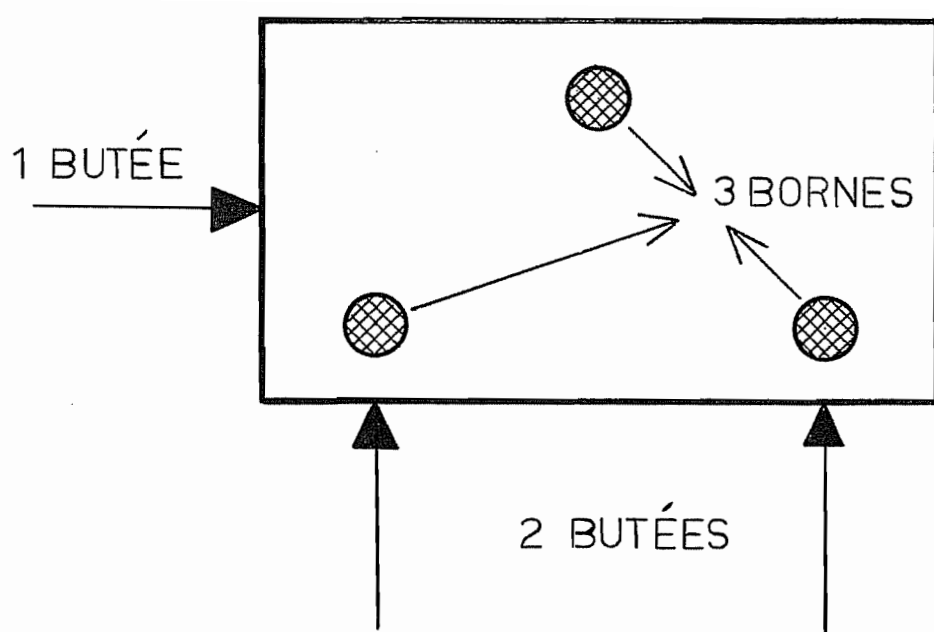
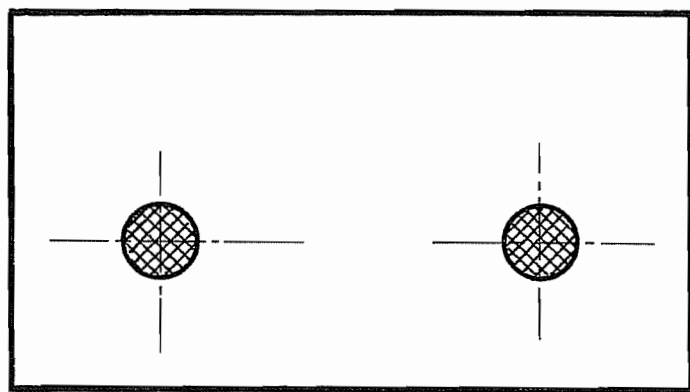


Fig 12 bis



HYPERSTATIQUE

Fig 13

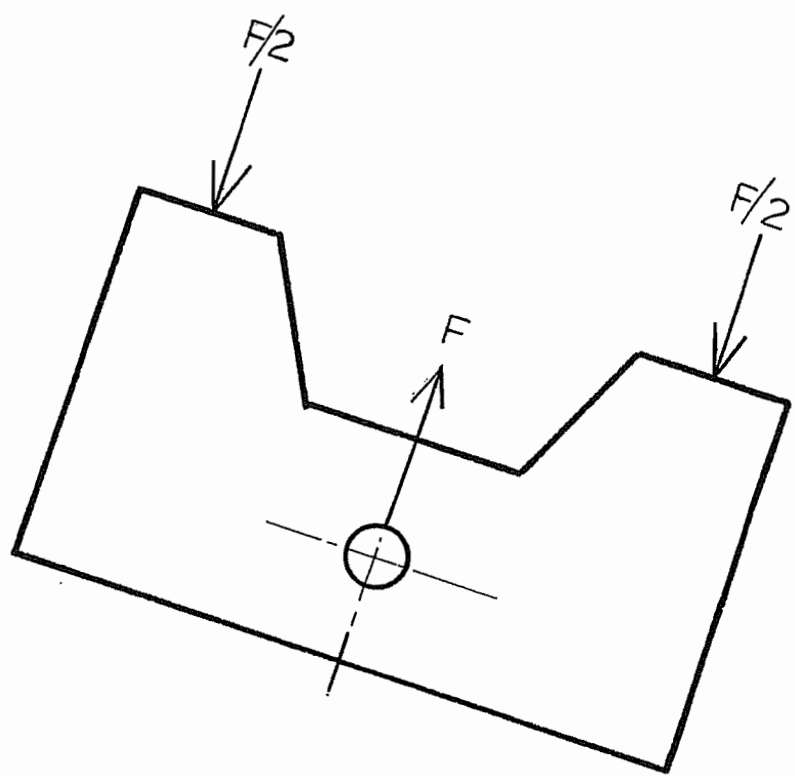
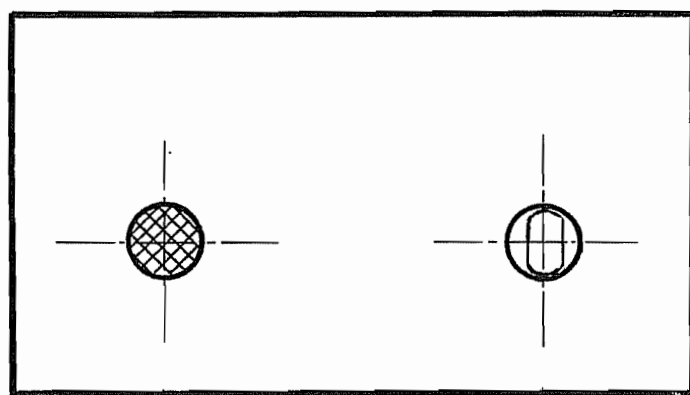
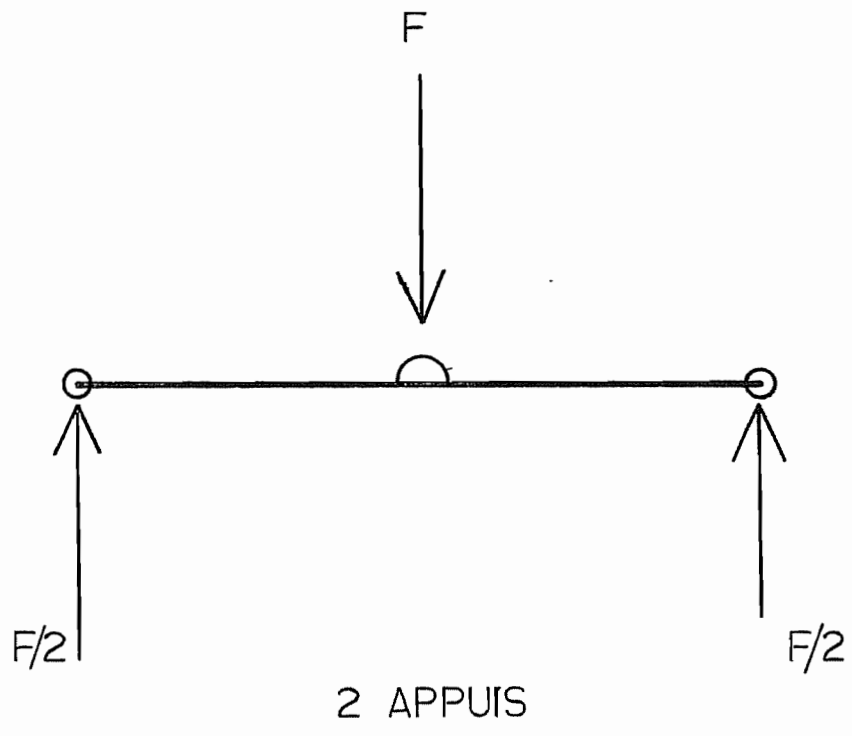


Fig 13 bis



BUTÉE DÉPINCÉE

Fig 14



2 APPUIS

Fig 15

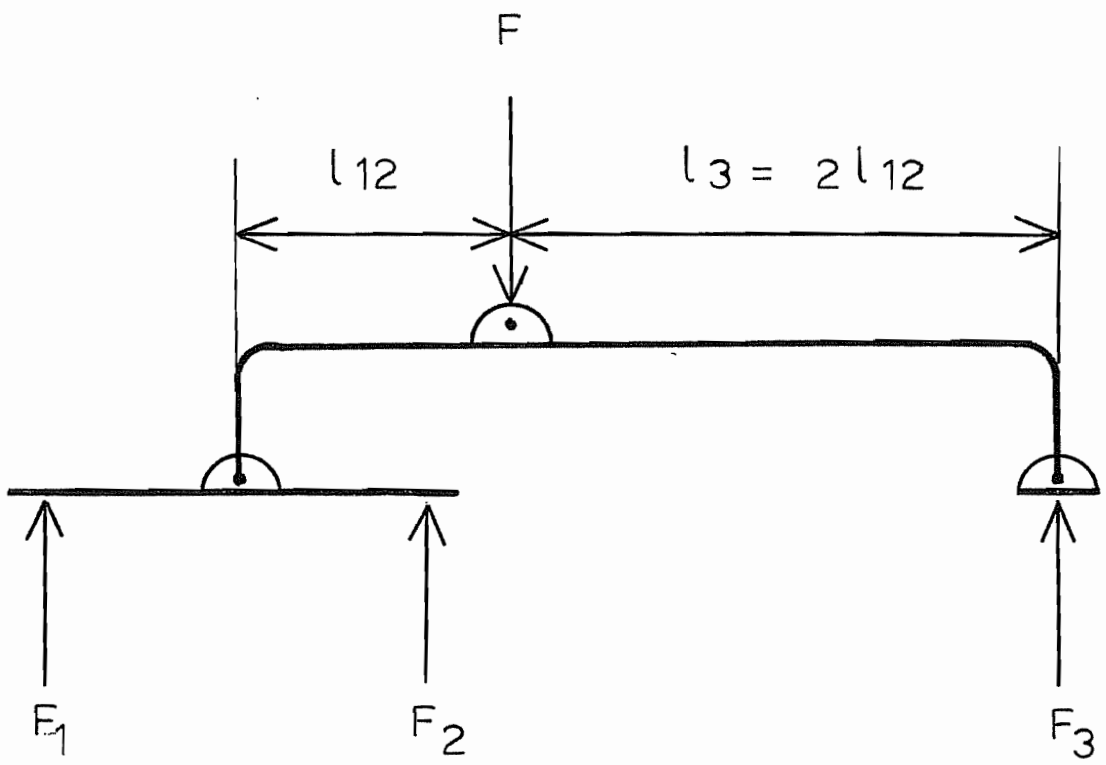


Fig 16

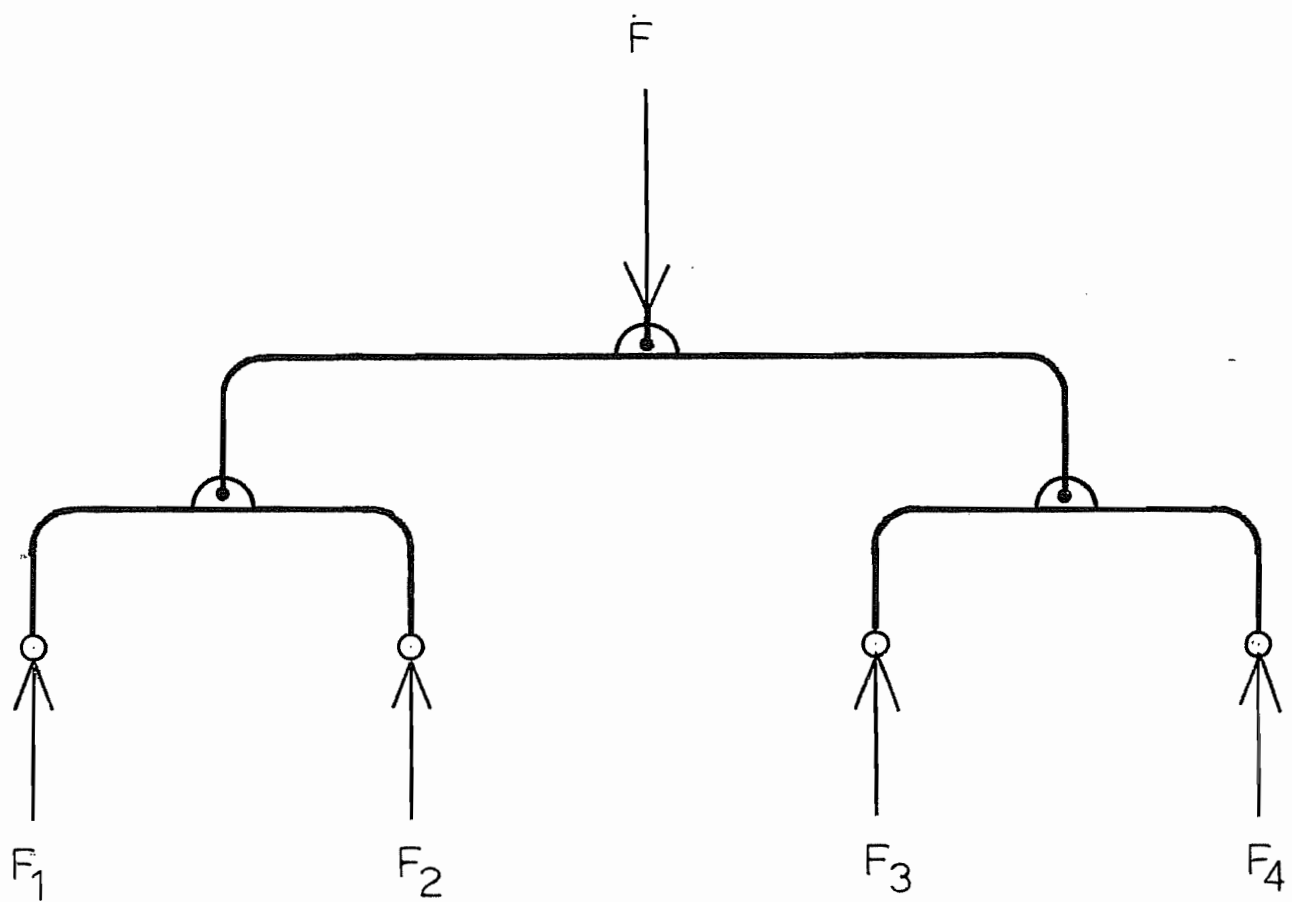


Fig 17

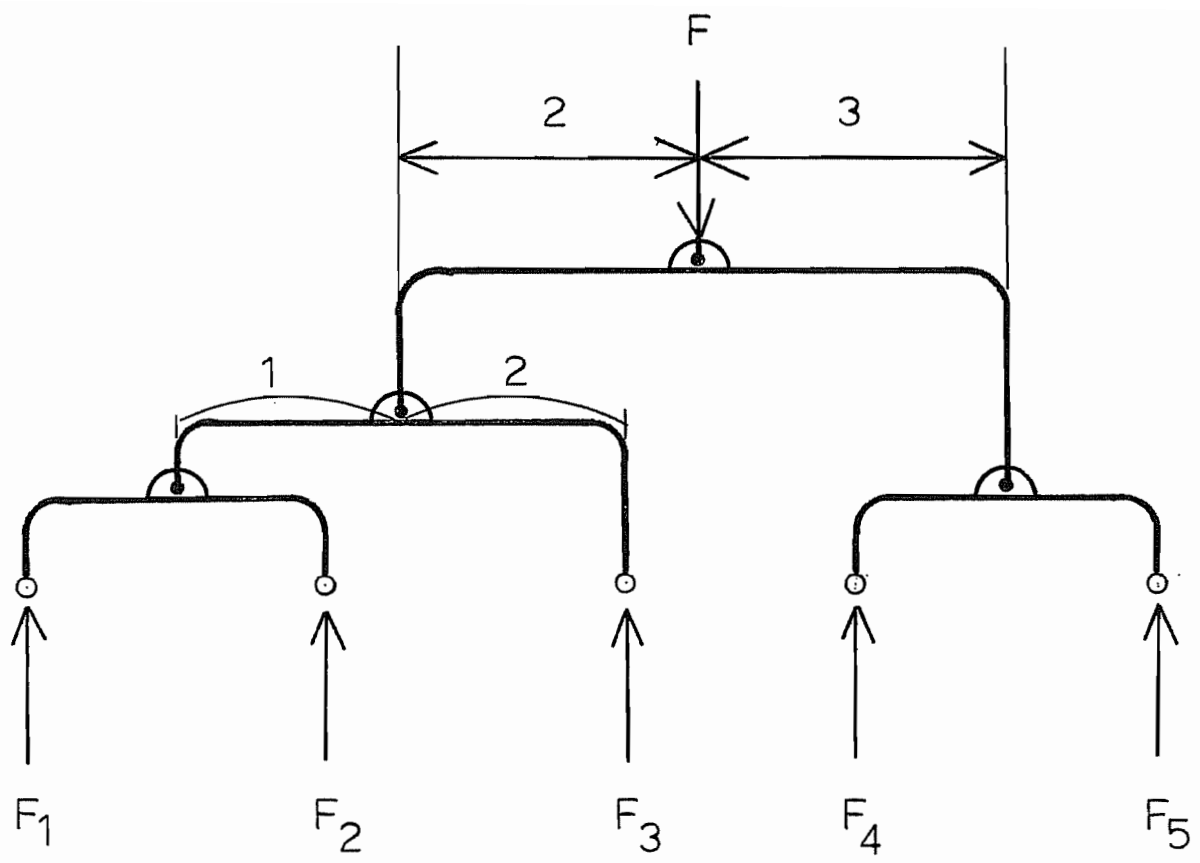


Fig 18

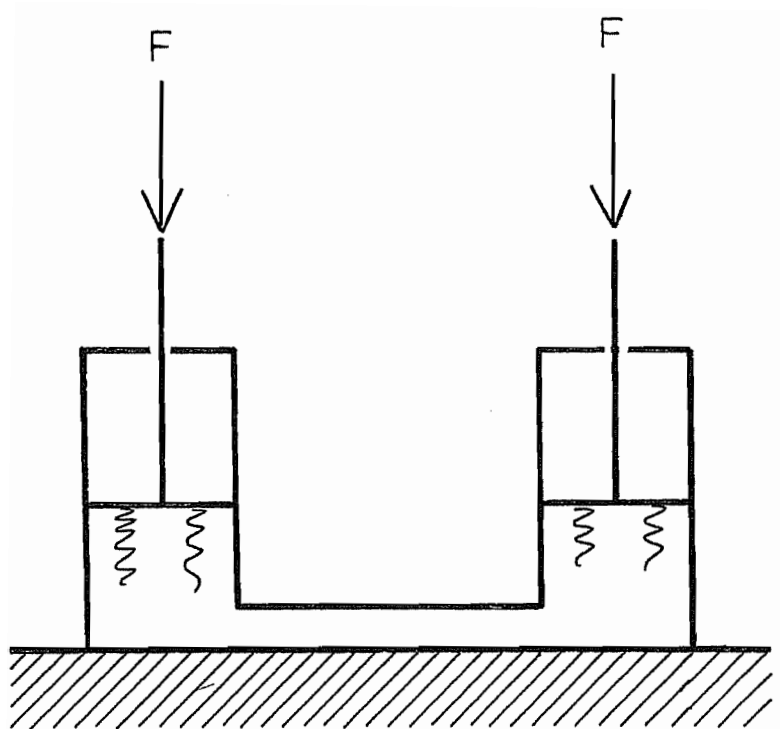


Fig 19

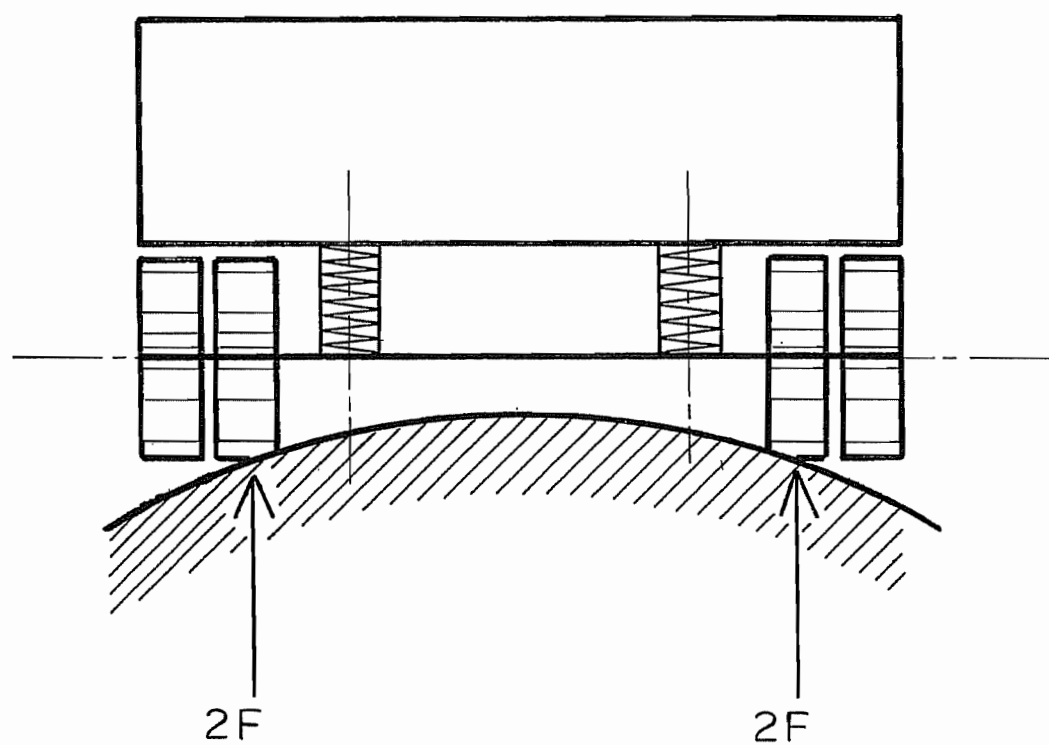


Fig 20

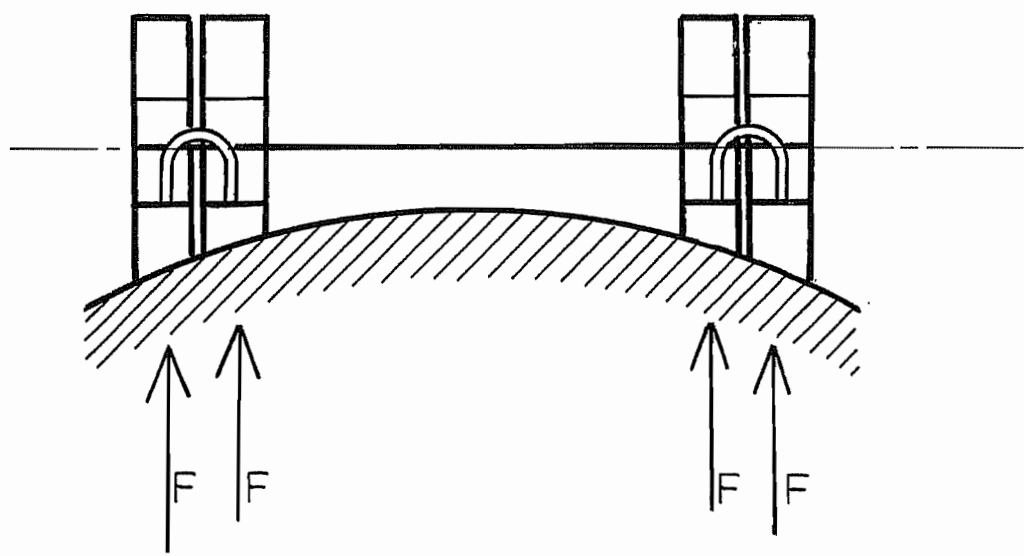


Fig 21

PALONNIER

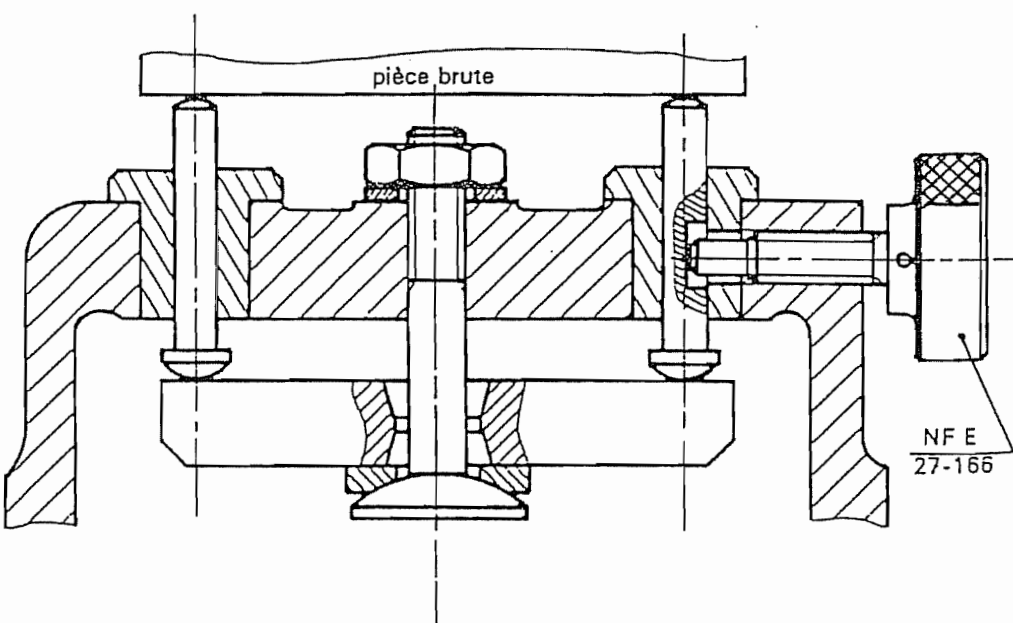
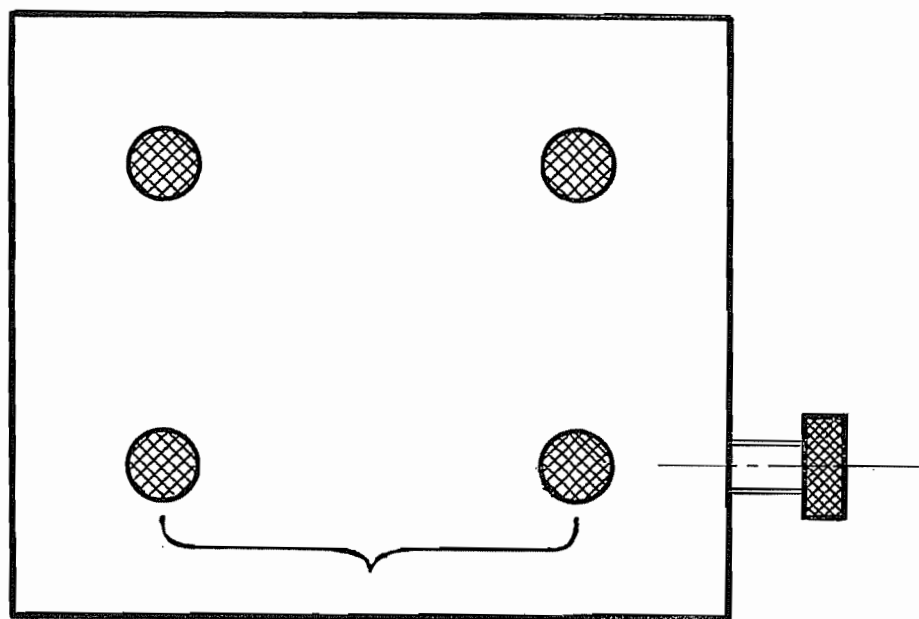


Fig 22



PALONNÉ PUIS FIXÉ

Fig 23

APPUI SENSITIF

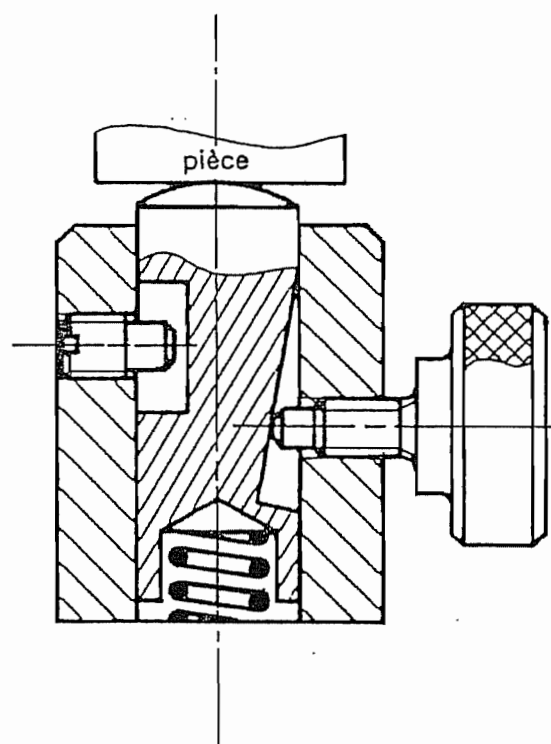


Fig 24

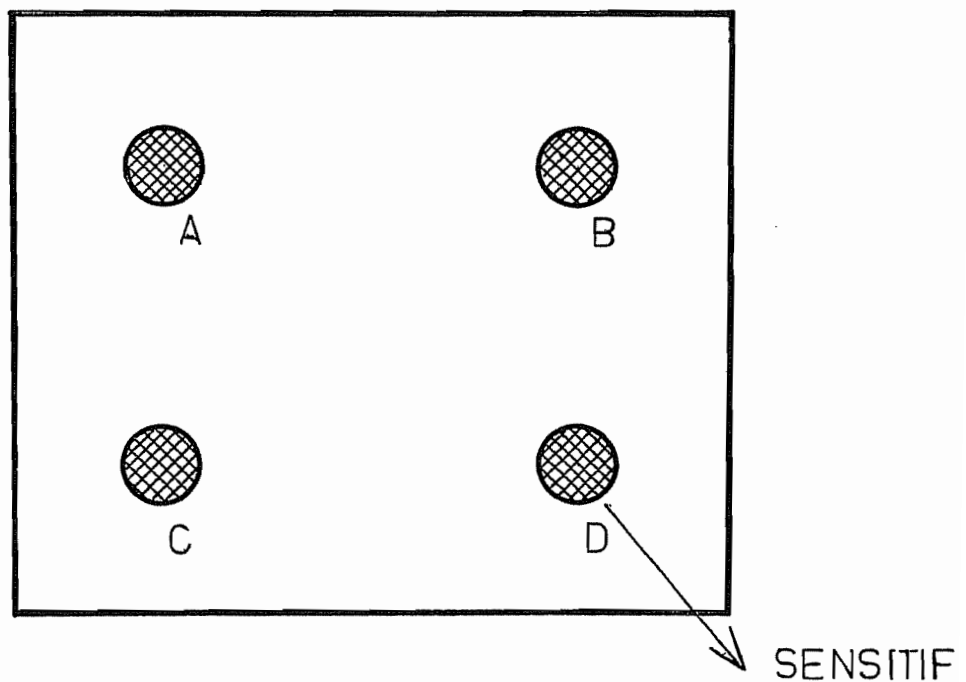


Fig 25

DÉTROMPEUR

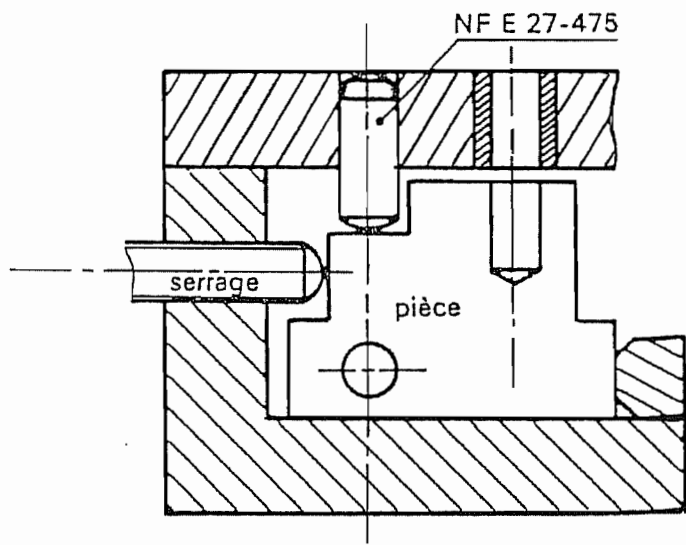
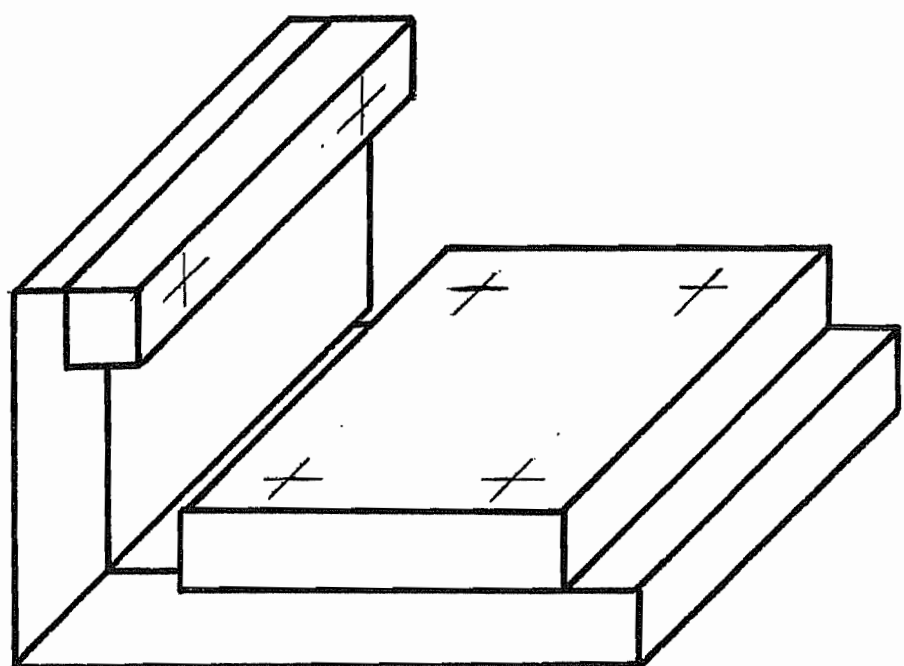
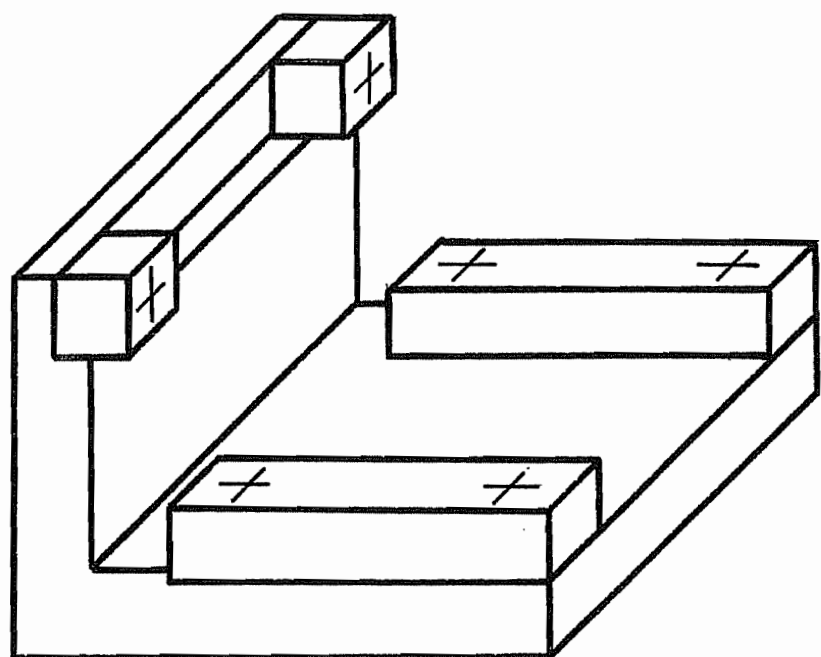


Fig 26



APPUI PLAN-TRAIT POUR SURFACES USINÉES

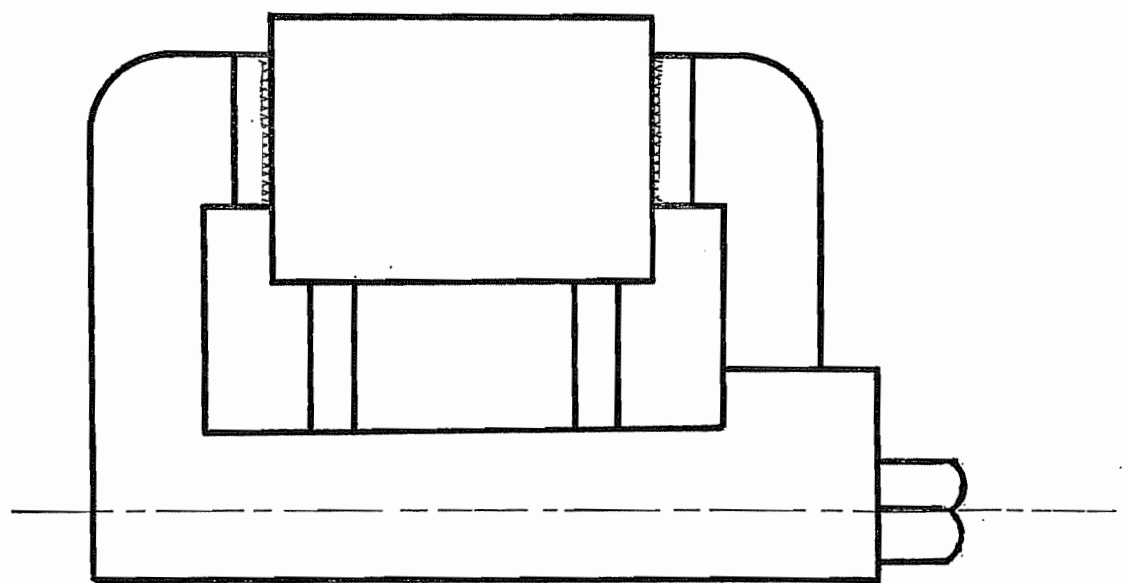
Fig 27



IDE^M, AVEC RÉGLETTES

MOINS HYPERSTATIONNAIRE

Fig 28



PRISE EN ÉTAU SUR DEUX RÉGLETTES
RECTIFIÉES

Fig 29

MONTAGE ENTRE POINTES

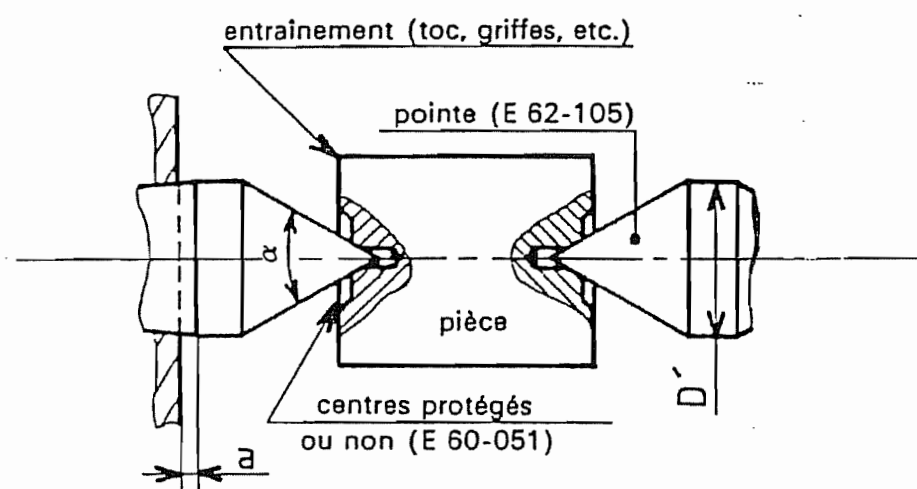


Fig 30

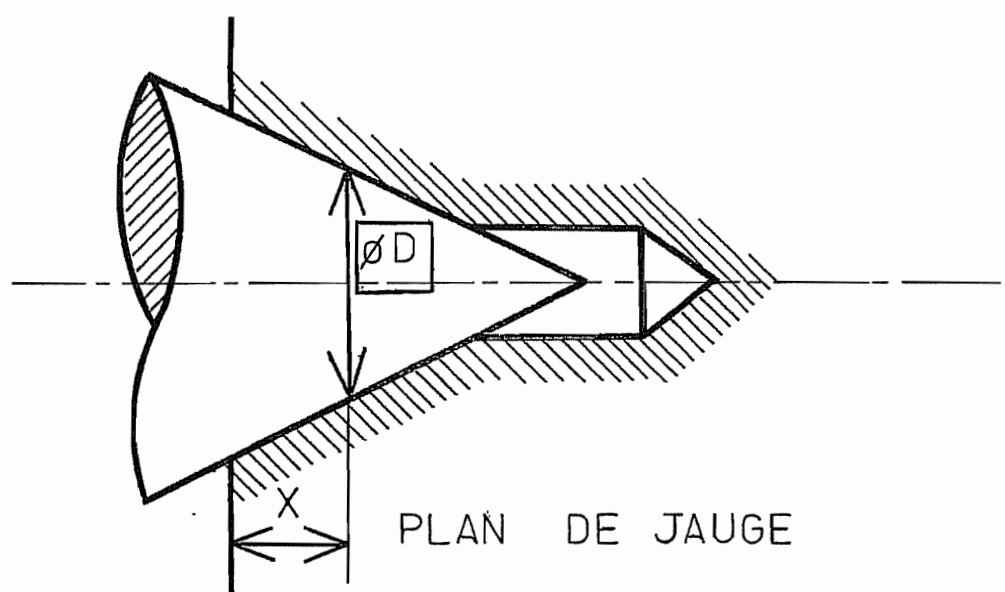


Fig 31

POINTE À RESSORT

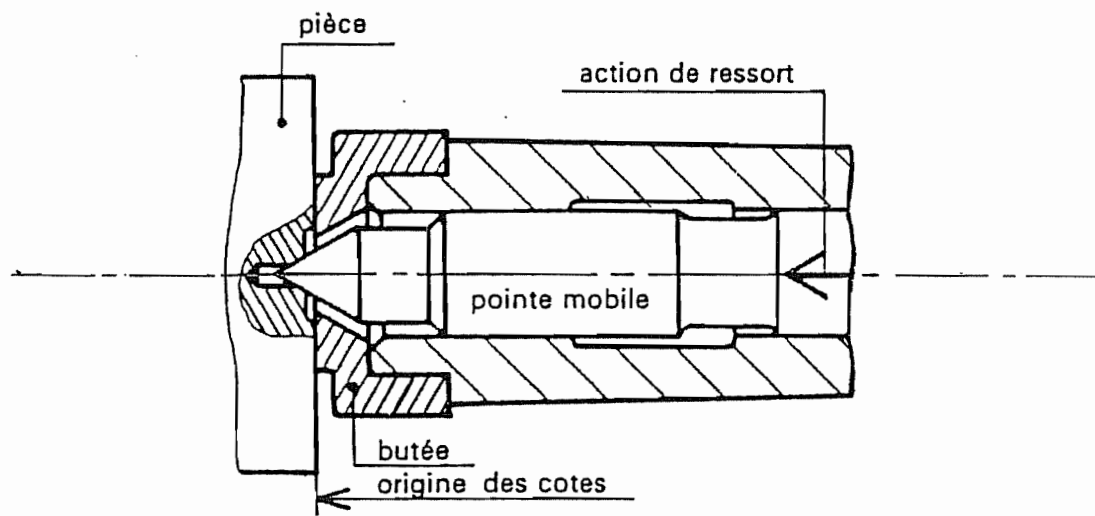


Fig 32

EFFET DU FAUX-ROND DE LA POINTE TOURNANTE

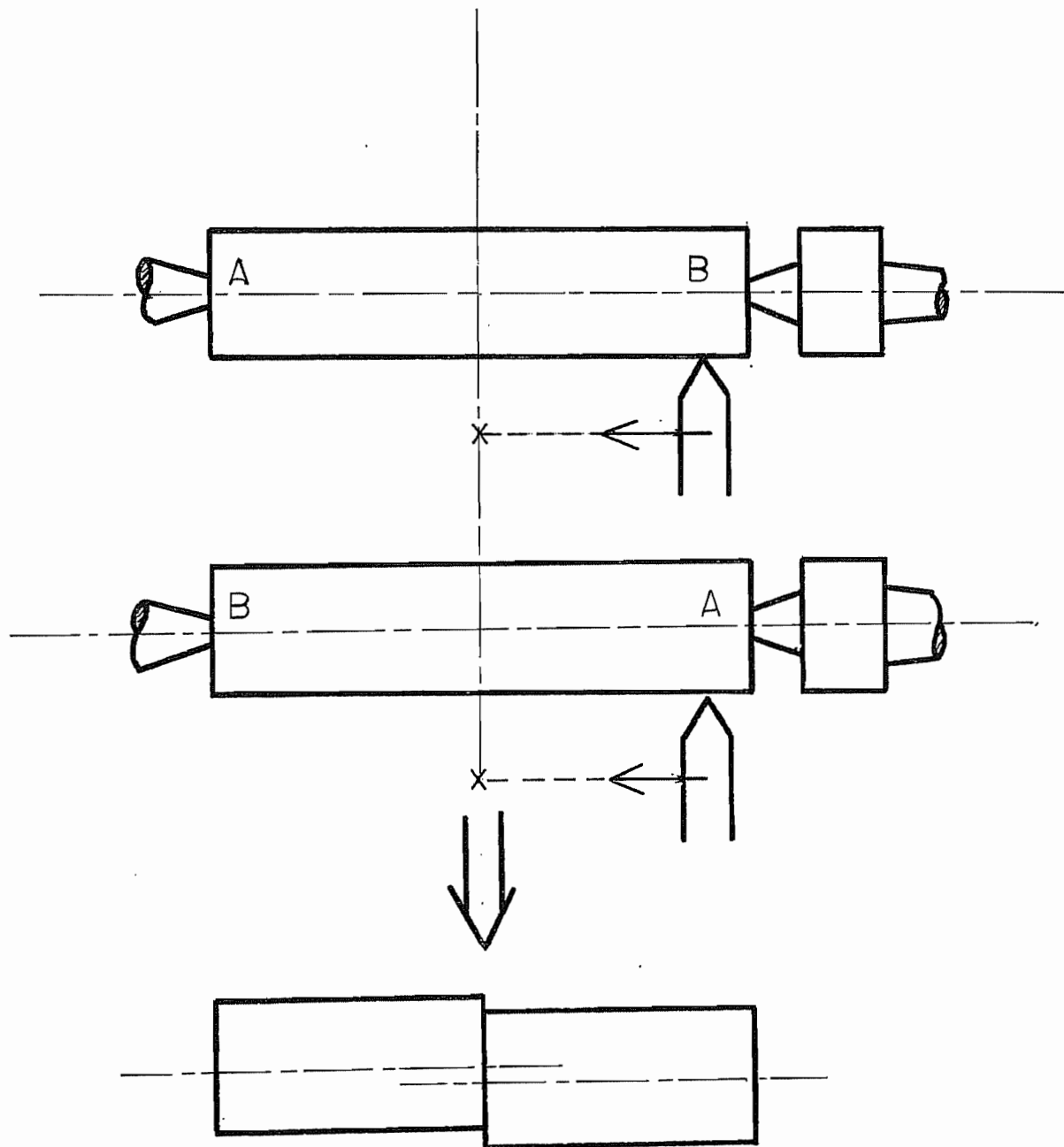


Fig 33

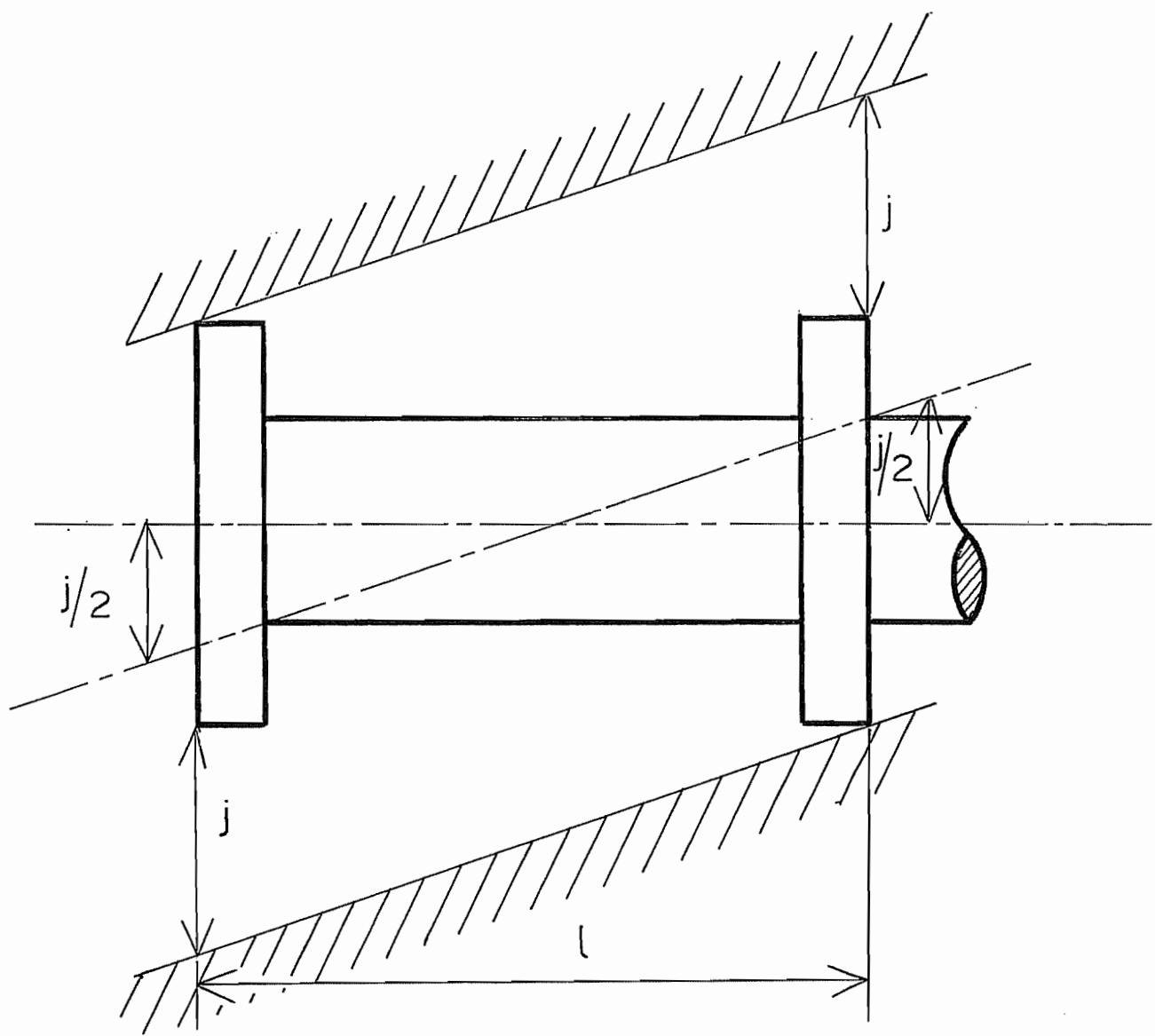


Fig 34

CENTRAGE LONG

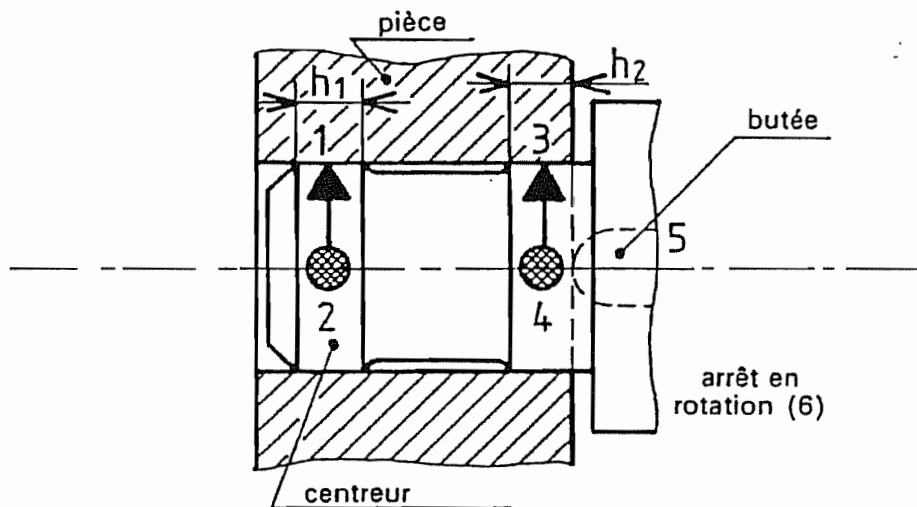


Fig 35

CENTRAGE COURT

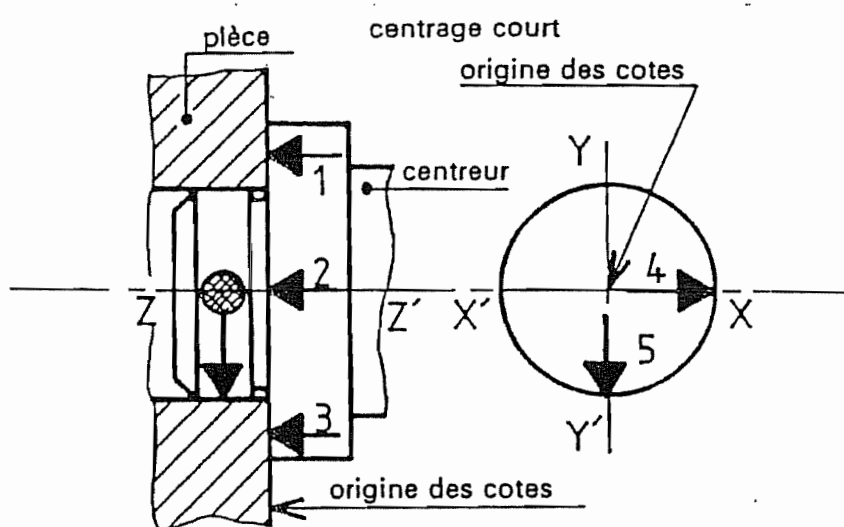


Fig 36

MANDRIN À SERRAGE CONCENTRIQUE

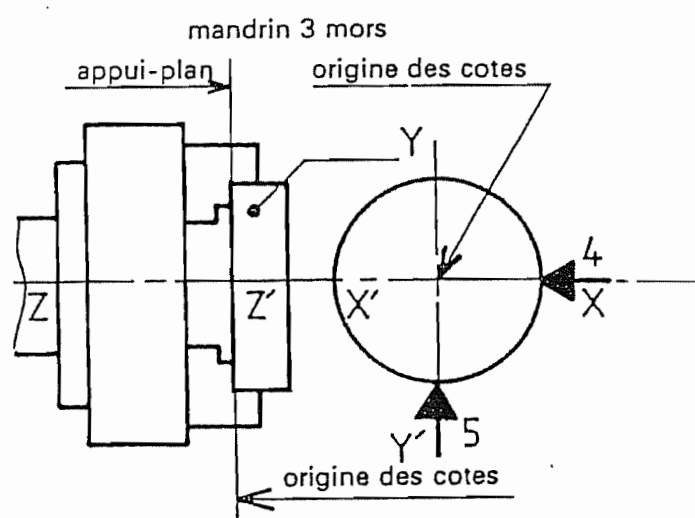
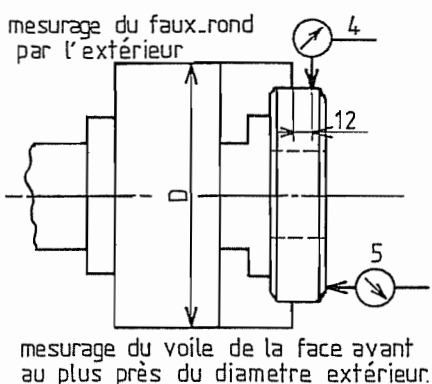


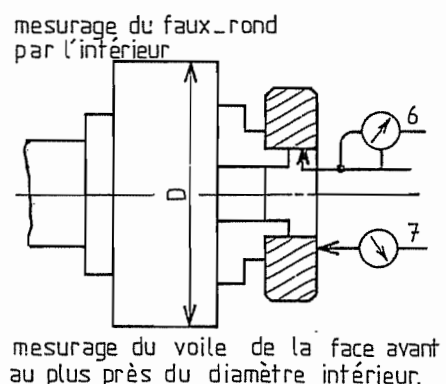
Fig 37

PRÉCISION DE LA PRISE EN MANDRIN

NF E 62-100 / 101 / 102 / 109



Opérations	Diamètre du mandrin D	1 Écart toléré
4	$D \leq 315$	0,075
	$315 < D \leq 630$	0,10
	$630 < D \leq 1000$	0,125
5	$D \leq 200$	0,04
	$200 < D \leq 400$	0,07
	$400 < D \leq 630$	0,10
	$630 < D \leq 1000$	0,125



Opérations	Diamètre du mandrin D	2 Écart toléré
6	$D \leq 315$	0,075
	$315 < D \leq 630$	0,10
	$630 < D \leq 1000$	0,125
7	$D \leq 200$	0,03
	$200 < D \leq 400$	0,04
	$400 < D \leq 630$	0,05
	$630 < D \leq 1000$	0,06

Fig 38

USINAGE DE MORS DOUX

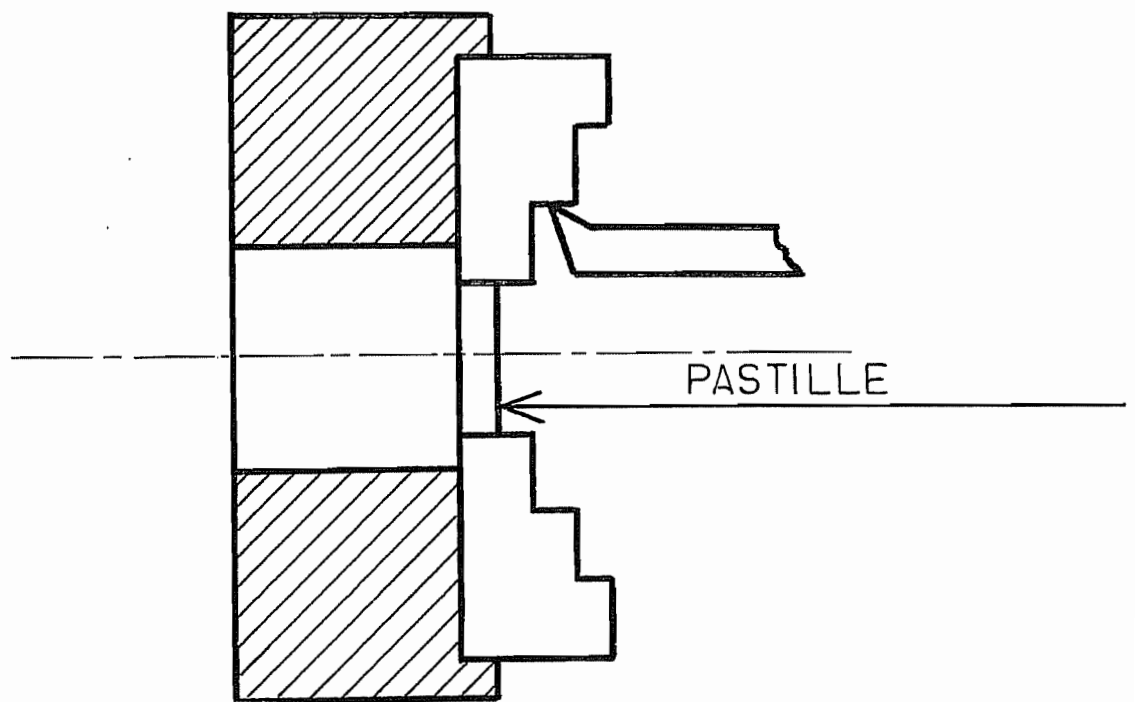


Fig 39

① NEUTRALISATION DES EFFORTS

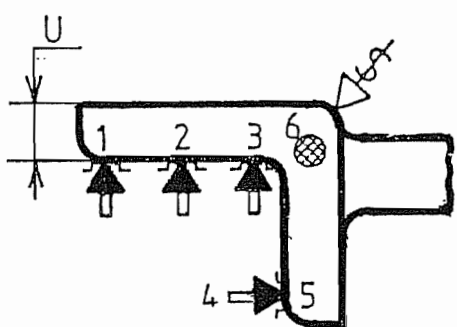


Fig 40

② CONTNUITÉ DE LA MATIÈRE

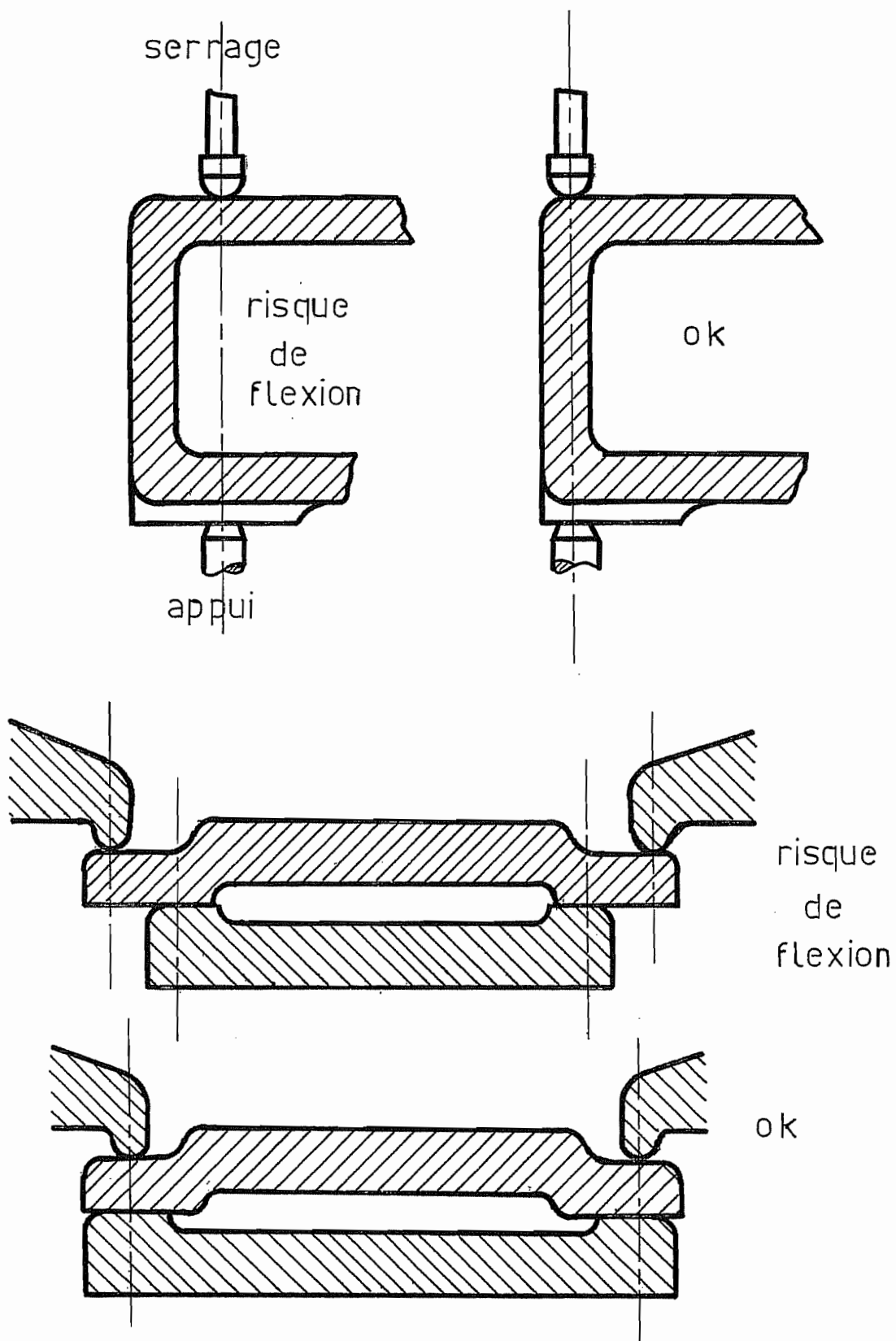


Fig 41

3 SIMPLIFIER ET RÉDUIRE LES PONTS DE SERRAGE

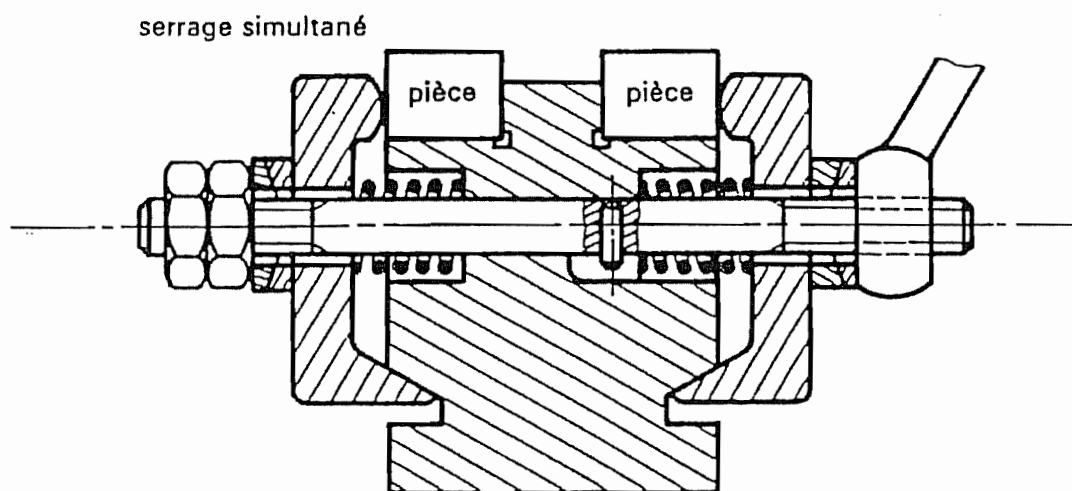


Fig 42

4 SERRAGE PALONNÉ

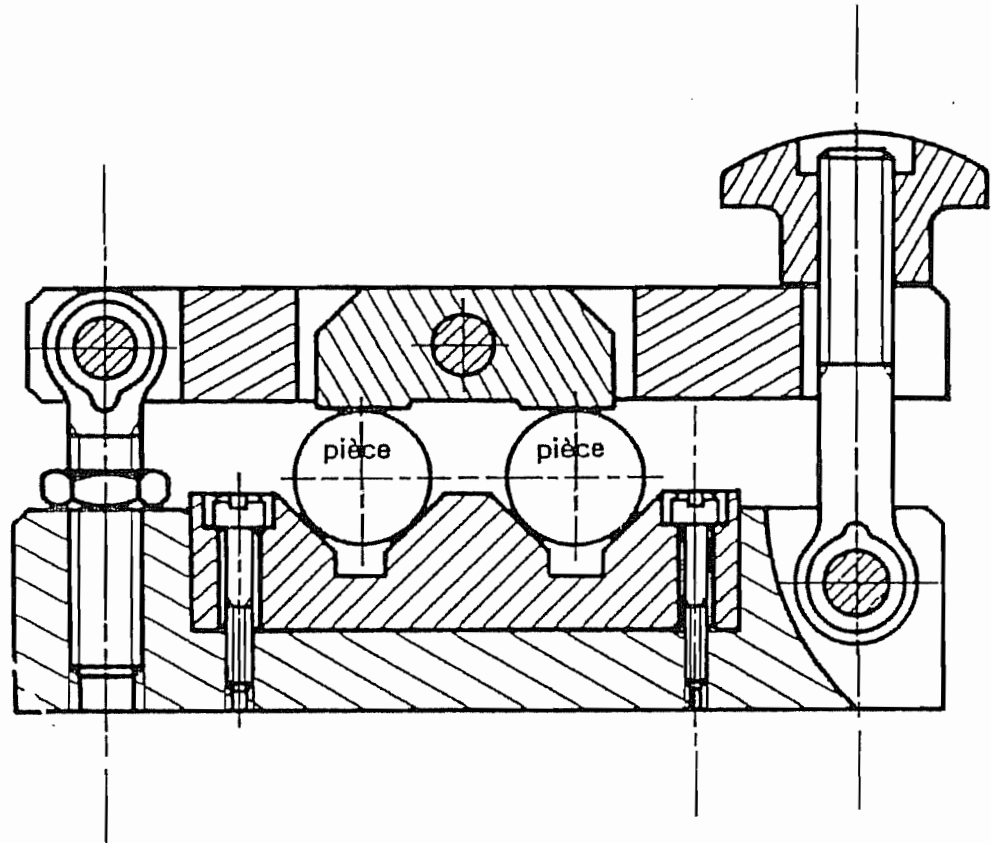


Fig 43

⑤ EVITER LES PRESSIONS DE SERRAGE
EXCESSIVES

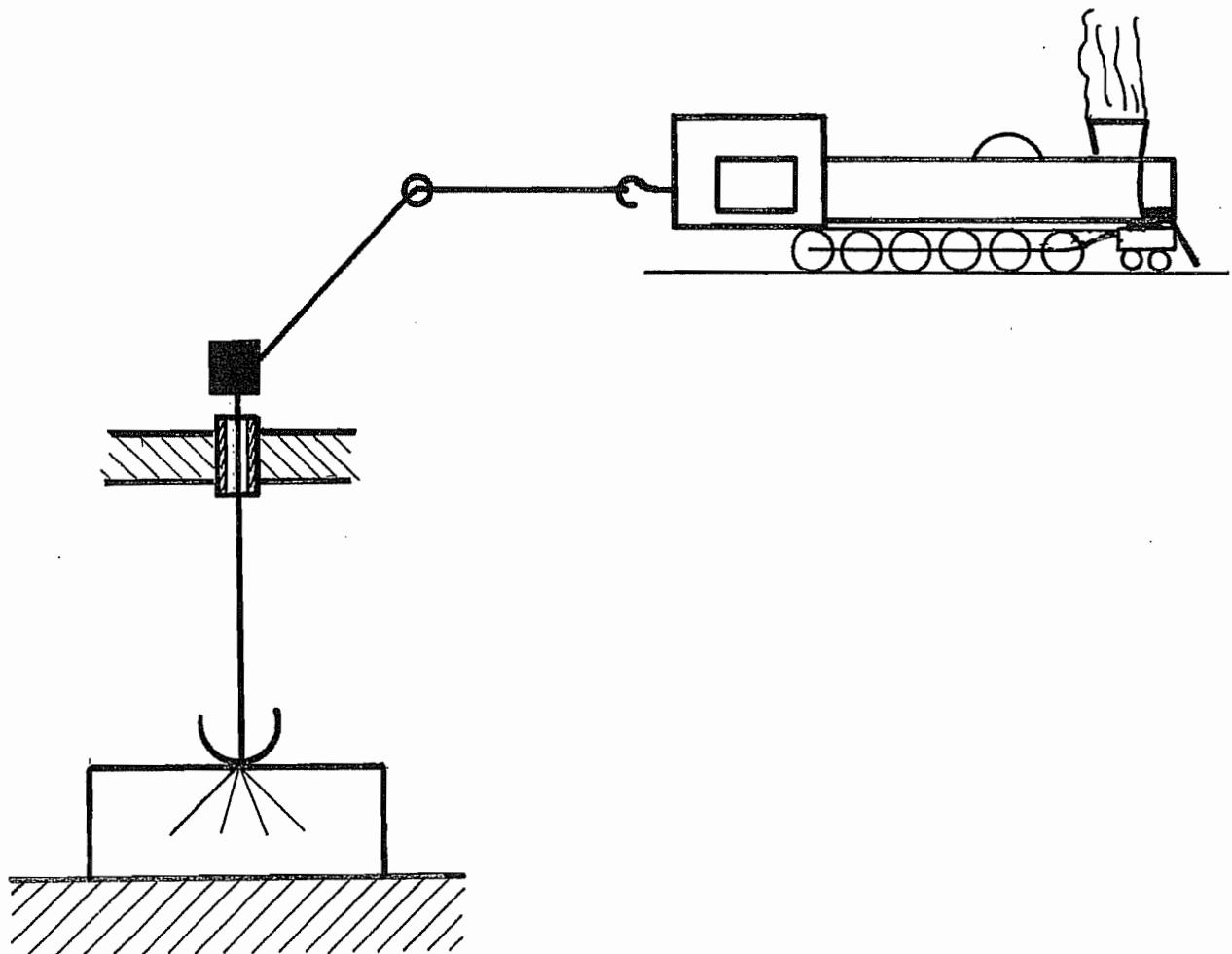


Fig 44

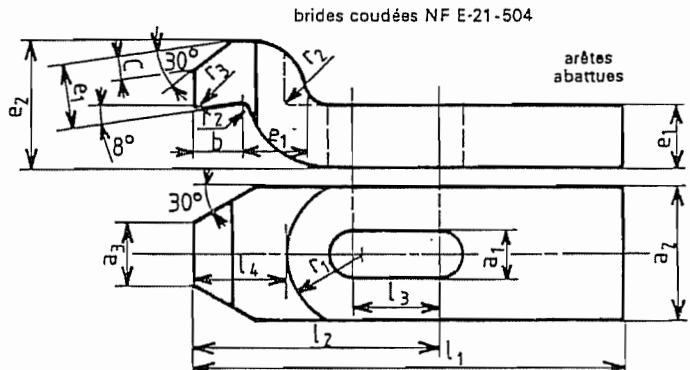
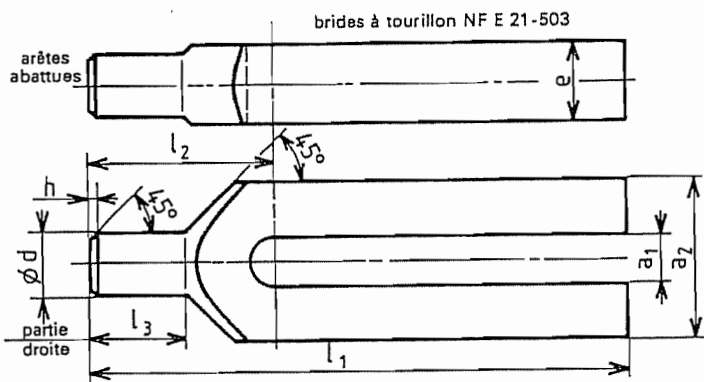
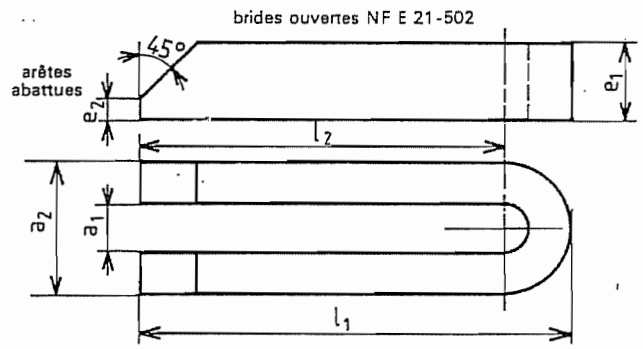
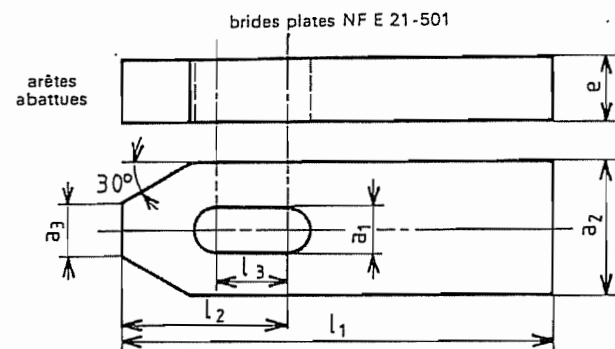
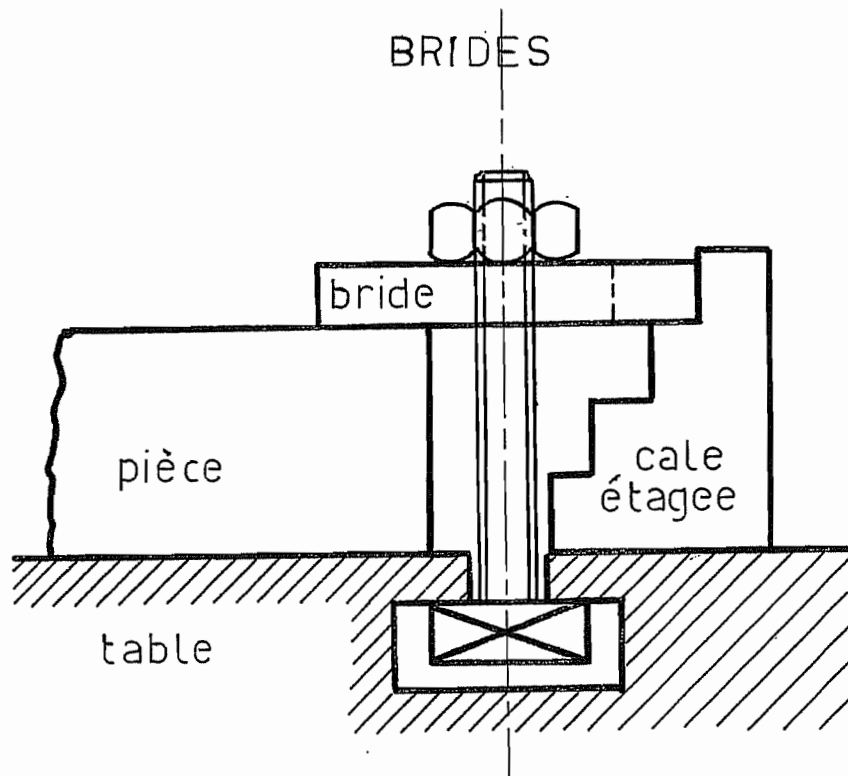


Fig 45

EXEMPLES DE RÉALISATION

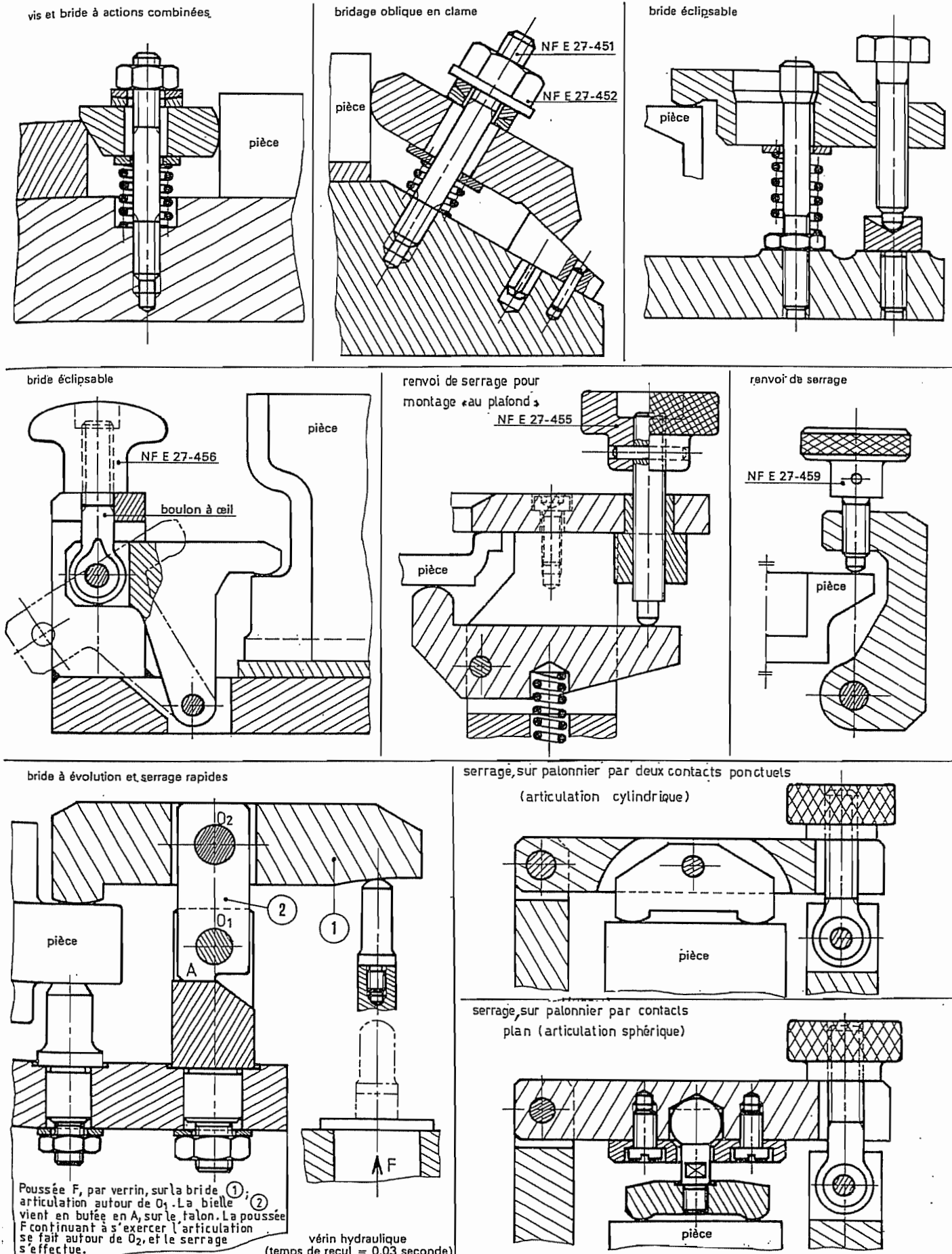


Fig 46

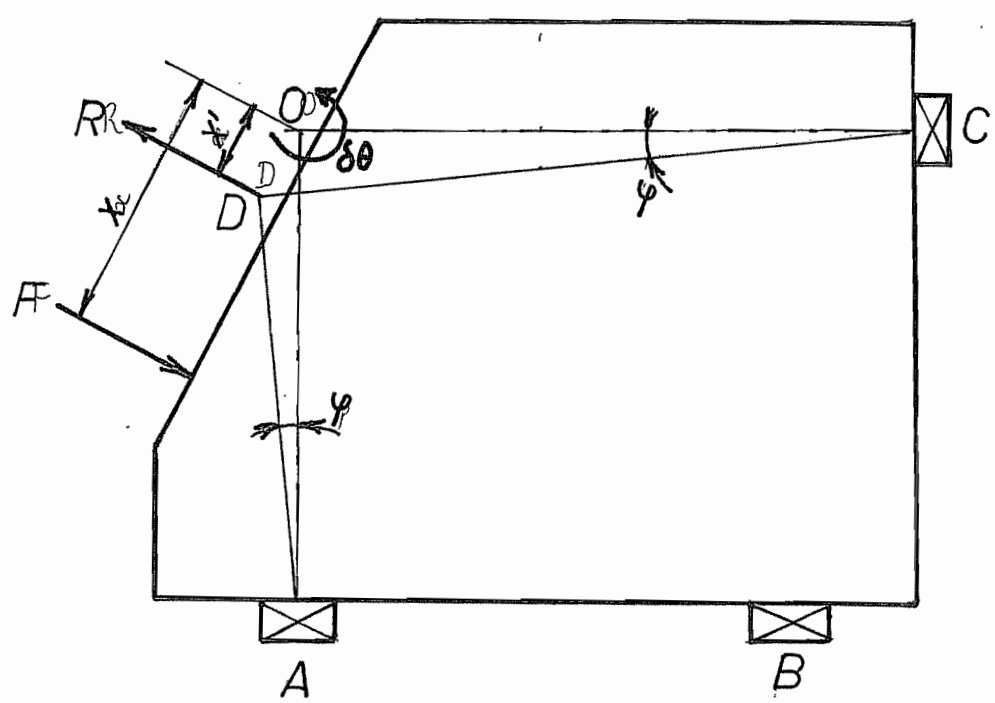


Fig. 47

Chapitre 5

Machines-outils à commande numérique

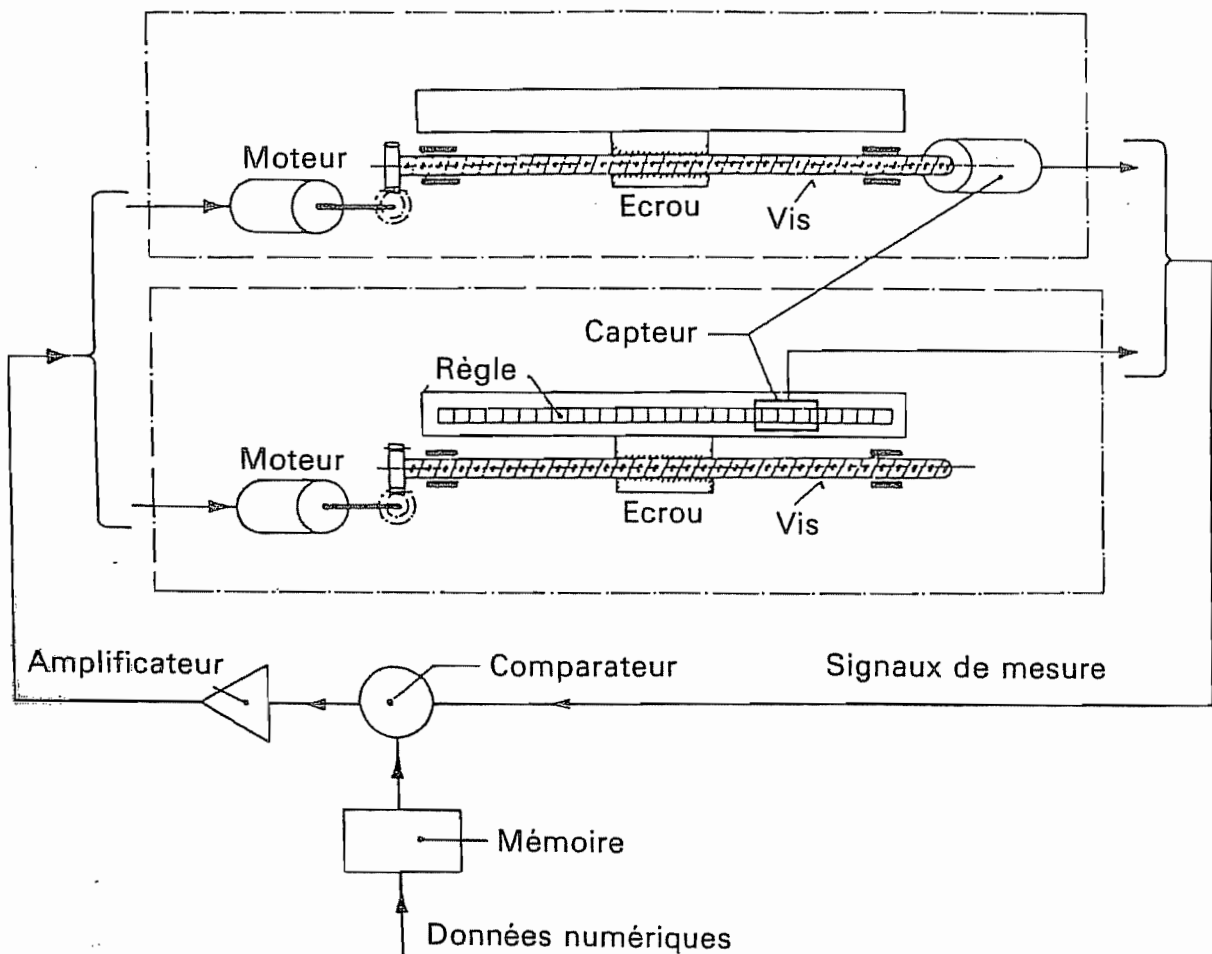


Fig. 1:

Les éléments de base d'un mouvement commandé numériquement

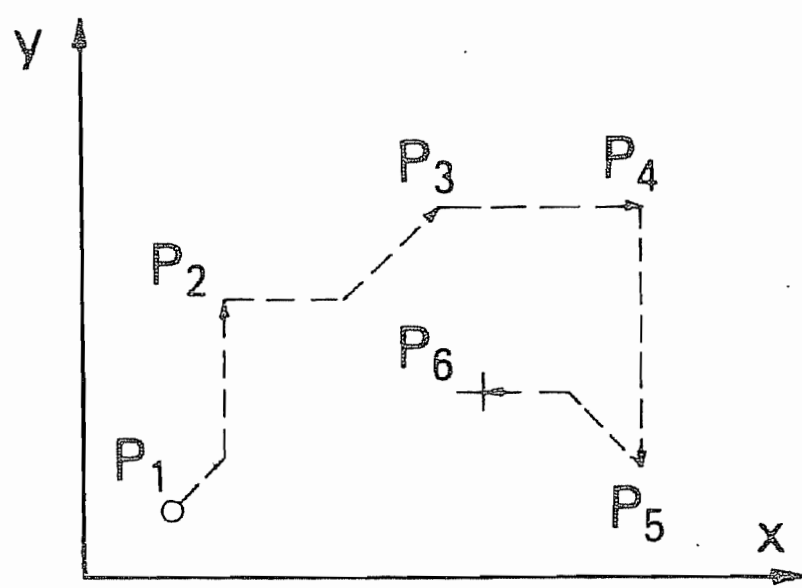


Fig. 2:
Commande point par point

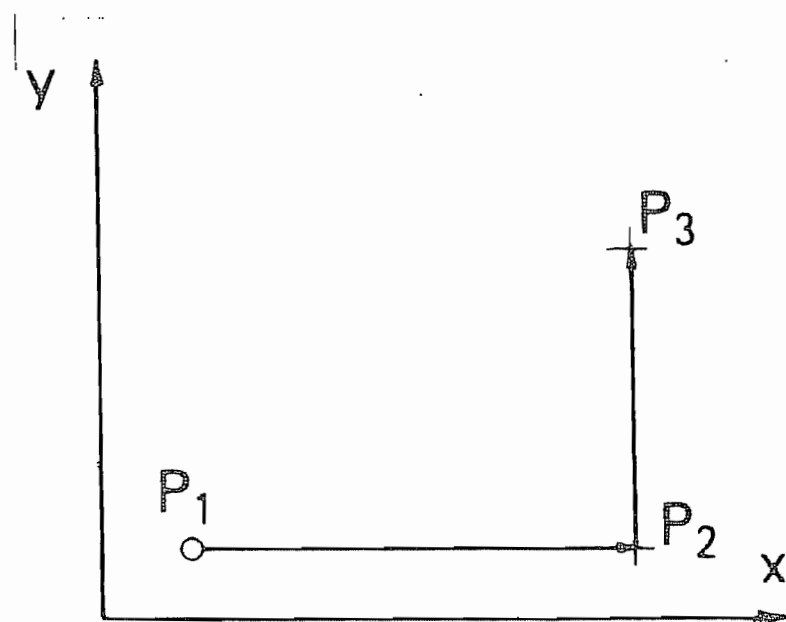


Fig. 3:
Commande paraxiale

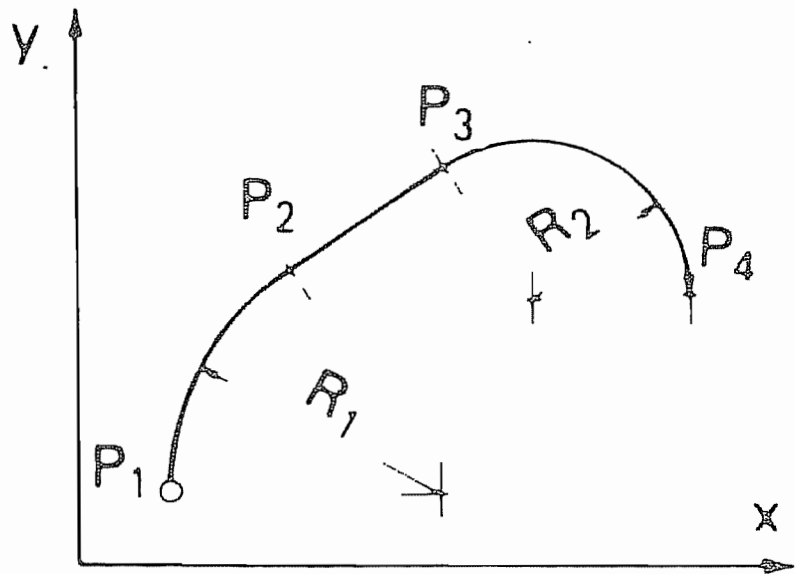


Fig. 4:
Commande de
contournage

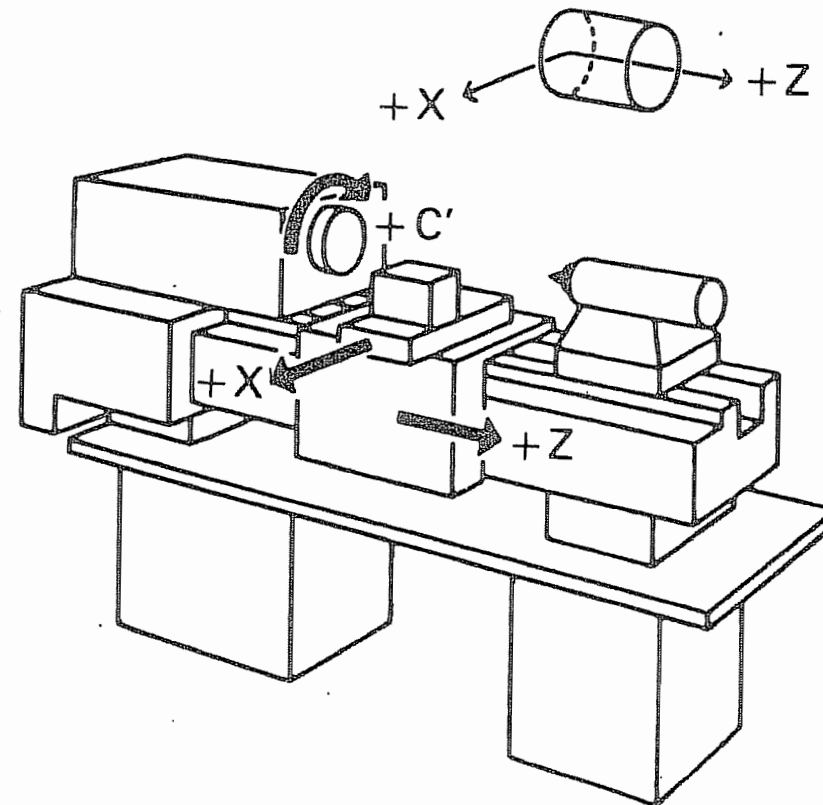


Fig.5:
Désignation des axes
et sens de comptage sur le tour

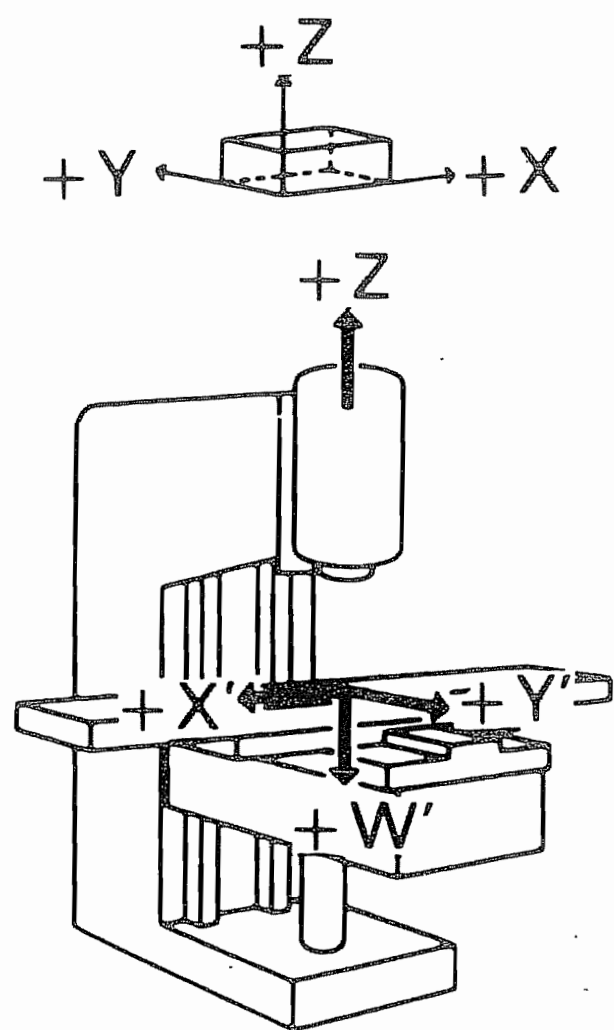
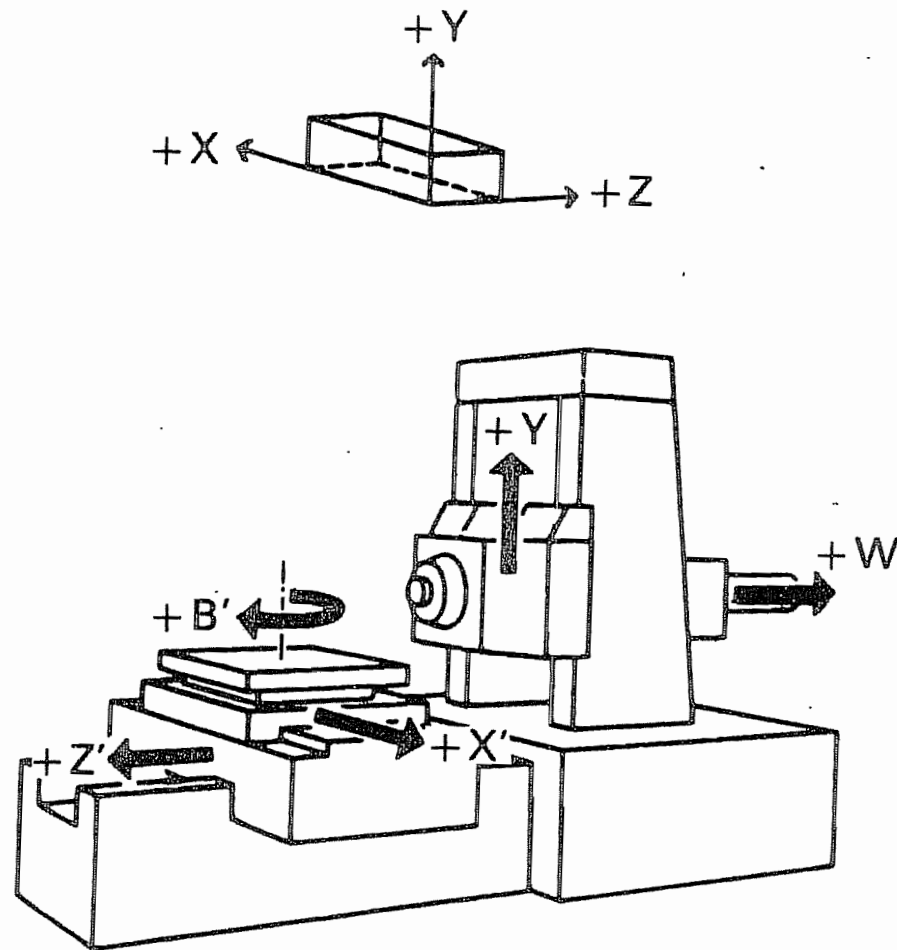


Fig. 6:
Désignation des axes et sens de
comptage sur la fraiseuse

Fig. 7:
Désignation des axes et sens de
comptage sur l'aléuseuse



FRAISEUSE - ALESEUSE UNIVERSELLE

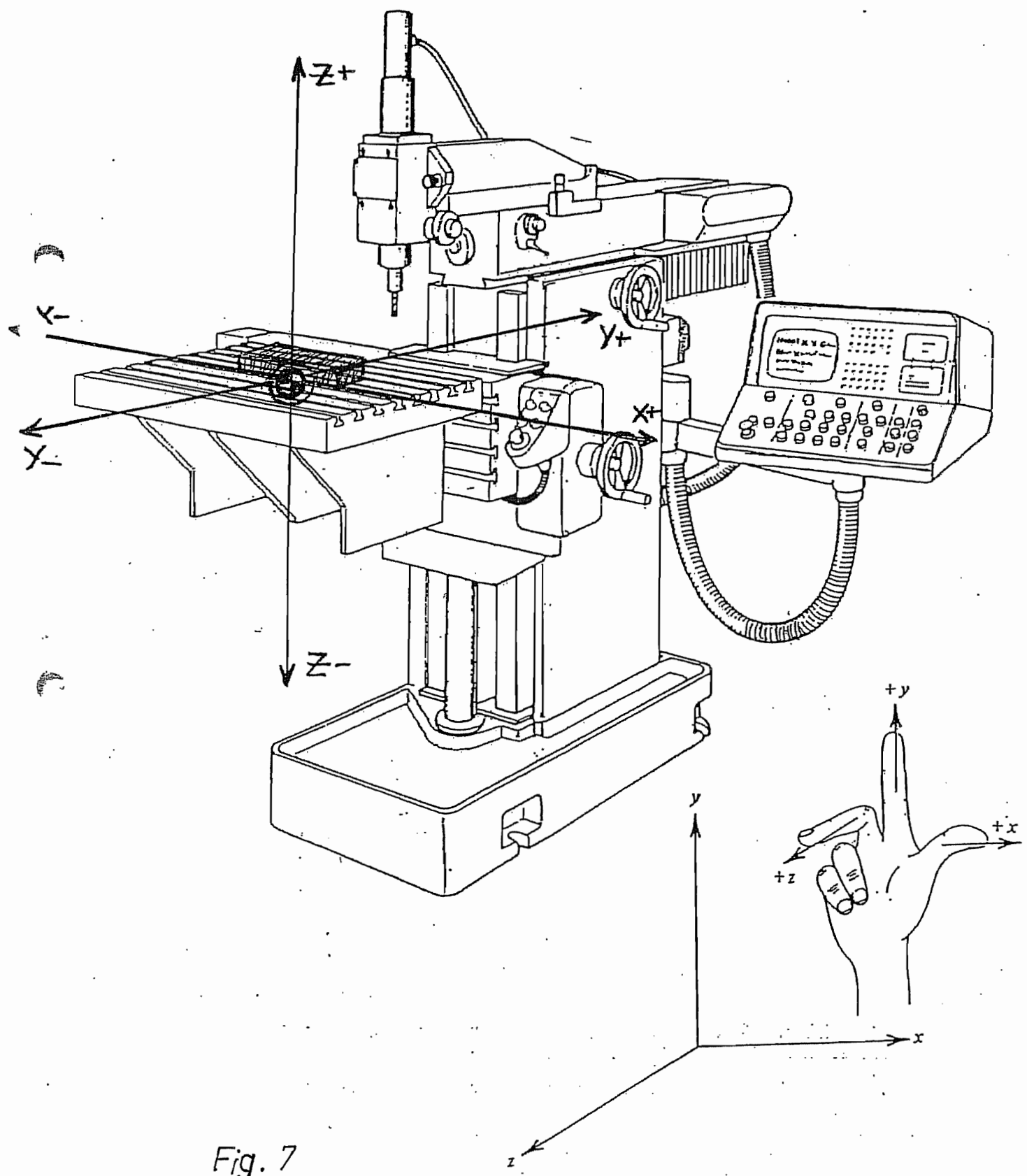


Fig. 7

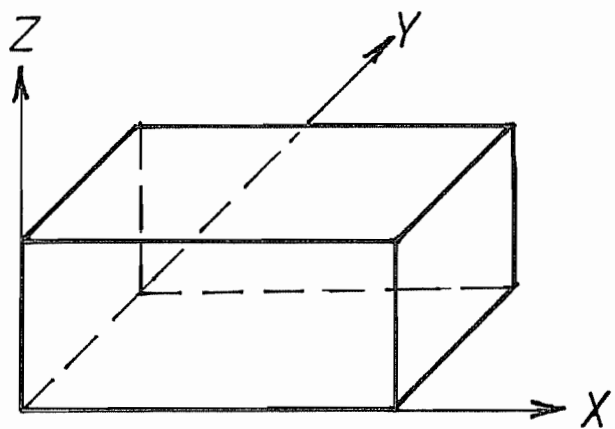


Fig. 8

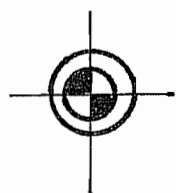


Fig. 9

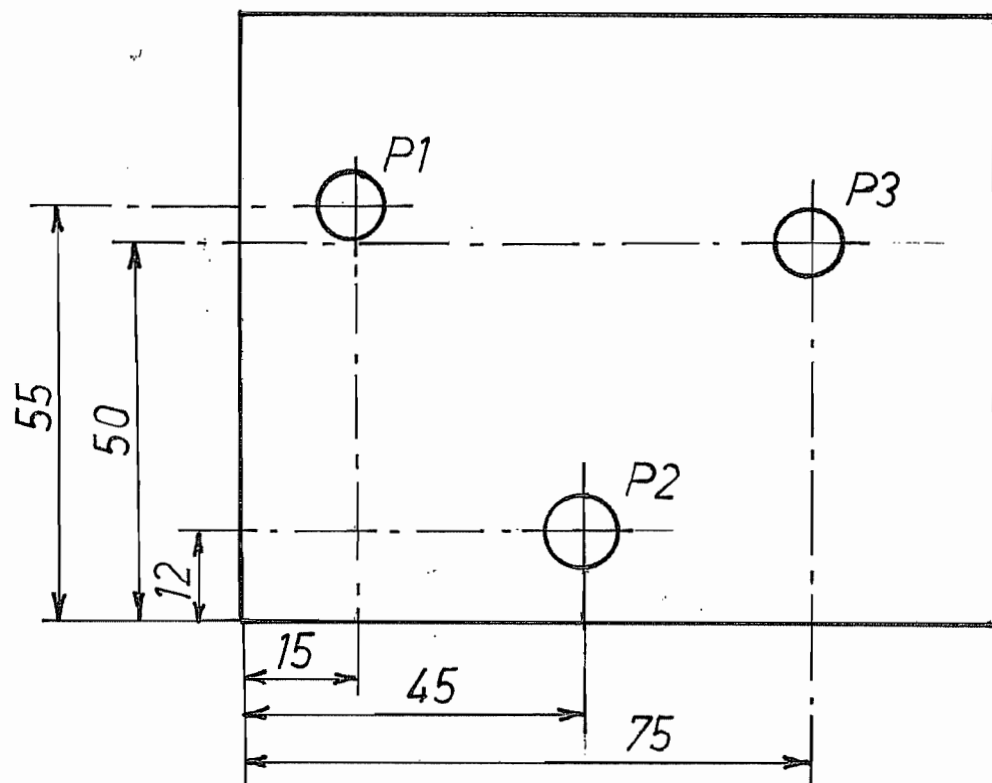


Fig. 10

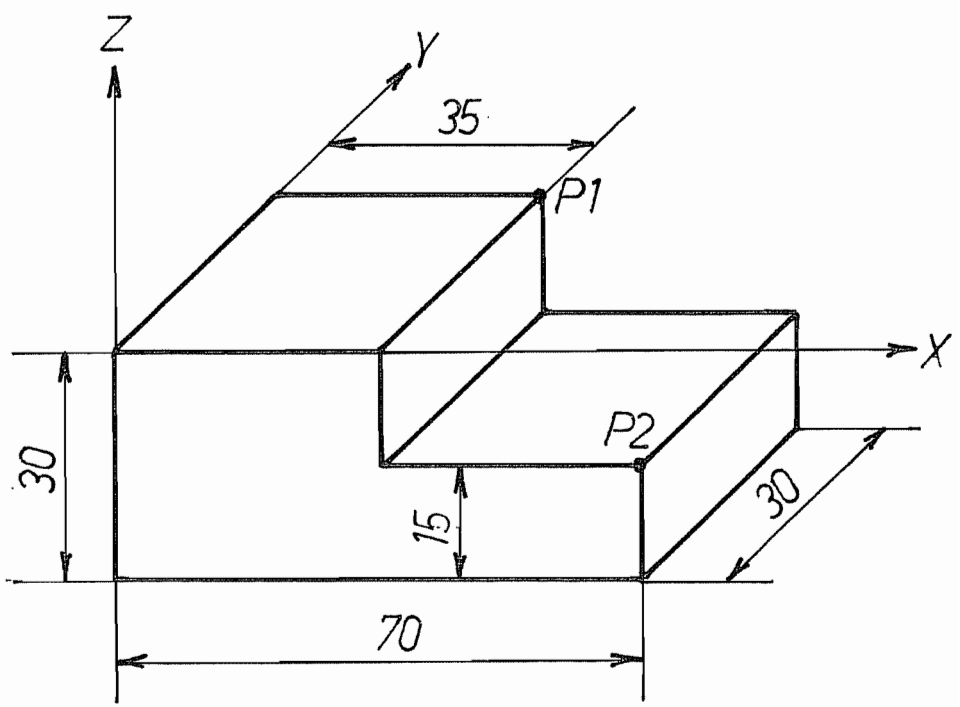


Fig.11

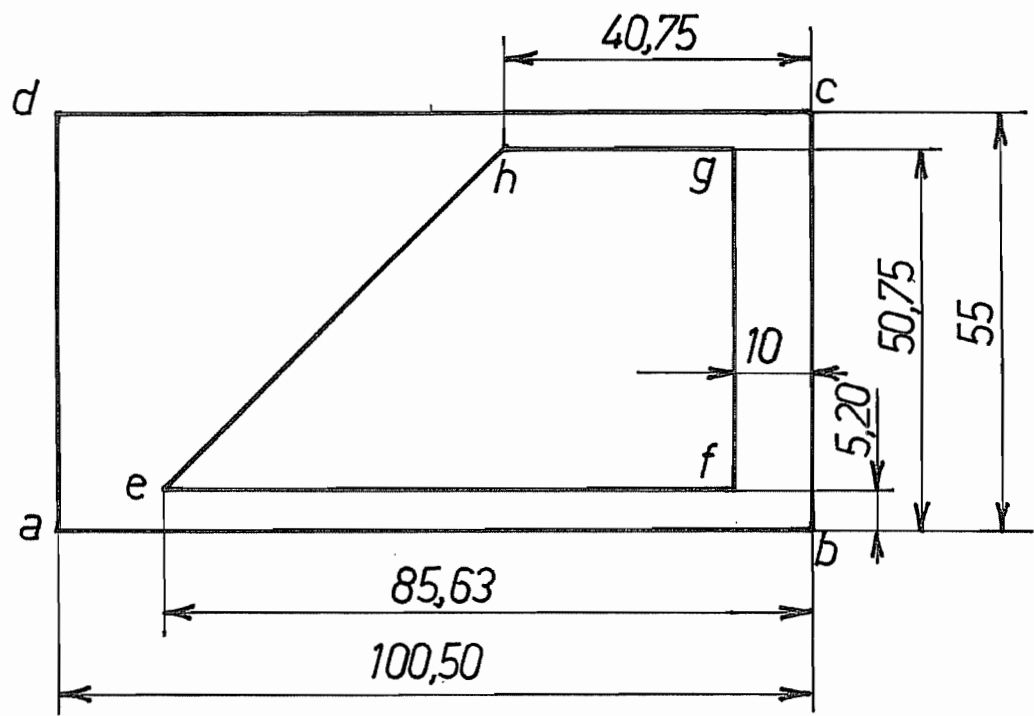


Fig. 12

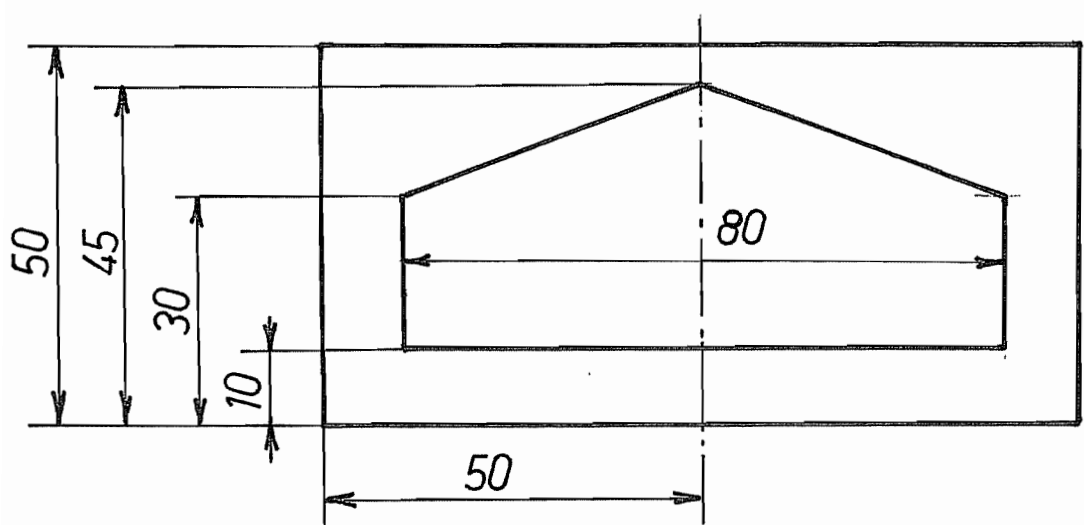


Fig. 13

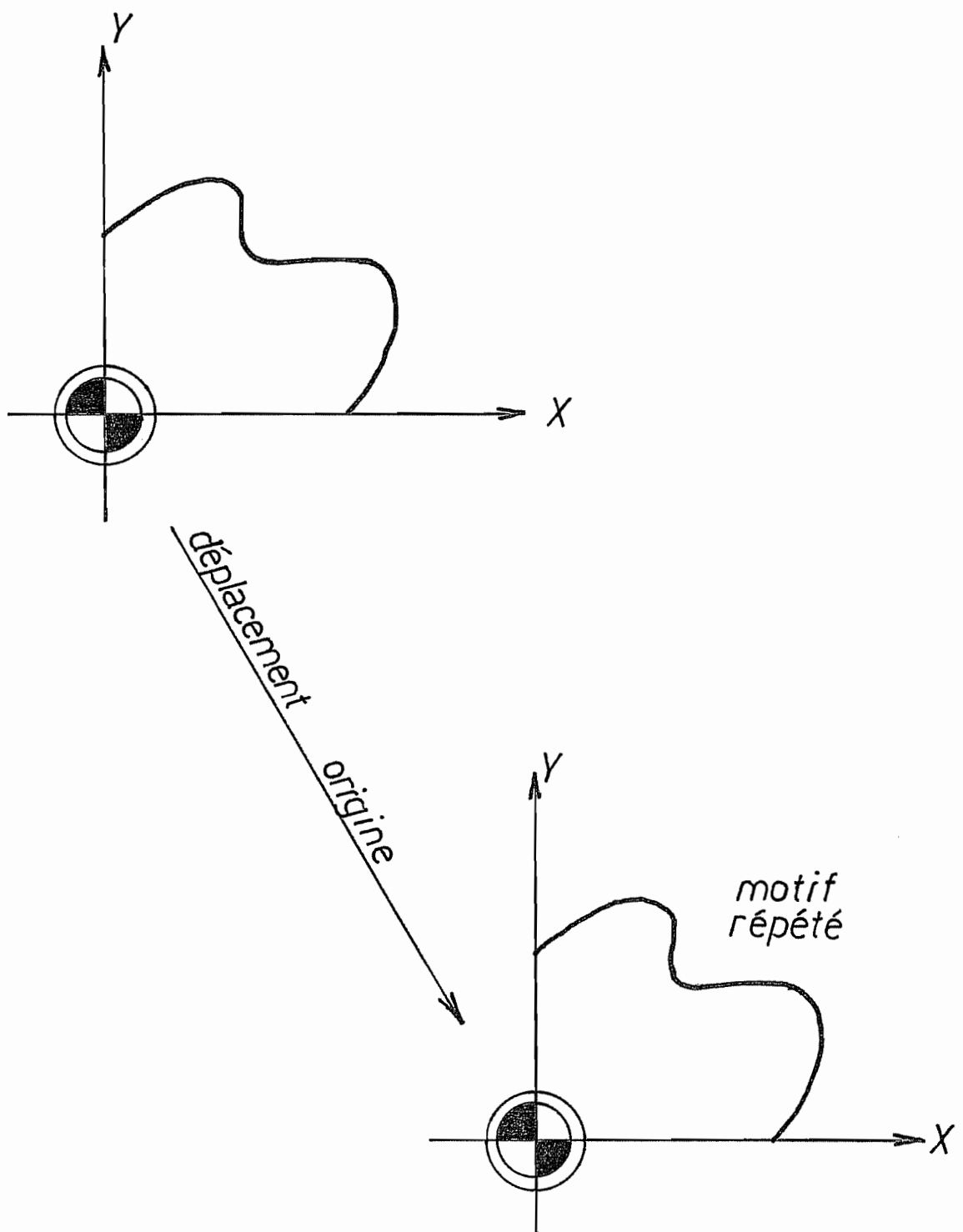


Fig. 14

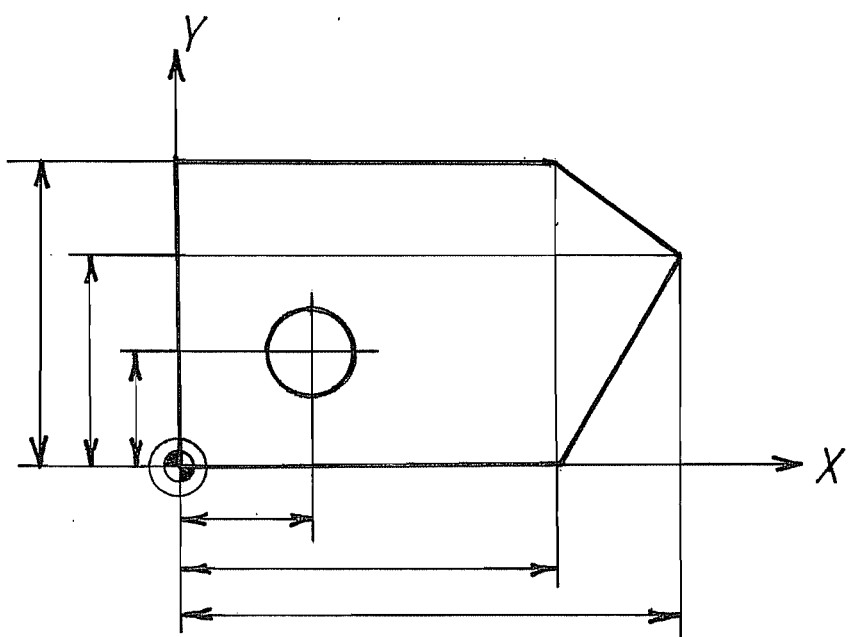


Fig. 15: cotation absolute

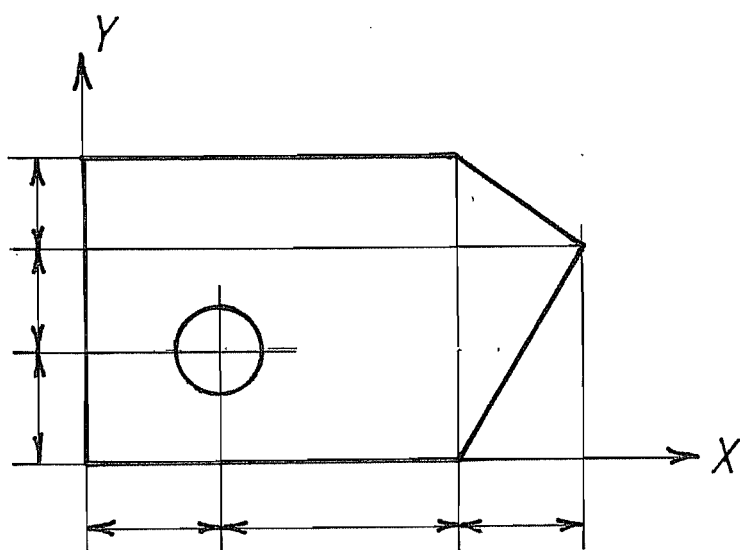


Fig. 16: cotation relative

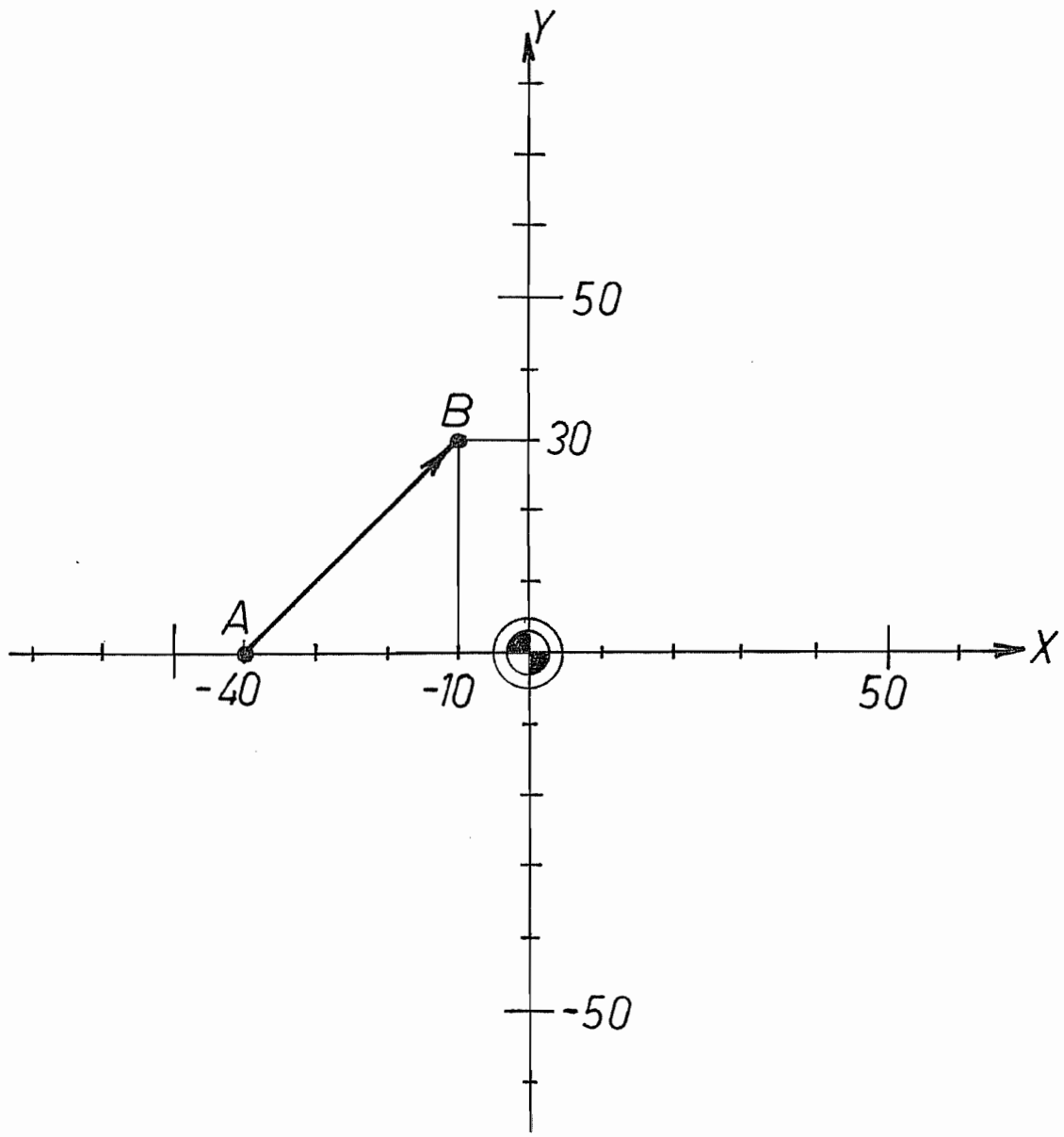


Fig. 17

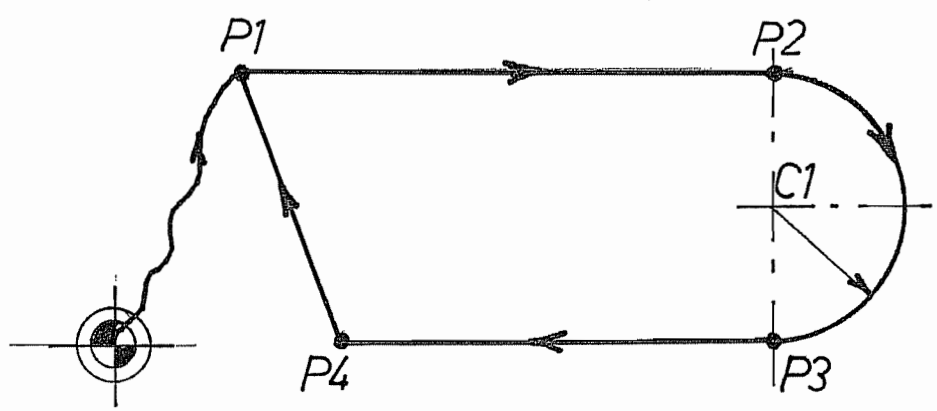
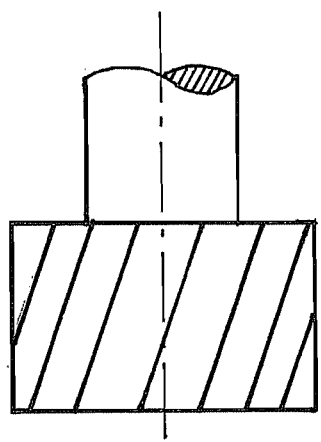


Fig 18



$\downarrow S^+$

$\uparrow S^-$

Fig. 19

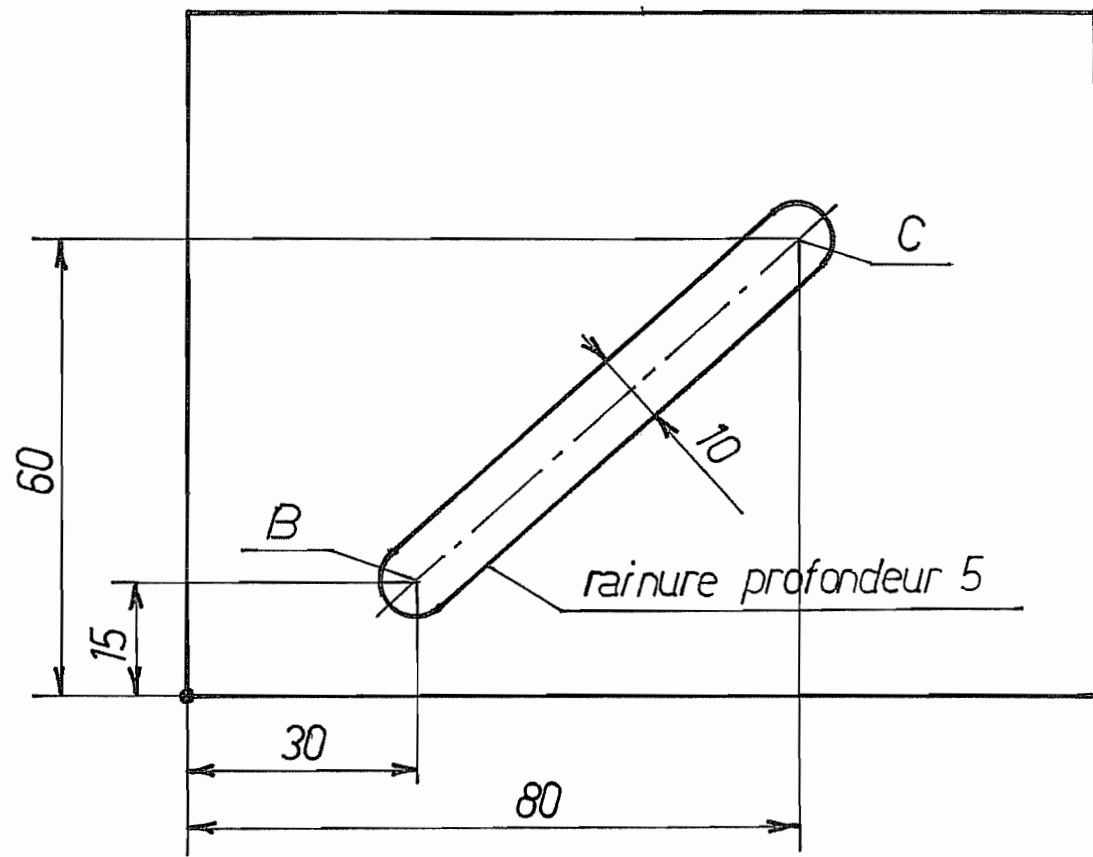


Fig. 20

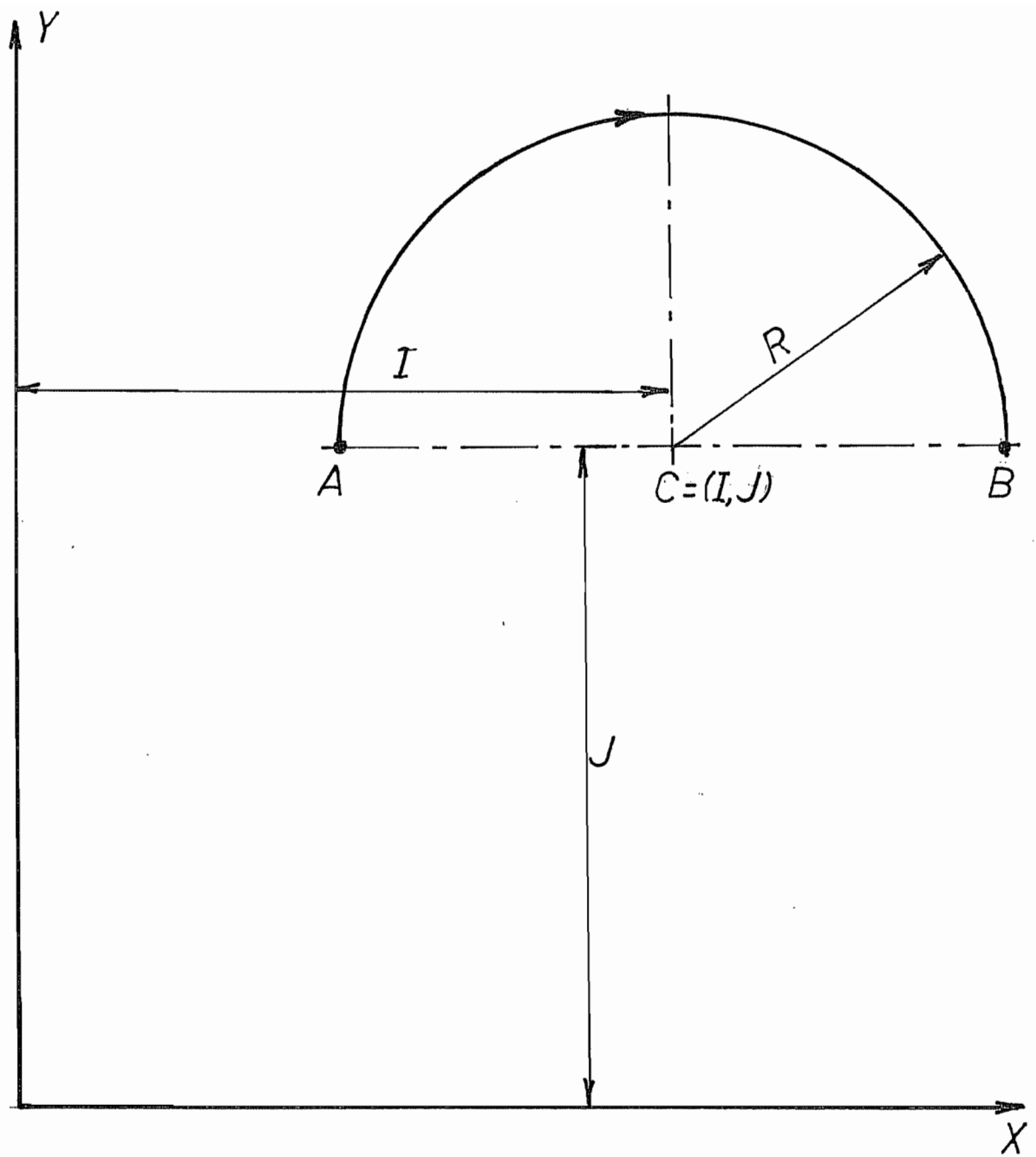


Fig. 21

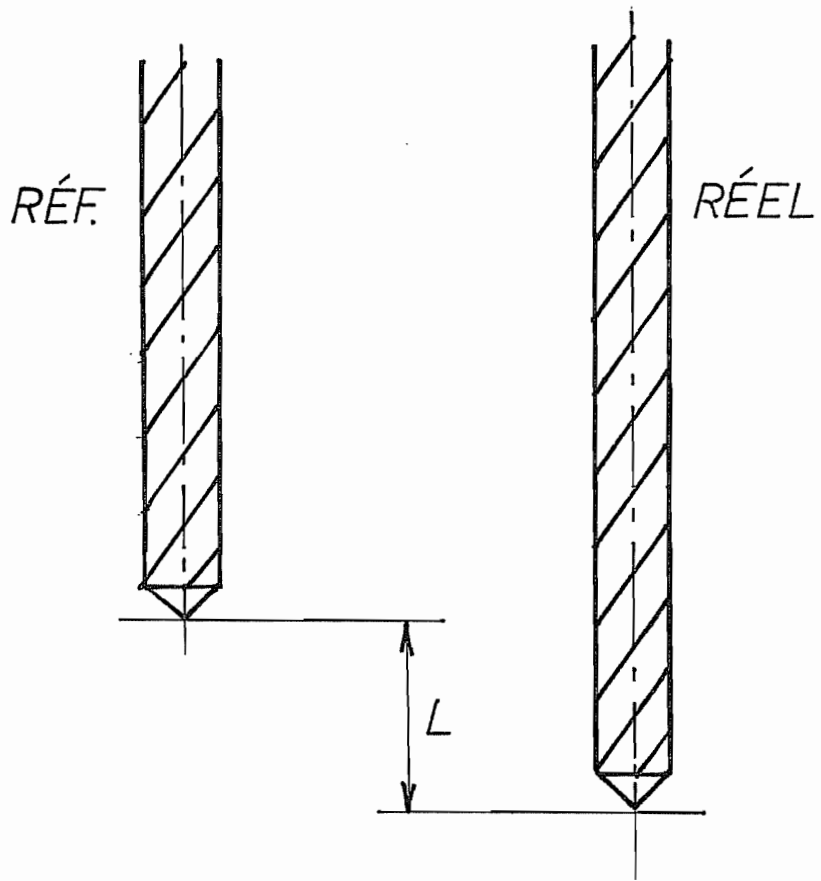


Fig. 22

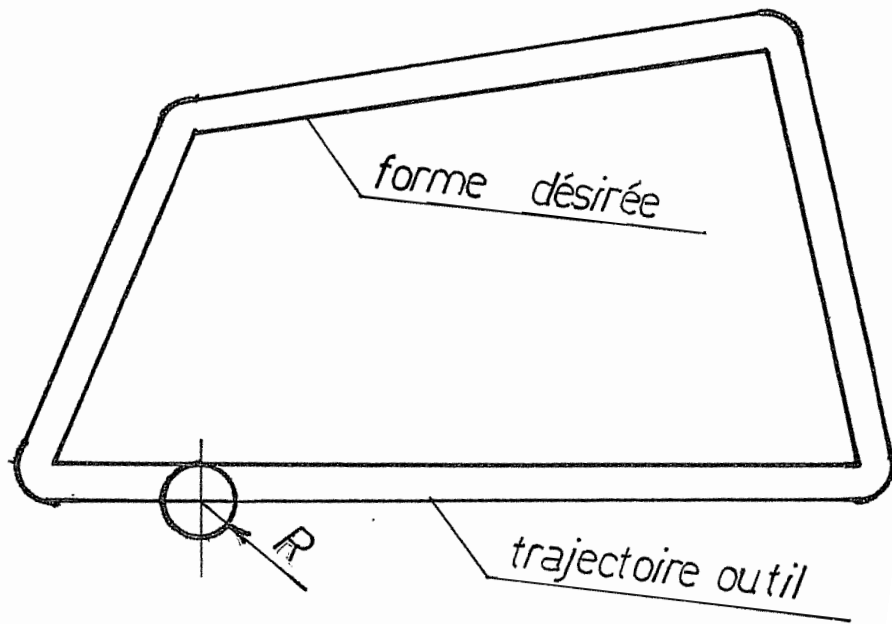
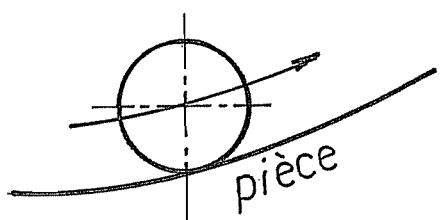
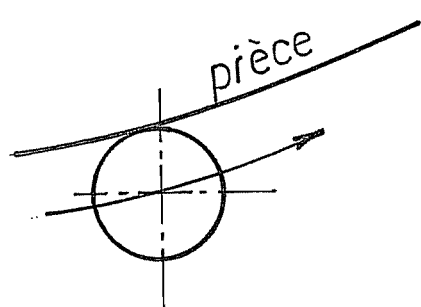


Fig. 23



Outil à gauche
G41



Outil à droite
G42

Fig. 24

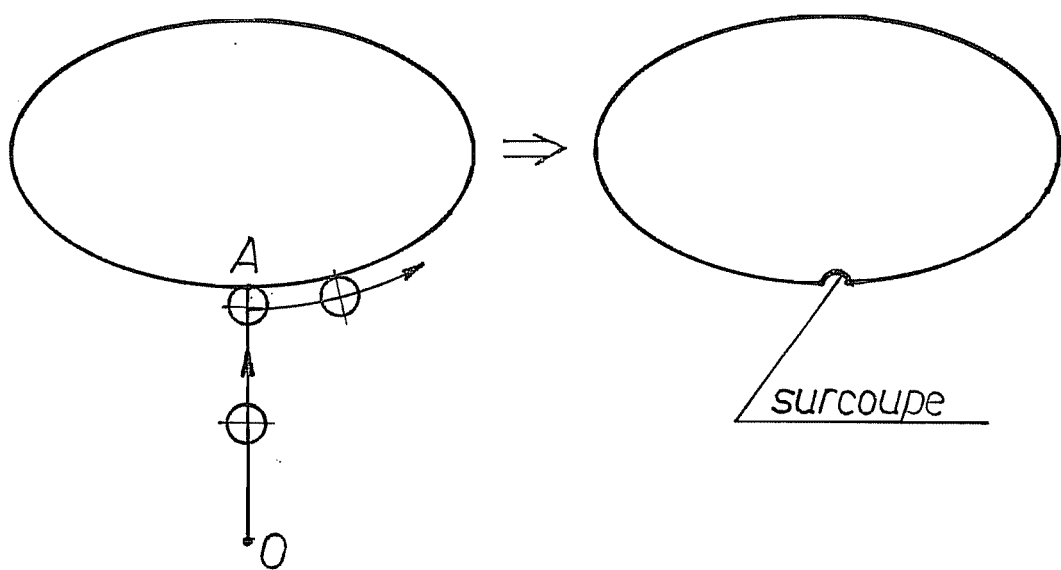


Fig. 25

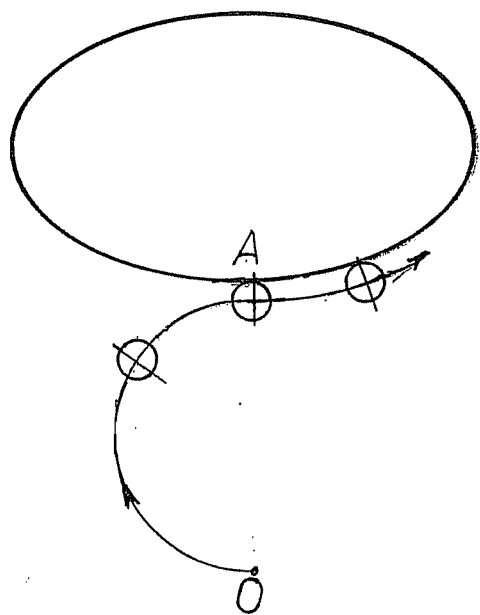


Fig. 26

Chapitre 6

Optimisation en chariotage

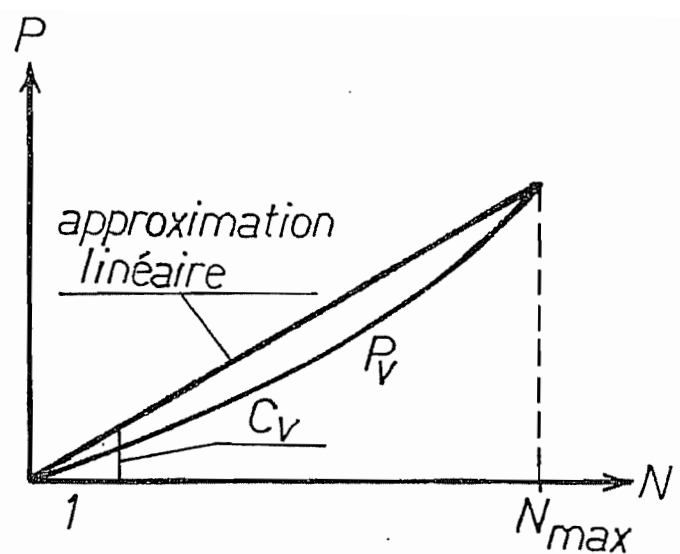


FIG. 1

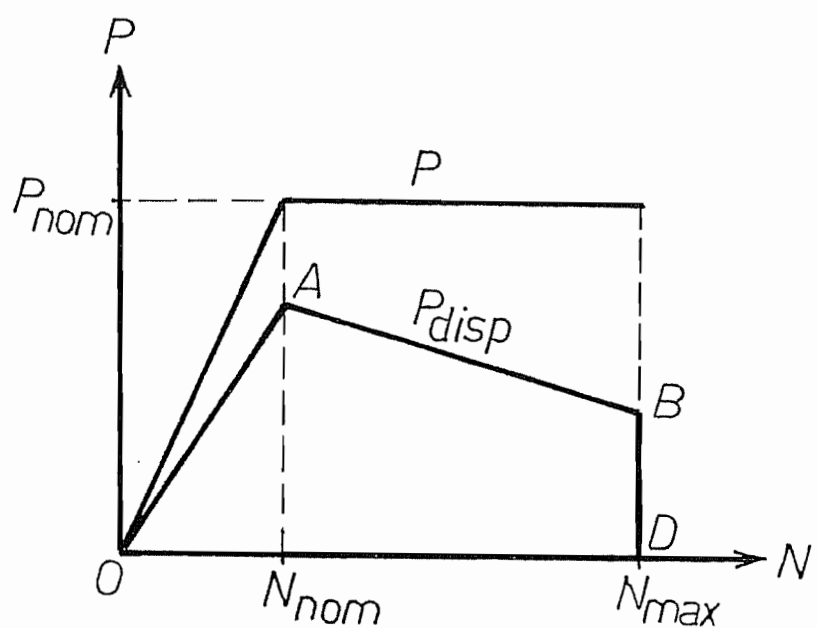


FIG. 2

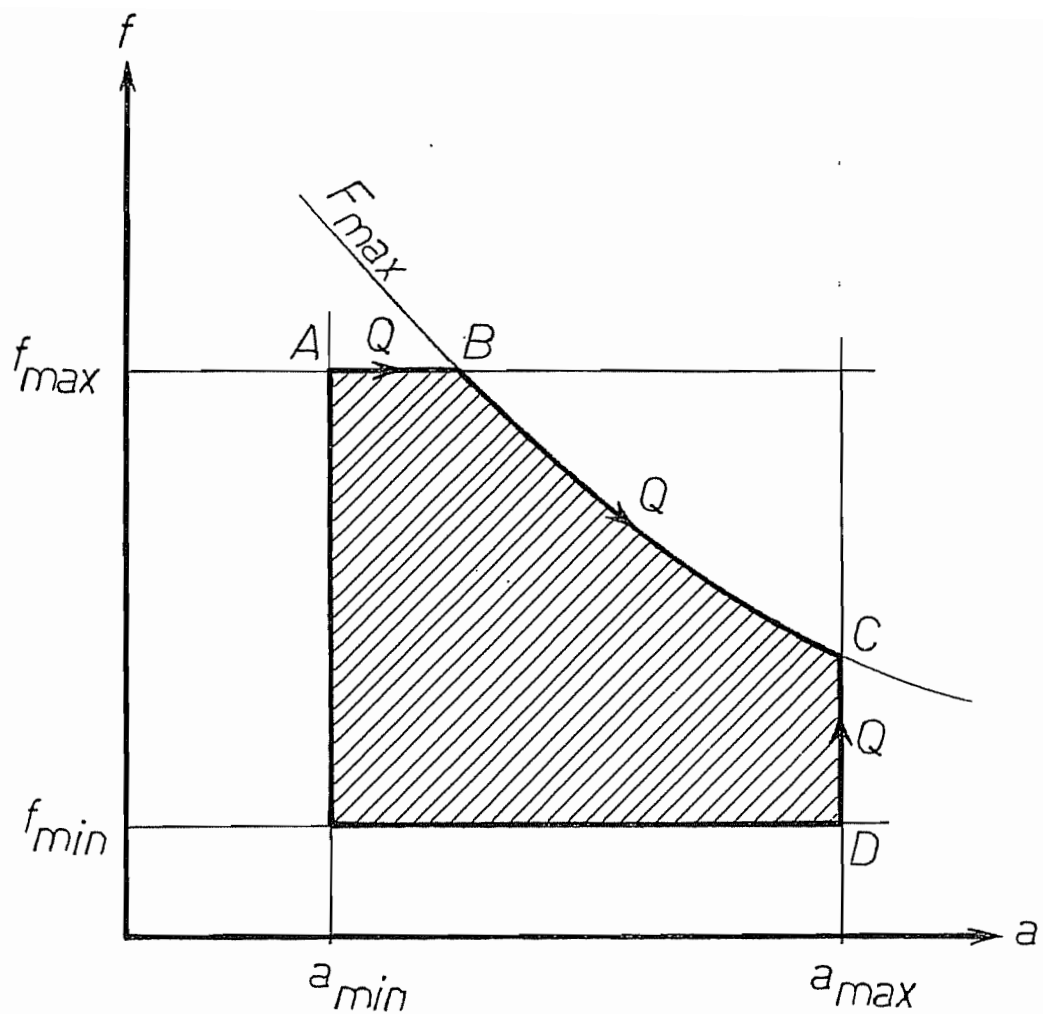


FIG. 3

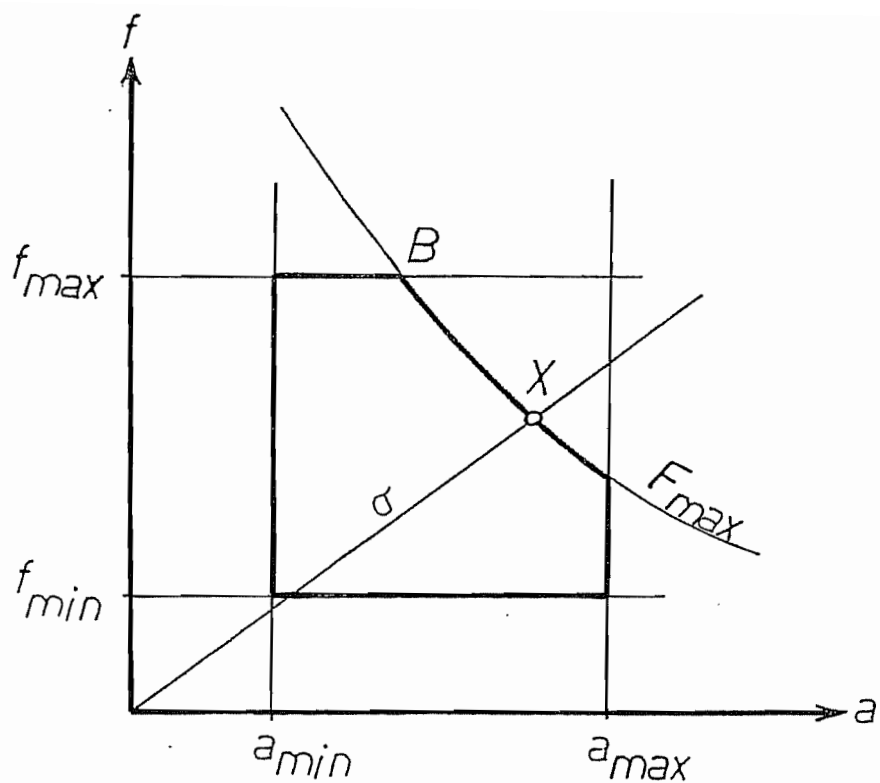


FIG. 4

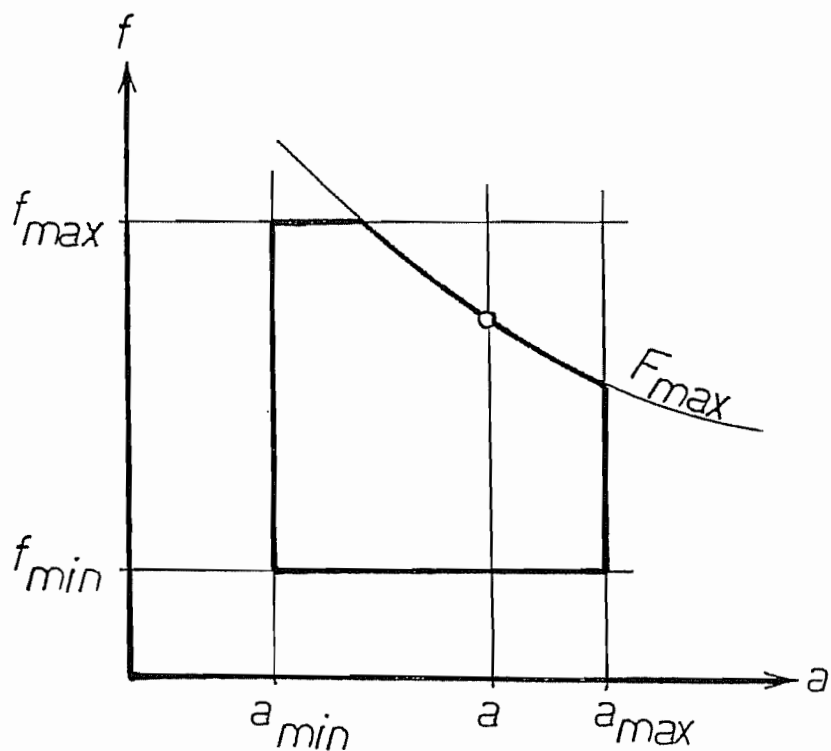


FIG. 5

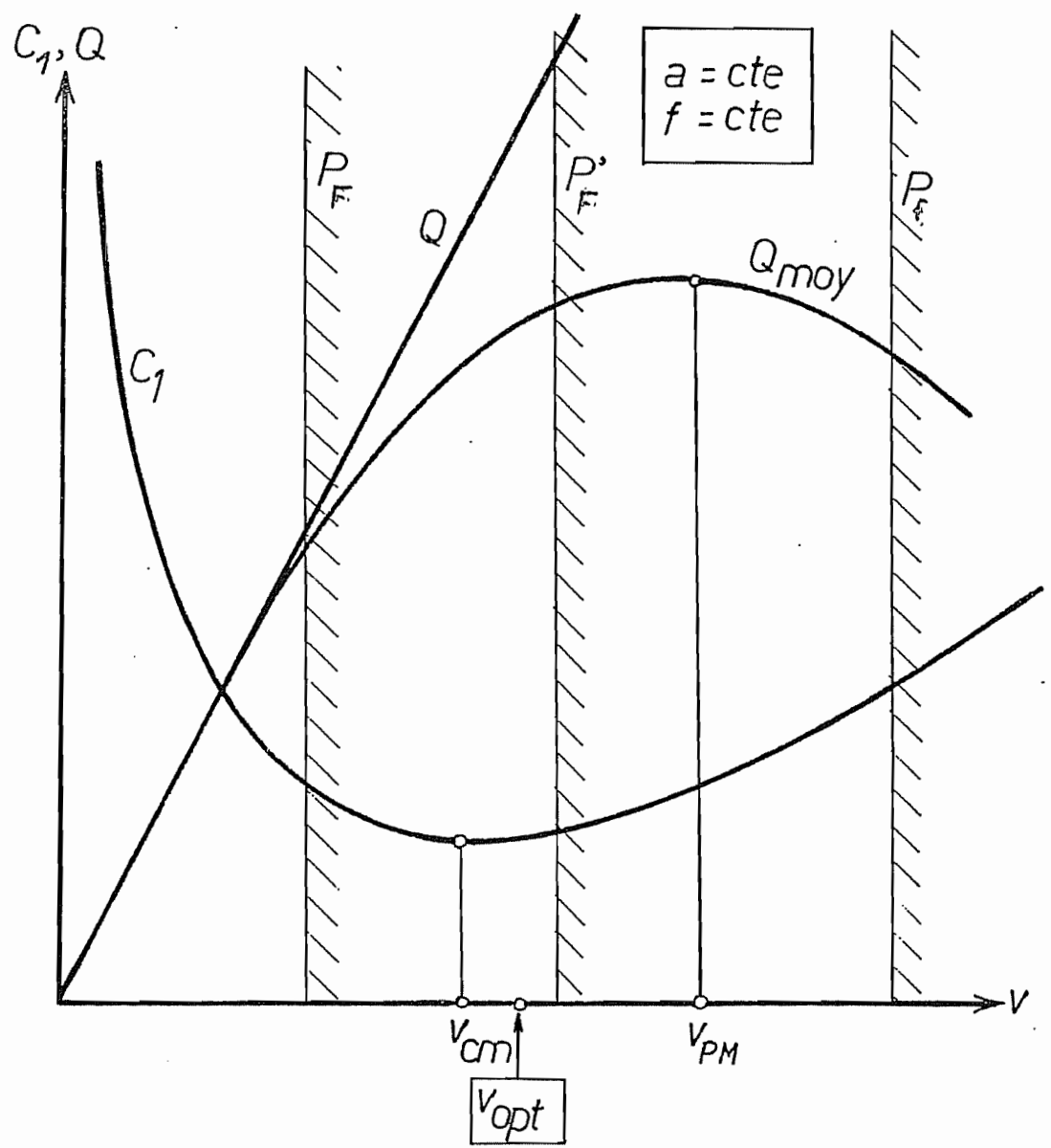


FIG. 6

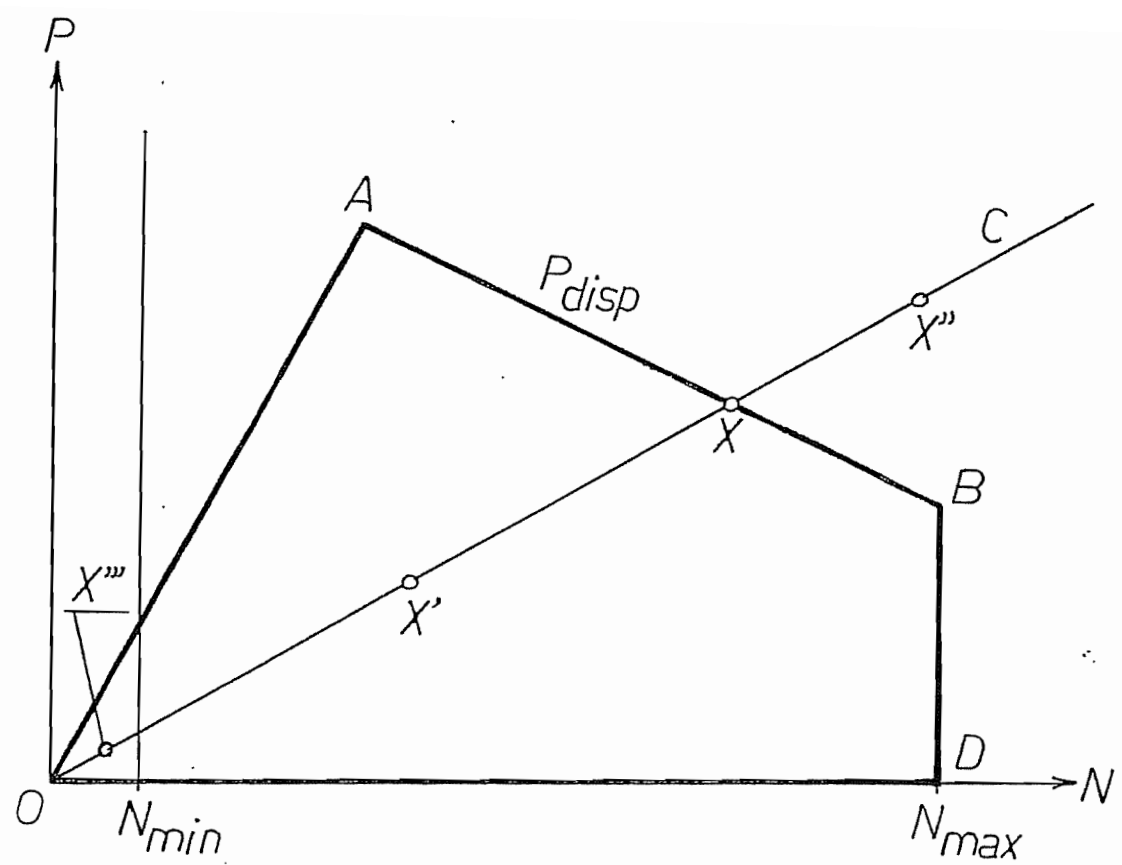


FIG. 7

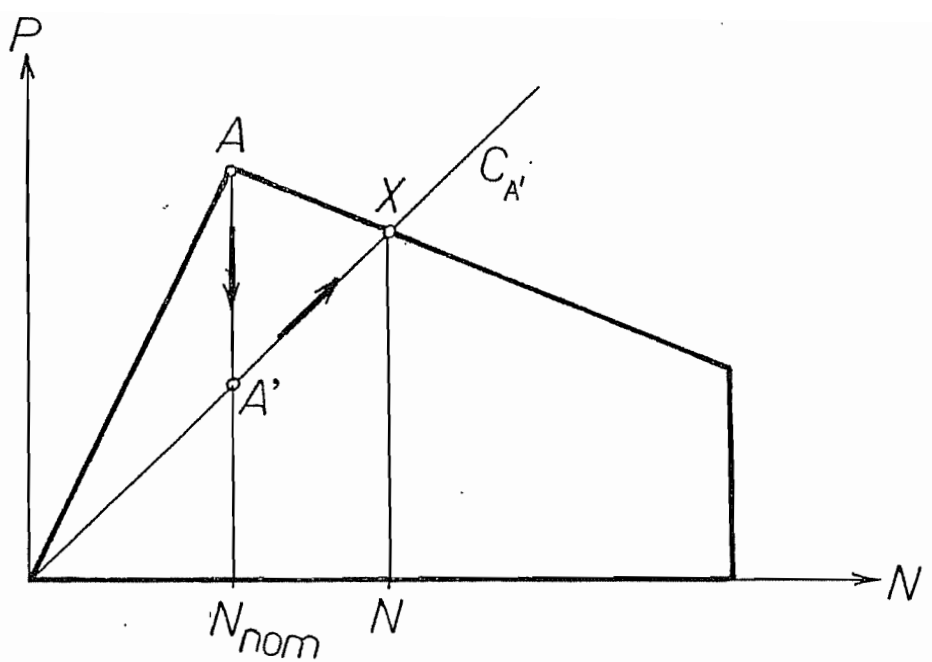


FIG. 8